



Ústav fotoniky  
a elektroniky

# OPTICKÉ SENZORY 2

# OBSAH

- **VLNOVODNÉ SENZORY**
- Senzory využívající evanescentní vlnu  
Refraktometrické + ATR
- Senzory reflexní
- Optické mřížky
- Senzory s povrchovými plazmony
- **MINIATURIZACE SENZORU**
- Tapery
- Nanočástice
- Mikrorezonátory
- **NOVÉ SMĚRY**
- Fotonické krystaly, zobrazovací senzory



# Evanescentní vlnovodné senzory

## Detekční místo v plášti vlnovodu

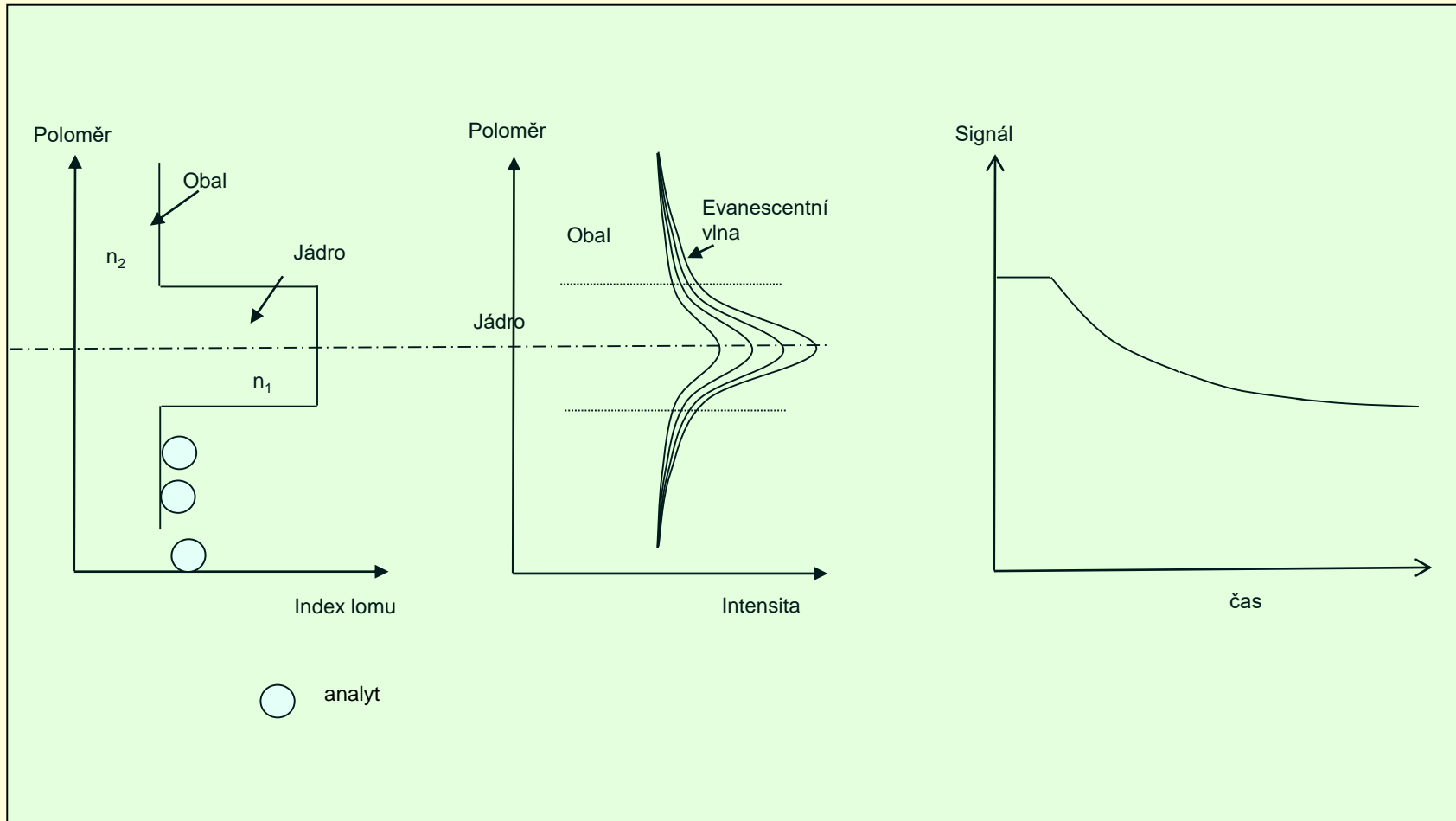
Využívají interakci detekovaných veličin s částí optického vidu - evanescentní vlnou, která prochází optickým pláštěm vlnovodu.

Detekovaná proměnná (tlak, teplota, chemická látka, buňka) mění **optické vlastnosti v optickém plášti** – absorpční koeficient, luminiscenci, index lomu - a tedy mění parametry evanescentní vlny procházející pláštěm (amplituda, fáze, polarizace). Tyto změny se přenáší do části optického vidu v jádře a jsou detekovány na konci vlnovodu.



# Princip evanescentního senzoru

## Detekční místo v plášti vlnovodu



# Evanescentní vlna - vlastnosti

1. Optický výkon v plášti standardních vláknových vlnovodů  $P_{\text{clad}}$  je malý  $\eta \sim 0.01$  z celkového výkonu ve vlnovodu  $P \rightarrow$  malá odezva na změny v plášti

$$P_{\text{clad}} = P\eta \approx P \frac{\sqrt{8}}{3} \frac{1}{V} = P \frac{\sqrt{8}}{3} \frac{\lambda}{\pi d \sqrt{n_1^2 - n_2^2}}$$

d-průměr jádra,  $n_1$  jeho index lomu,  $n_2$  – index lomu pláště,  $\lambda$  - vlnová délka

2. Evanescentní vlna proniká do vzdálenosti  $x=100-300$  nm od rozhraní jádro/plášt' v důsledku exponenciálního poklesu intenzity el. pole  $E$  se vzdáleností; analyt musí být v oblasti  $d_p$   
Pro hloubku průniku  $d_p$  platí

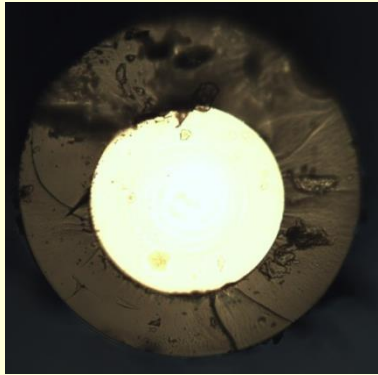
$$E \approx e^{-\frac{x}{d_p}} \quad d_p = \frac{\lambda}{2\pi \sqrt{n_1^2 \sin^2 \Psi - n_2^2}}$$

Vyšší vidy s  $\Psi \rightarrow \Psi_c$  mají  $d_p$  vyšší

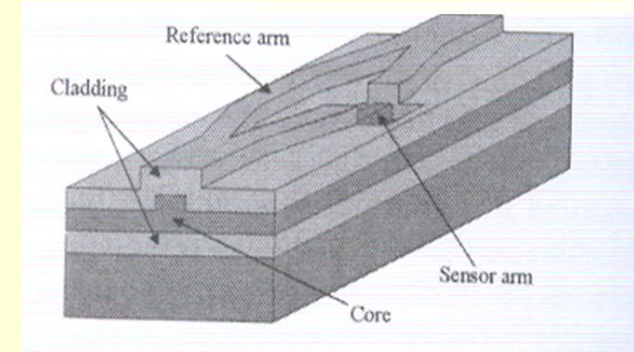


# Evanescenční vlnovodné senzory- realizace

1. Výchozí vlnovod - PCS vlákno, polymerní vlákno, SM vlákno, planární vlnovod
2. Zajištění přístupu do oblasti evanescenční vlny, tj. k rozhraní jádro/plášt' ⇒
  - odstranění pláště – jednoduše u PCS a polymerních vláken u ostatních nutno plášt' odbrousit.



Botnání  
Mech.  
odstranění



## Evanescenční senzory

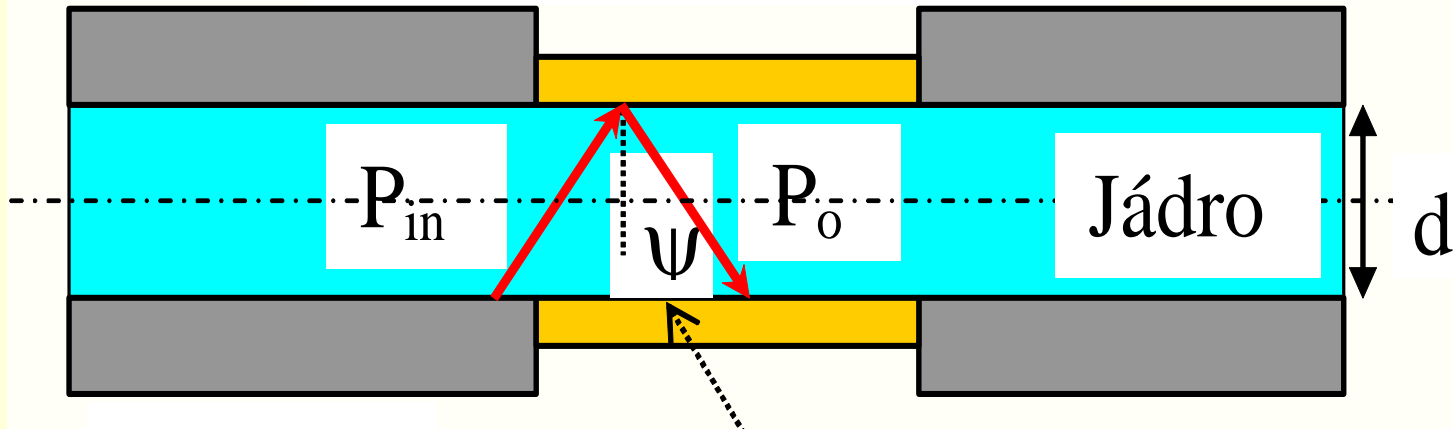
- refraktometrické – měří změny indexu lomu pláště
- ATR (tlumený úplný odraz) – měří změny absorpcního koeficientu



# Evanescenční vlnovodné senzory -

Změna absorpcního koeficientu  $\varepsilon$ , indexu lomu n pláště 2

Okolí s analyty  $n_{cl}, \varepsilon_{cl}$



Plášt' 1

Detekční místo –  
plášt' 2, délka L

Pro každý paprsek i:  $P_o(i) = P_{in}(i) R(n_{cl}, \varepsilon_{cl}, \psi)^N(i)$

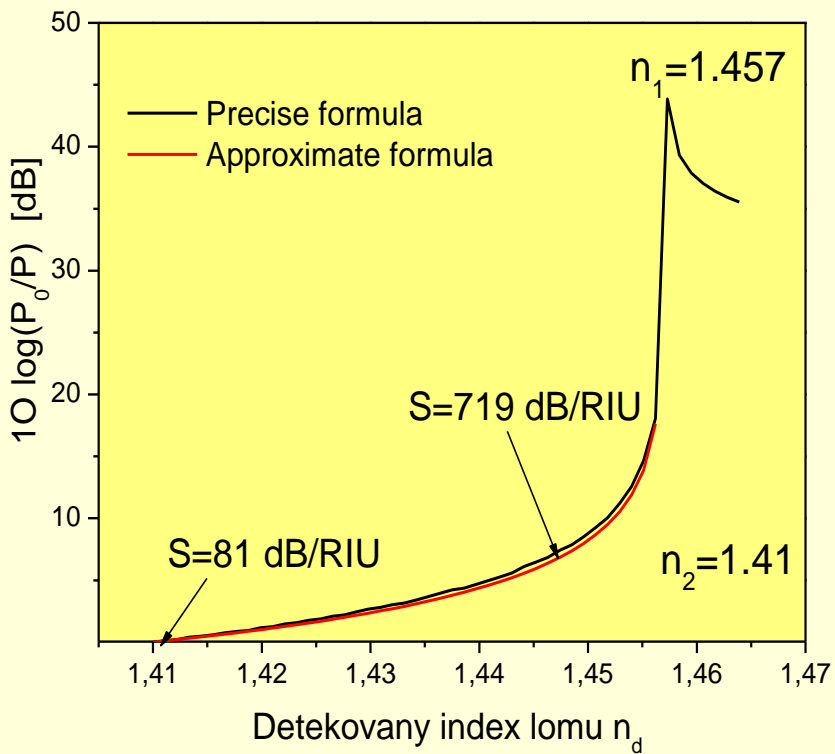
R-odrazivost,  $N \sim L/d$ -počet odrazů

# Senzory refraktometrické

Výkon  $P_i$  přenesený paprskem i závisí na odrazivosti  $R(n_d)$

$$P_i = P_{0i} R^{N_i} \quad \begin{array}{ll} R = 1 & \Psi \geq \Psi_c \\ R = 0 & \Psi < \Psi_c \end{array}$$

$$P \approx P_o \frac{n_1^2 - n_d^2}{n_1^2 - n_2^2} \quad n_1 \sin \Psi_c = n_d$$

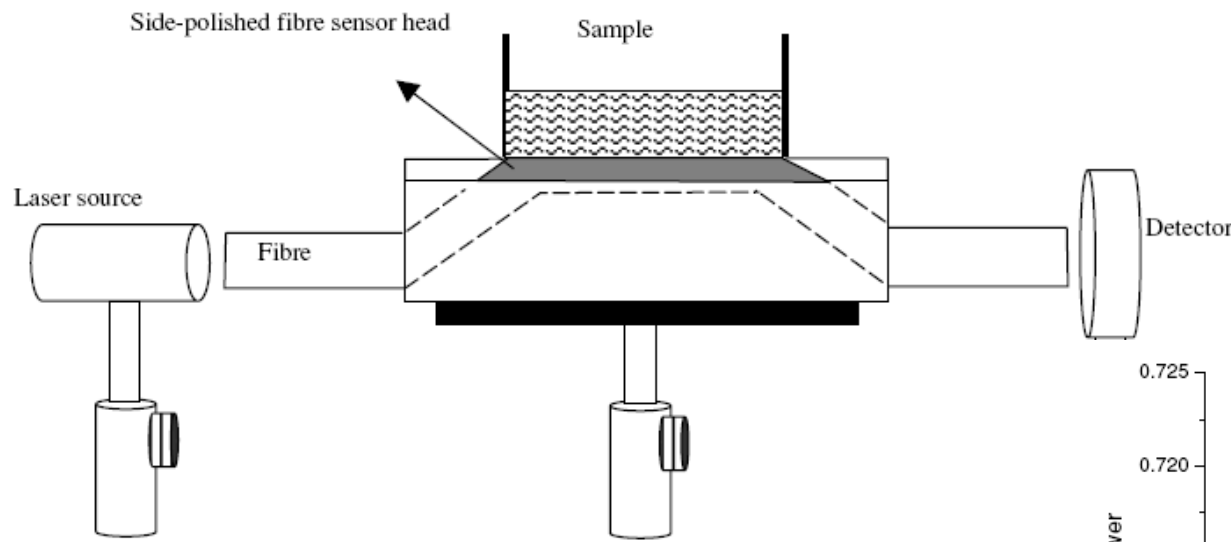


Citlivost refraktometrického senzoru je malá, pokud  $n_d \ll n_1$

Ve vodných roztocích je limit detekce  $\sim 10^{-2}$  RIU, což není dostačující pro biosenzory

Proto se pro zvýšení citlivosti detekce používá např. navázání optickými mřížkami, interferometrické zapojení nebo SPR struktury

# Senzory refraktometrické



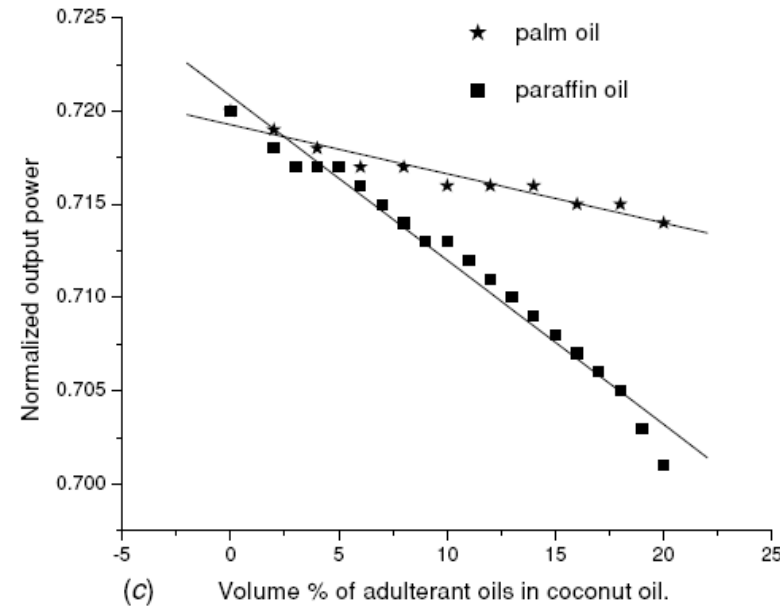
$$n_{\text{kok}} = 1.449;$$

$$n_{\text{palm}} \sim 1.47; n_{\text{paraf}} \sim 1.53$$

$$n_{\text{core}} \sim 1.49$$

$$P = P_0 \left[ 1 - \frac{n_{ad}^2 - n_{\text{kok}}^2}{n_{\text{core}}^2 - n_{\text{kok}}^2} x \right]$$

Červená LD  
Si detektor



Detekce nečistot (parafinový, palmový olej) v kokosovém oleji při 670 nm, odbroušené PMMA vlákno  $\Phi$  0.98 mm

M. Scheeba et al., Meas. Sci. Technol. 16, 2247-2250 (2005)

# Attenuated Total Reflection – ATR

## Tlumený úplný odraz tj. $R=R(\varepsilon_{cl})$

$$P_i = P_{0i} R^{N_i} \approx P_i = P_{0i} \exp(-\gamma_i L)$$

Pro jeden  
vedený paprsek

$$\gamma_i \approx \varepsilon_{cl} \frac{\lambda}{\pi d \sqrt{n_1^2 - n_2^2}} \frac{\left( \frac{\theta_i}{\theta_{ci}} \right)^2}{\sqrt{1 - \left( \frac{\theta_i}{\theta_{ci}} \right)^2}}$$

Pro všechny  
vedené paprsky

$$A = \log \left( \frac{P_0}{P} \right) = \frac{k\lambda}{\pi d \sqrt{n_1^2 - n_2^2}} \varepsilon L \approx \langle 0.001 - 0.01 \rangle \varepsilon L$$

$\theta = \pi/2 - \Psi$  – doplňkový úhel k úhlu odrazu  $\Psi$ ,  $k \sim 1$ ,  $\varepsilon$  - absorpční koeficient měřený v kyvetě,  $A$  -absorbance

Zvýšení odezvy( $\uparrow$ )= $\downarrow P_i = \uparrow L$  nebo  $\uparrow \gamma$



# Metody pro zvýšení odezvy evanescentních vlnovodných senzorů

- Použití převodníku s vysokým objemovým absorpčním (luminiscenčním) koeficientem  $\gamma \sim \epsilon_{cl}$  - ATR
- Zmenšení průměru jádra vlnovodu  $\gamma \sim 1/d$  - ATR
- Zvětšení vlnové délky detekce  $\gamma \sim \lambda$  – ATR
- Řízení úhlu dopadu na rozhraní jádro/plášt' tak, aby  $\theta \rightarrow \theta_c$ , tj. excitace vyšších vidů s  $\Psi \rightarrow \Psi_c$  a tedy s  $\beta \approx n_{cl}$
- Prodloužení vlnovodu L
- Index lomu jádra  $n_1 \rightarrow$  indexu lomu vzorku  $n_2$

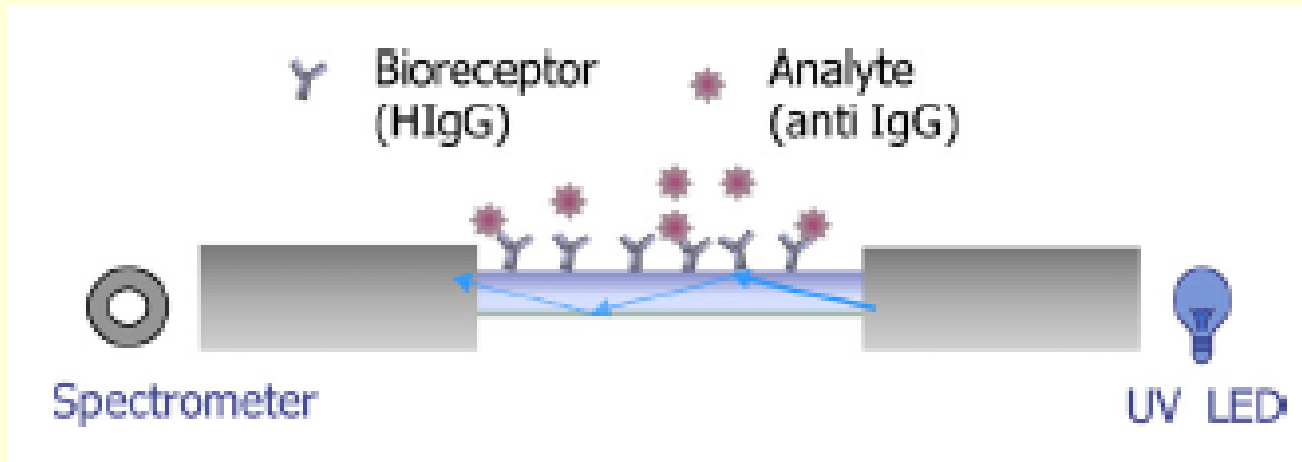


# Způsoby pro zvýšení citlivosti

$$\gamma \approx \epsilon_{cl}$$

- Použití opticko-chemického převodníku s vysokým objemovým absorpčním (luminiscenčním) koeficientem  $\epsilon_{cl}$  (používáno i u planárních vlnovodů)
- pH převodníky
- Ru komplexy pro detekci kyslíku
- enzymatické převodníky pro detekci glukosy, močoviny
- imunopřevodníky

# Imunopřevodník na PCS vlákně absorpční stanovení-změna $\varepsilon_{bulk}$ v UV



$$A \approx \frac{\sqrt{8}}{3} \frac{\lambda}{\pi d NA} \varepsilon_{bulk} c L = 0,001 \varepsilon_{bulk} c L$$

$\varepsilon_{bulk}$  – absorpční koef. c – koncentrace, L – délka detekční části

Zdroj UV LED 280 nm – detekce změn absorbance-elektronického spektra proteinů (H IgG, anti IgG) v UV oblasti při 280 nm.

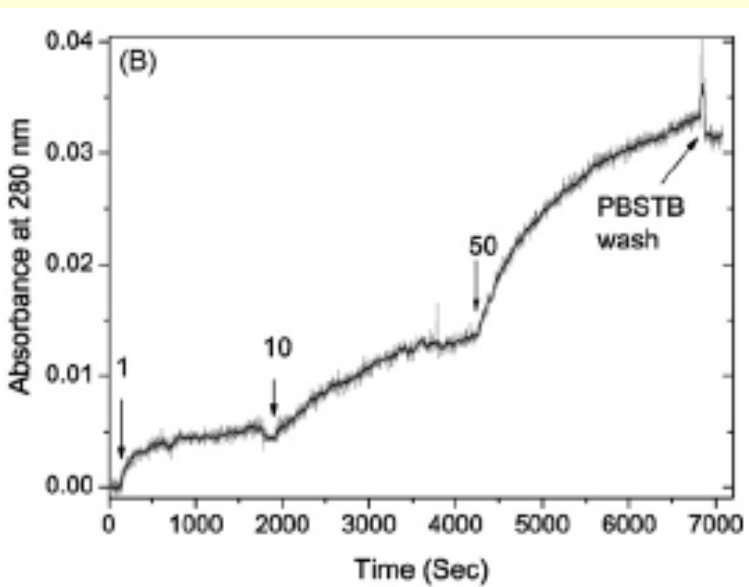
PCS vlákno, NA=0,37, d=200 μm, L~5 cm

Viz: V.V.R. Sai et al., Sens. Actuators B143 (2010) 724-730

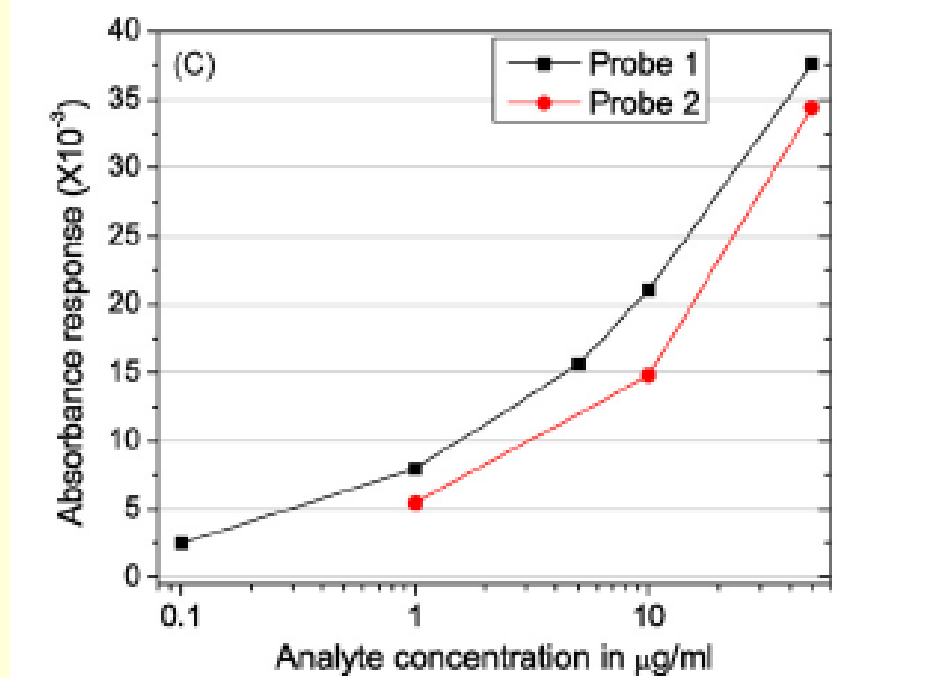
# Imunopřevodník na PCS vlákně

- A. Hydrolysa a dehydratace-tvorba OH skupin na povrchu vlákna – 2h
- B. Aminosilanizace (5 min)
- C. Reakce s glutaraldehydem (30 min)
- D. Inkubace HIgG v pufru (PBS) na vlákně (12 h)

*Časová odezva k anti IgG 280 nm*



Kalibrační křivky při 280 nm

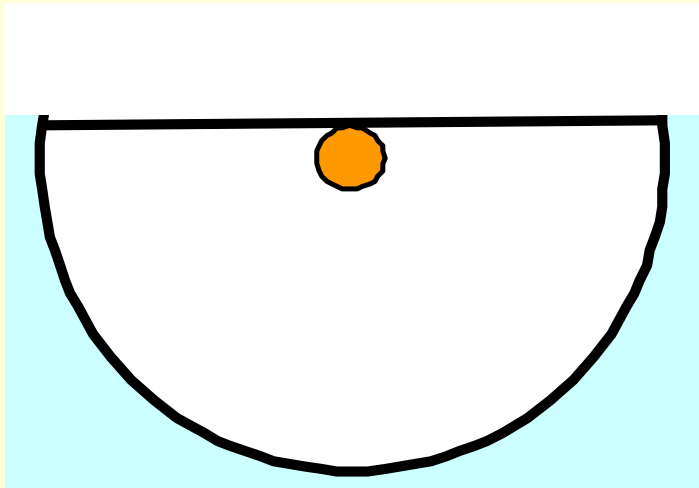


$\text{LD} \approx 0,1 \mu\text{g}/\text{ml}$

$$\gamma \approx \frac{1}{d}$$

# Zmenšení průměru jádra vlnovodu

D-vlákna, UK



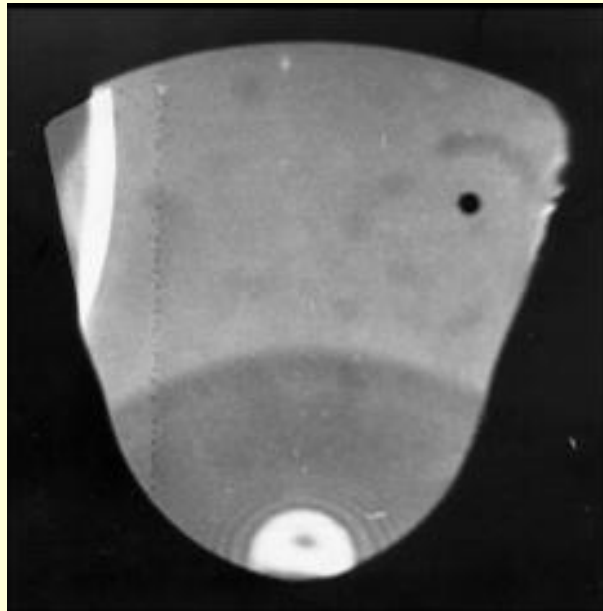
Odbroušení preformy do D tvaru  
a tažení SM vlákna

Průměry jader 10-30  $\mu\text{m}$ , dobré mech. vlastnosti, opt. mřížky,  
senzory povrchových plazmonů

G. Stewart, W. Jin, B. Culshaw, Sens. Act. B 38, 42-47, 1997 – D -vlákno

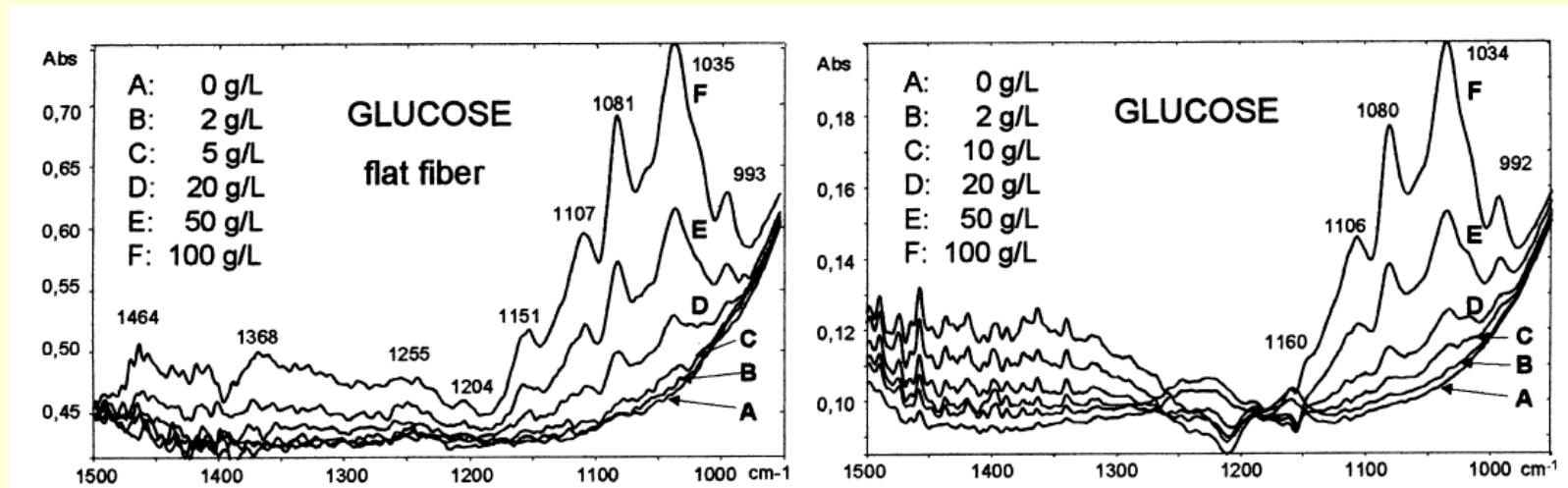
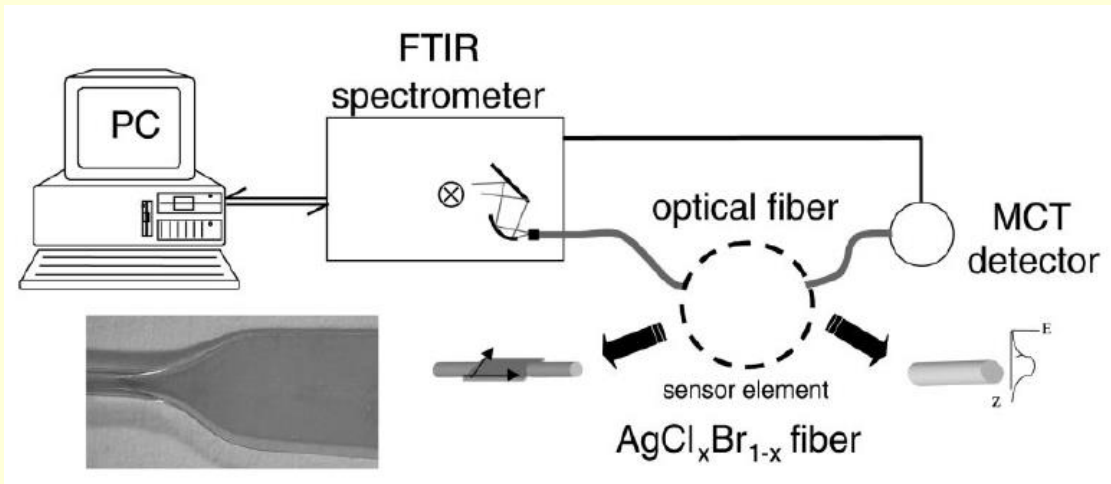
V. Matejec et al., Sens. Actuators B 38-39 (1997) 334-338 – s- vlákno

Sektorová vlákna, UFE



Tažení z preformy obroušené  
do sektorového tvaru

# Přímý ATR IR senzor na D-vláknu



AgCl<sub>x</sub>Br<sub>1-x</sub> D-vlákno, zploštělé stlačením kruhového vlákna ze 700 na 150 µm - **4x větší ATR odezva** pro ploché vlákno

U. Bindig et al., Sens. Actuators B 74 (2001) 37-46

# Nastavení úhlu odrazu na rozhraní jádro/plášt'

$$\gamma \approx \frac{1}{\sqrt{1 - \left(\frac{\theta}{\theta_c}\right)^2}}$$

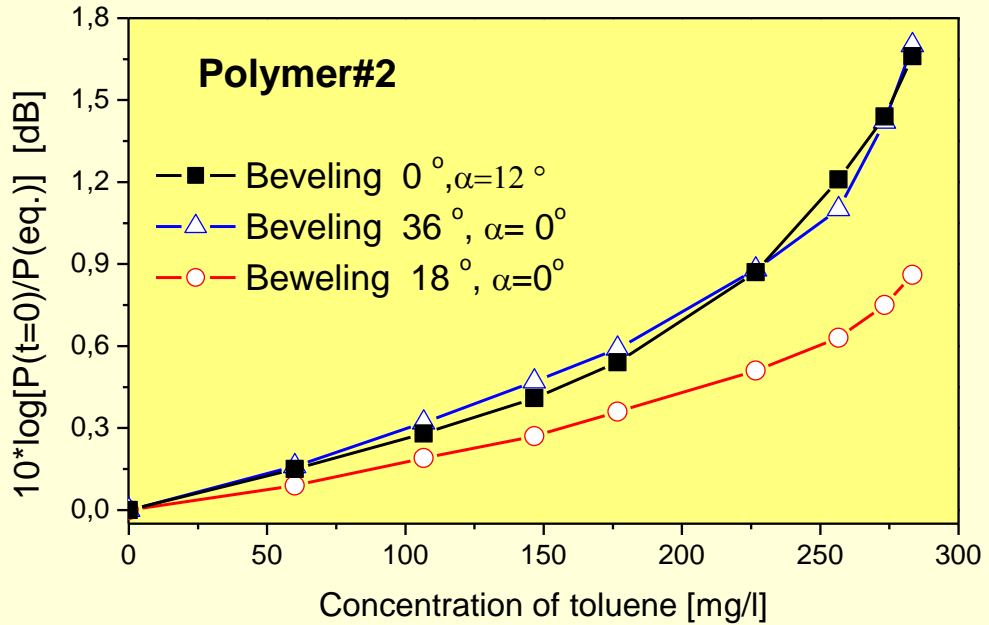
- Excitace PCS vláken odkloněným kolimovaným svazkem – vlákna se šikmým koncem (beveled)
- Ohnutá PCS vlákna (U vlákna)



# PCS vlákno – odezva k toluenu rozpuštěnému ve vodě

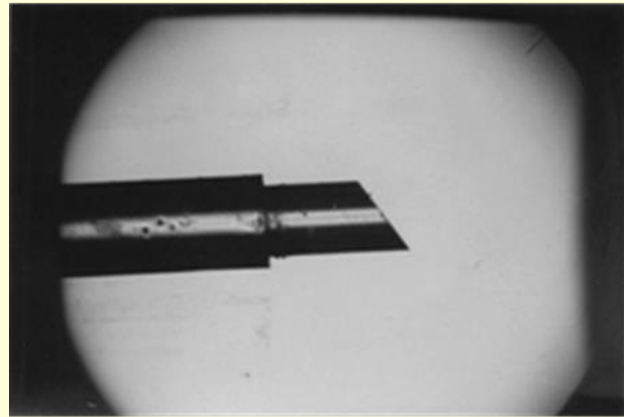
Šikmé vlákno

BEVELED FIBER- calibration curves



Zdroj: červený laser

Detektor: Si fotodioda



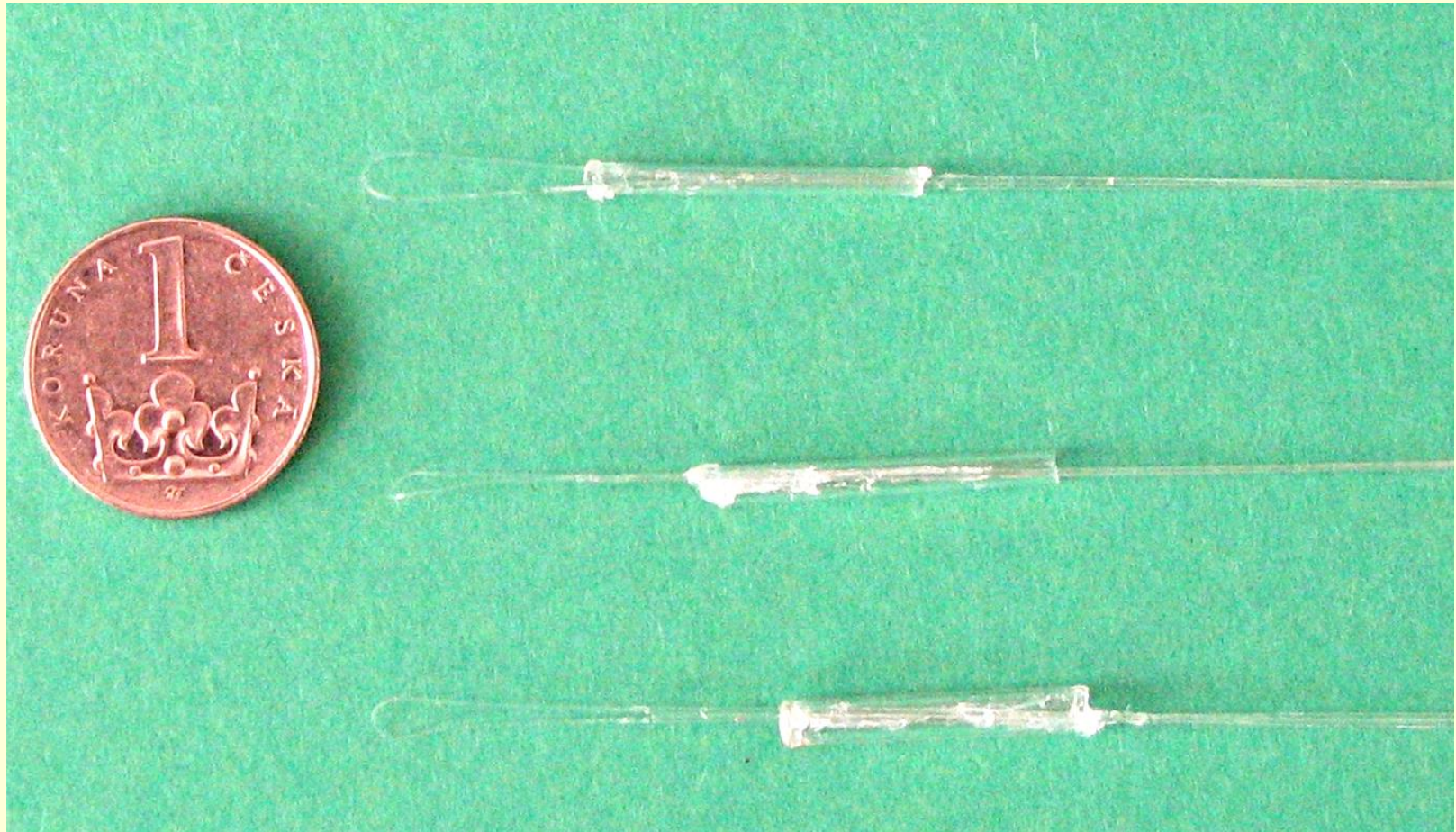
Detekční membrána z  
UV tvrditelného silikonu  
 $n=1.423$ ,  $L= 5\text{cm}$   
 $LD \sim 15 \text{ mg/l}$

Vlákno s rovným koncem osvíceno šikmě  $\approx$  vlákno s šikmým  
koncem 36 °

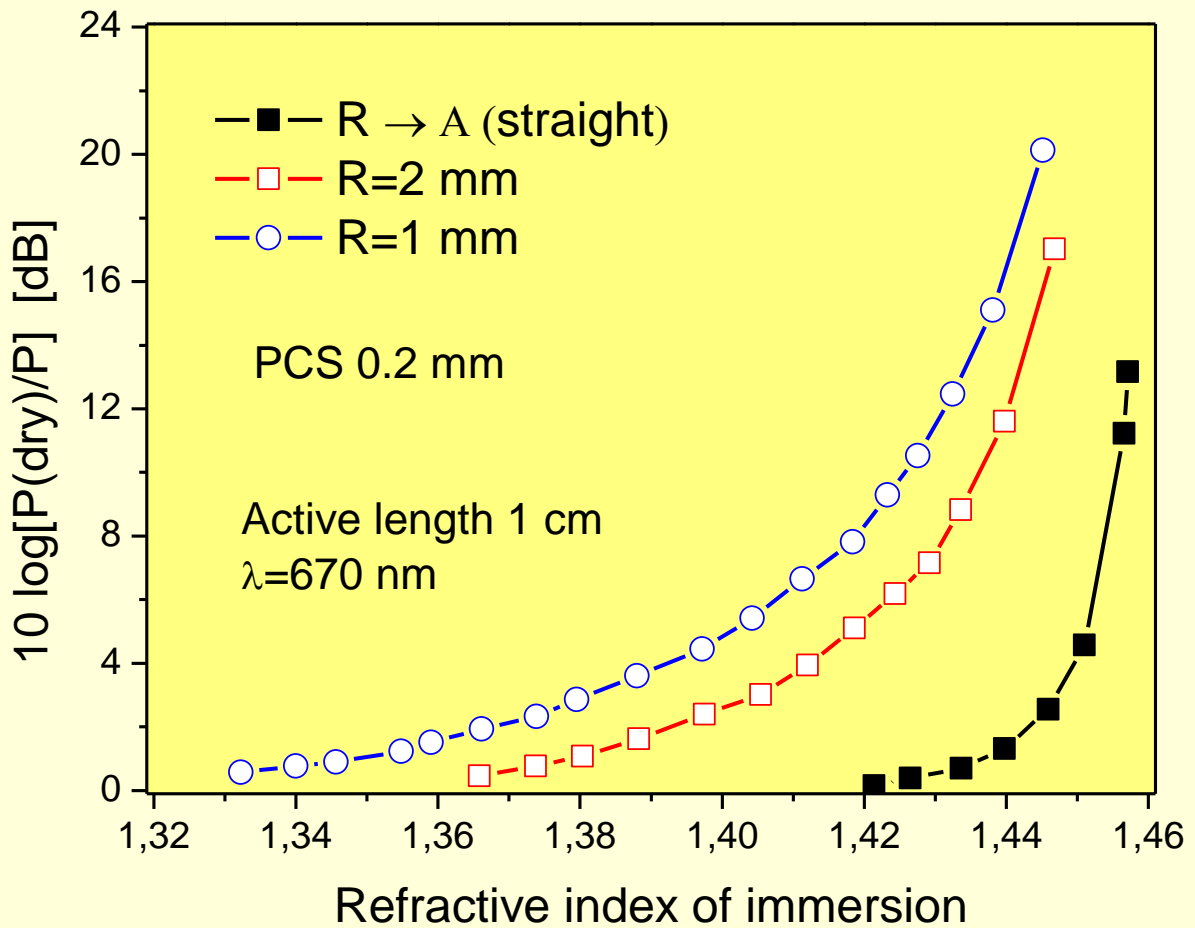
V. Matějec et al., Mat. Sci. Eng. C21, 217-221 (2002)

# Ohnutá vlákna (U-vlákna)

## Zmenšení úhlu odrazu na rozhraní



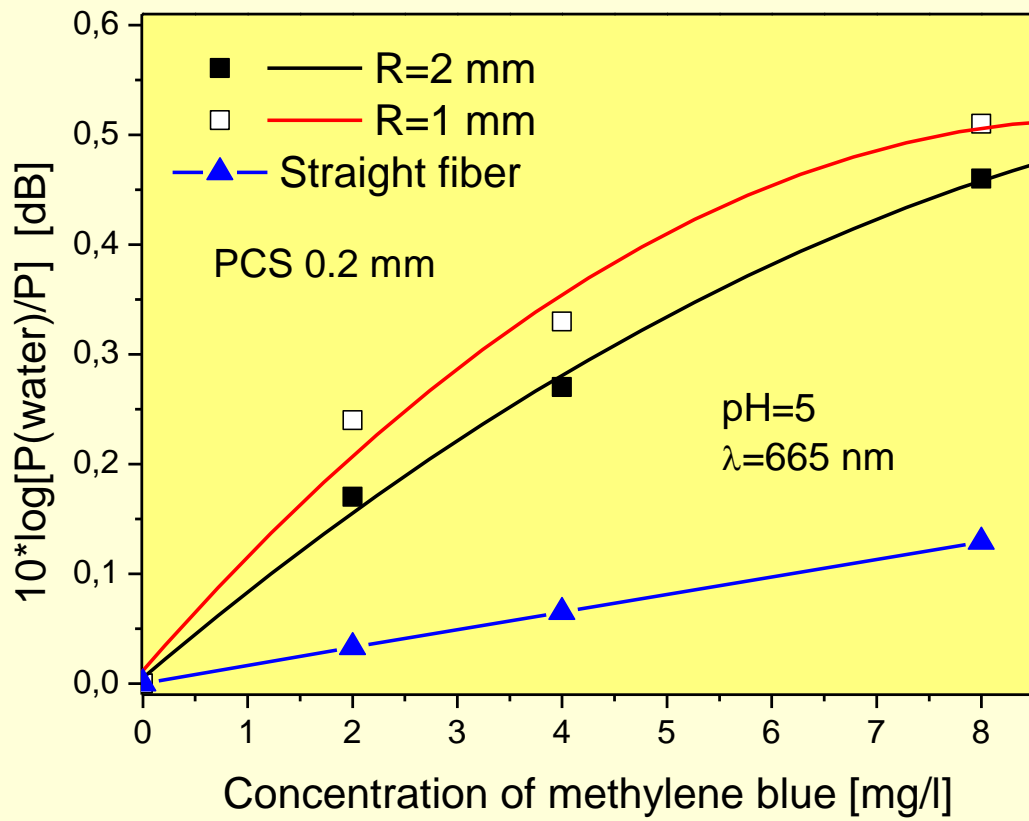
# Citlivost ke změnám indexu lomu pláště refraktometrické senzory



Zdroj: červená LED  
Detektor: Si fotodioda

**R=1 mm, LD ~ 0,001 RIU ve vodných roztocích**

# Citlivost ke změnám absorpčního koeficientu pláště - ATR

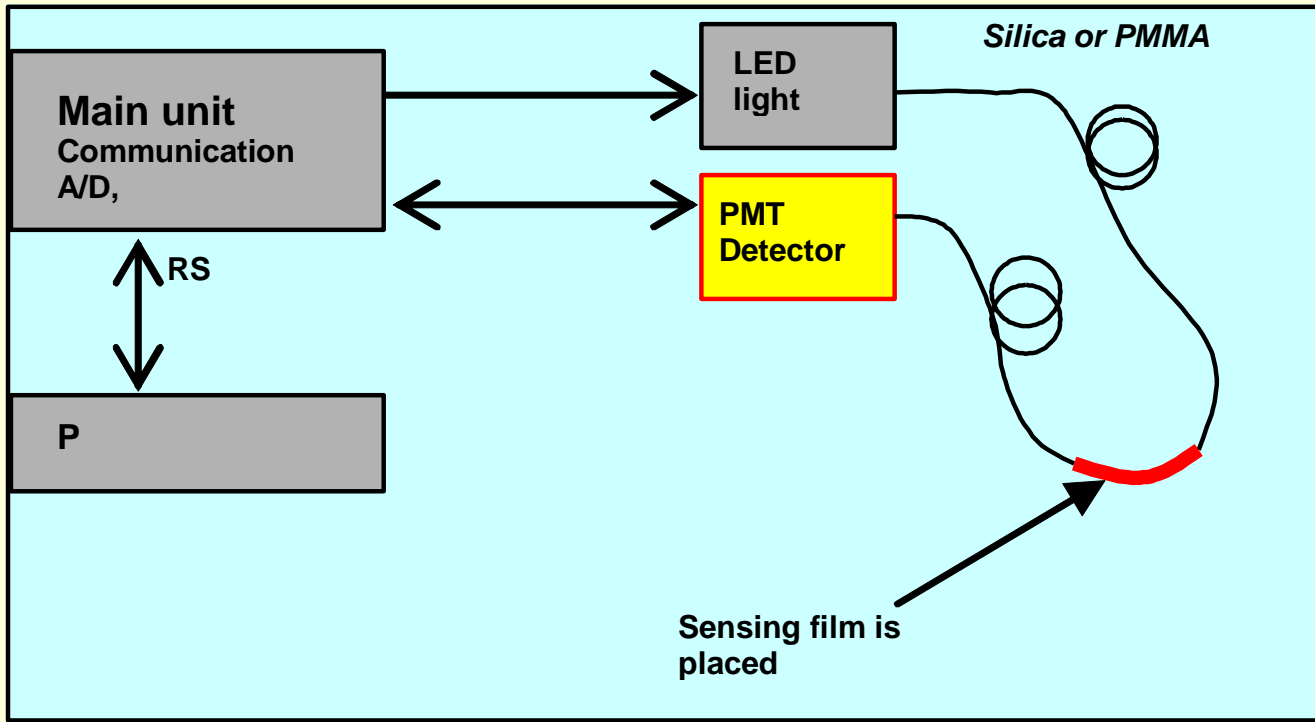


Zdroj: halogenová lampa  
Detektor: spektrometr

Vodný roztok metylenové modři: LD~0,1 mg/l pro R=1 mm

V. Matejec et al., Sens. Lett. 7, 900-904 (2009)

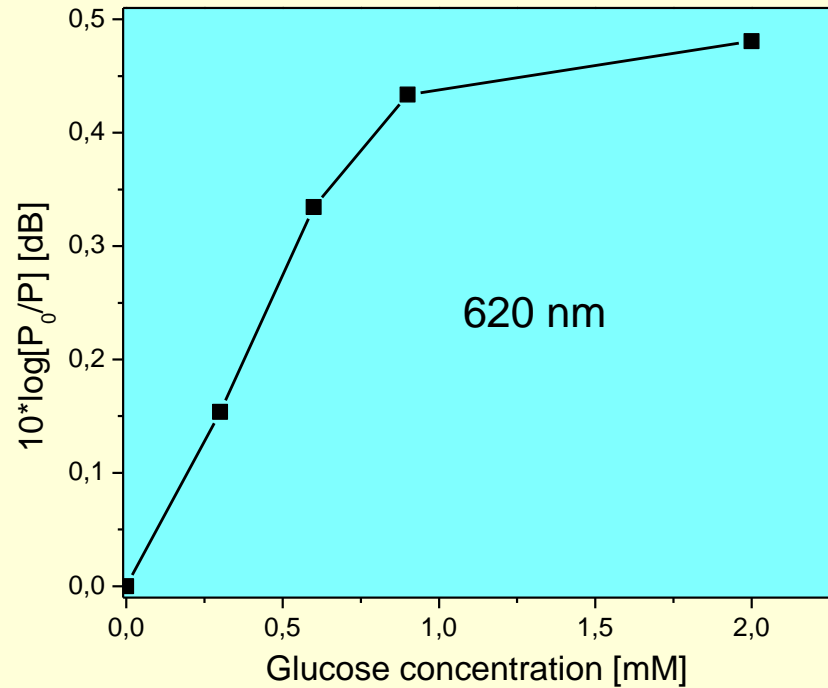
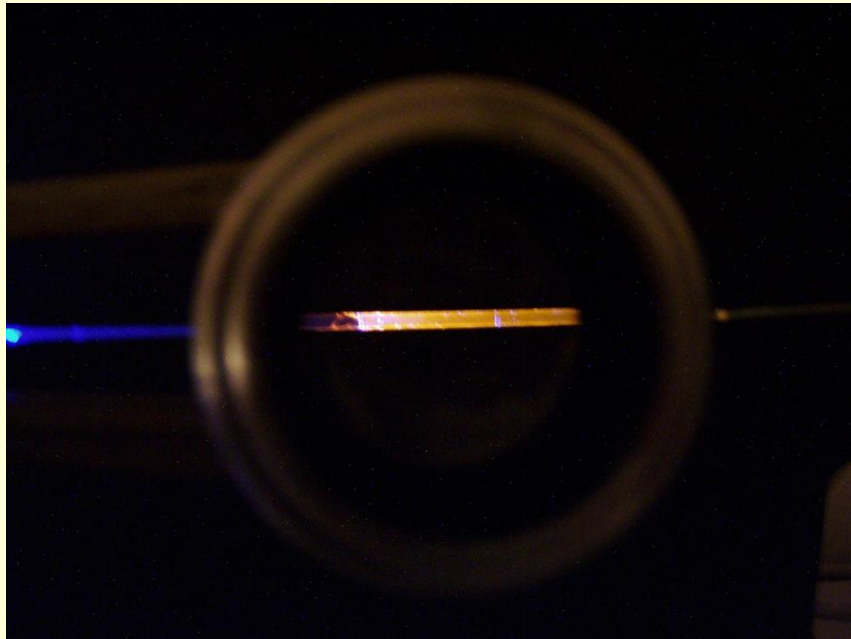
# Vlastní senzor kyslíku a glukozy



Ohnuté polymerní vlákno (1 mm), detekční membrána ze spec. polymeru **ORMOCER®** ( $n \sim 1.5$ ) s Ru komplexem a glukosaoxidazou. Detekce je založena na monitorování spotřeby kyslíku v enzymatickém rozkladu glukosy pomocí zhášení luminescence Ru komplexu. Ta se naváže do evanescentních vln.

# Senzor kyslíku a glukozy

## Plastové vlákno pokryté glukozaoxidasou a Ru komplexem



**Excitace 470 nm modrá LED**  
**Luminiscence 620 nm**

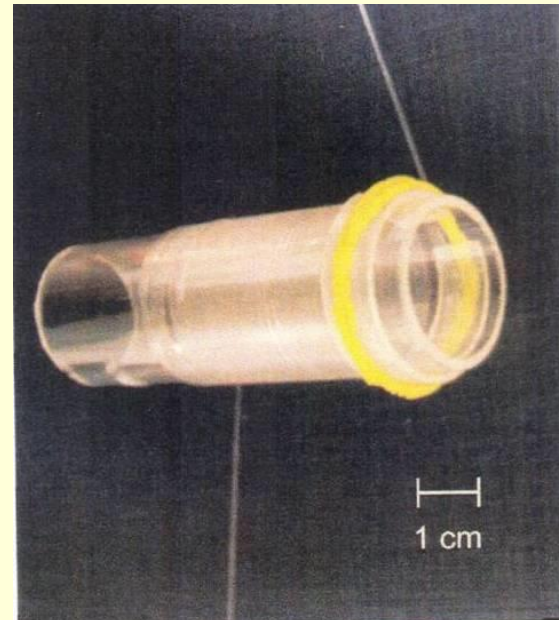
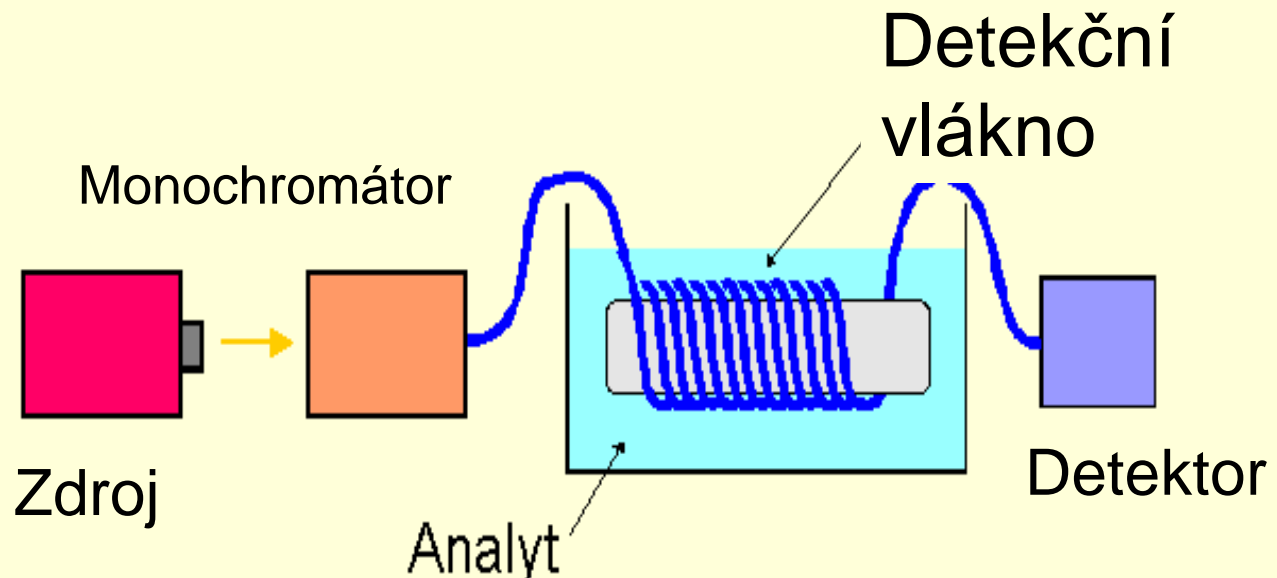
**Detekční rozsah**  
**0,2-1 mM**



# Způsoby pro zvýšení citlivosti

- Zvýšení délky vlnovodu L – navinutím (vlákno)

Rovněž vliv ohybu vlákna



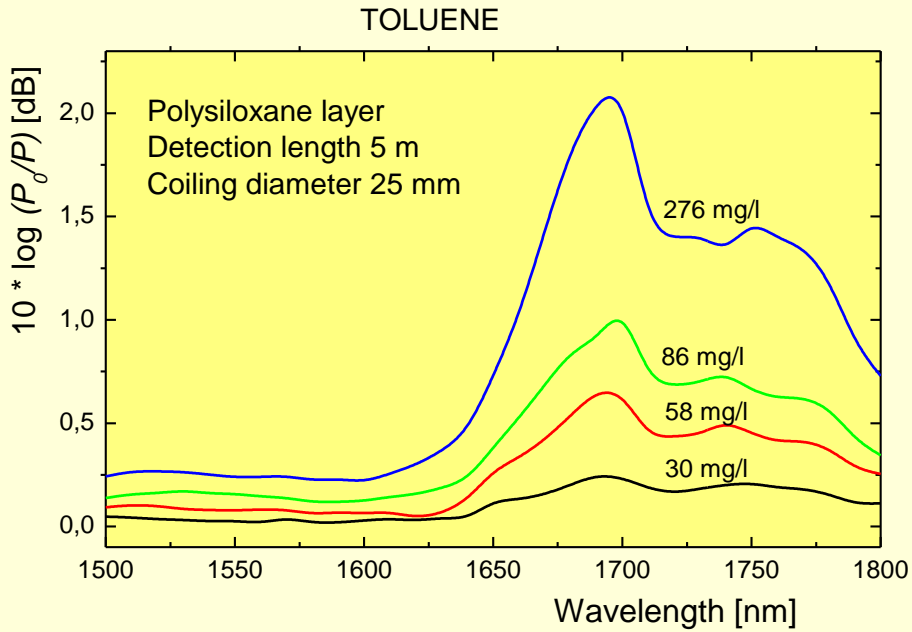
Zdroj: halogenová lampa

Detektor: chlazená Ge fotodioda

10 m PCS vlákna

# Navinuté a rovné PCS vlákno

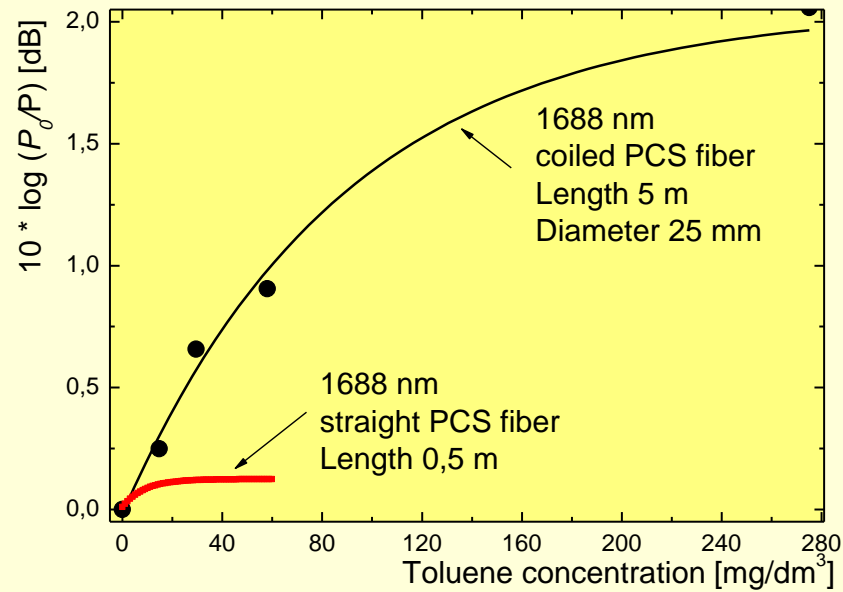
## ATR detekce toluenu ve vodě



Membrána- nepolární  
dimethylsiloxanový polymer

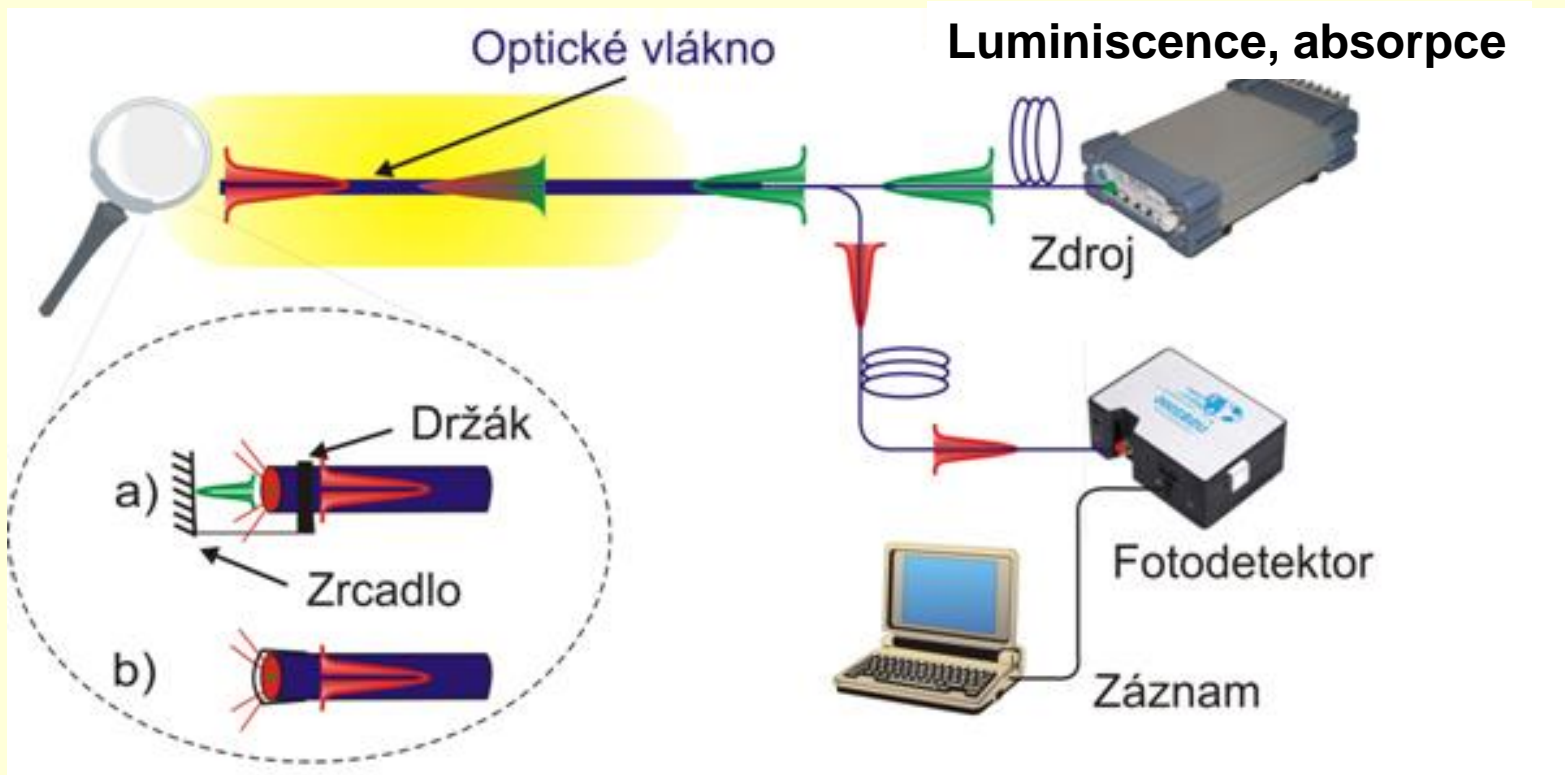
$\text{LD} \sim 4 \text{ mg/l pro } L=5 \text{ m}$

Abs. pás C-H vibrací  
1650 – 1850 nm



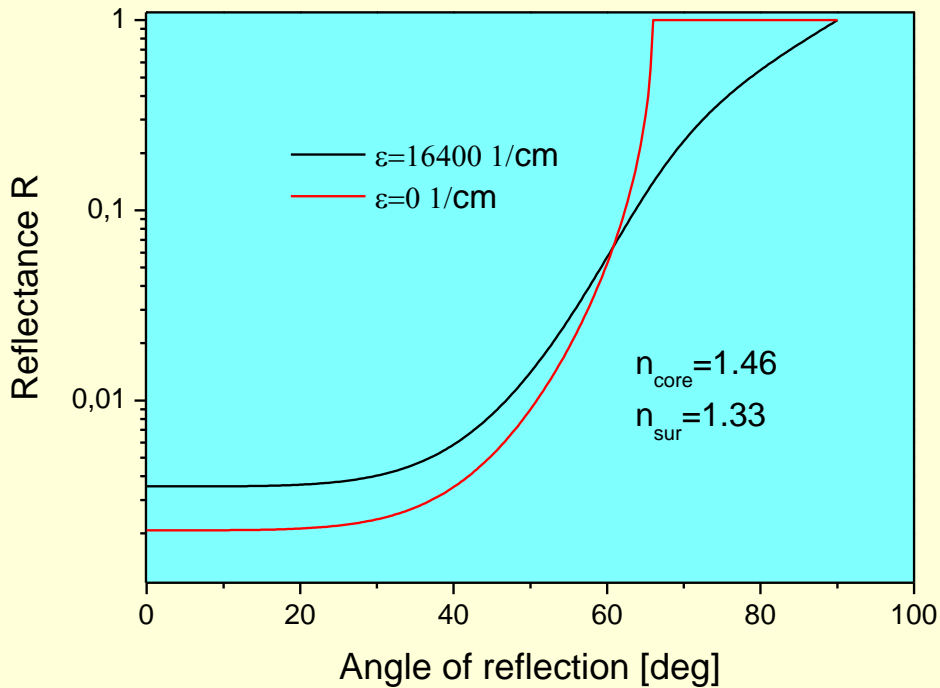
# Reflexní optický senzor

## Detekční místo na konci vlnovodu-vlákna



# Reflexní senzor - omezení

Nízká odrazivost ( %) – potřebné zesílit zrcadly nebo zbroušením konce vlákna (změna úhlu dopadu)



Kolmý dopad  $\Psi = 0 \text{ deg}$

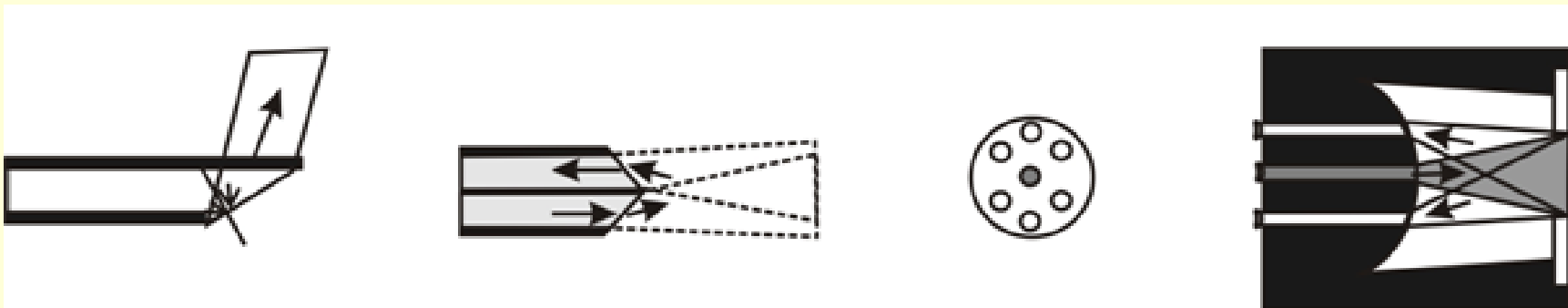
$$R = \left( \frac{n_1 - n_2}{n_1 + n_2} \right)^2$$

Pro konec  
křemenného vlákna  
ve vodě a kolmý  
odraz  $R=0.002$

# Reflexní senzor zvýšení odezvy

Nízká odrazivost pro malé úhly reflexe – použití vláken se šikmým koncem a zrcadel na konci vlákna

Malá plocha odrazu = nízká intenzita odraženého záření-  
použití svazku vláken místo jednoho

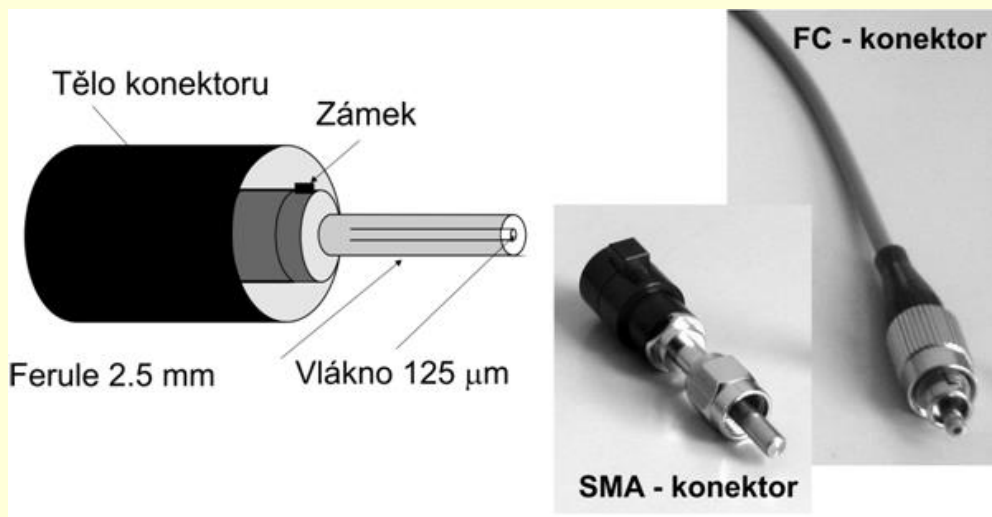
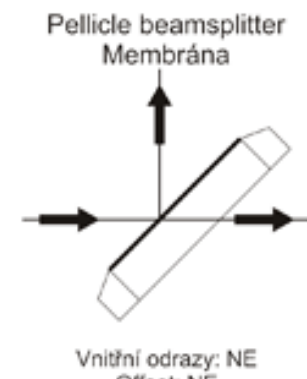
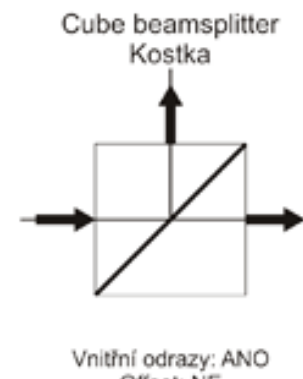
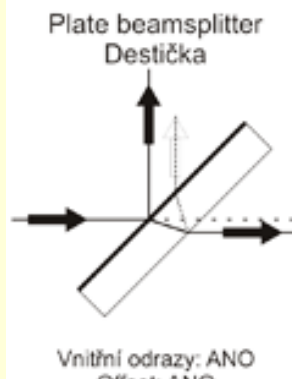
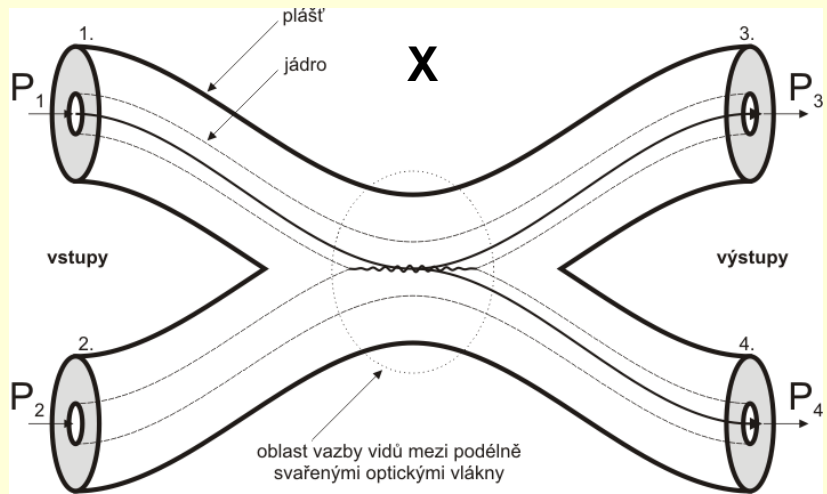


Viz: U. Utziger et al., „Fiber-optic probes for biomedical optical spectroscopy“, J. Biomedical Optics 8(1) (2003) 121–147



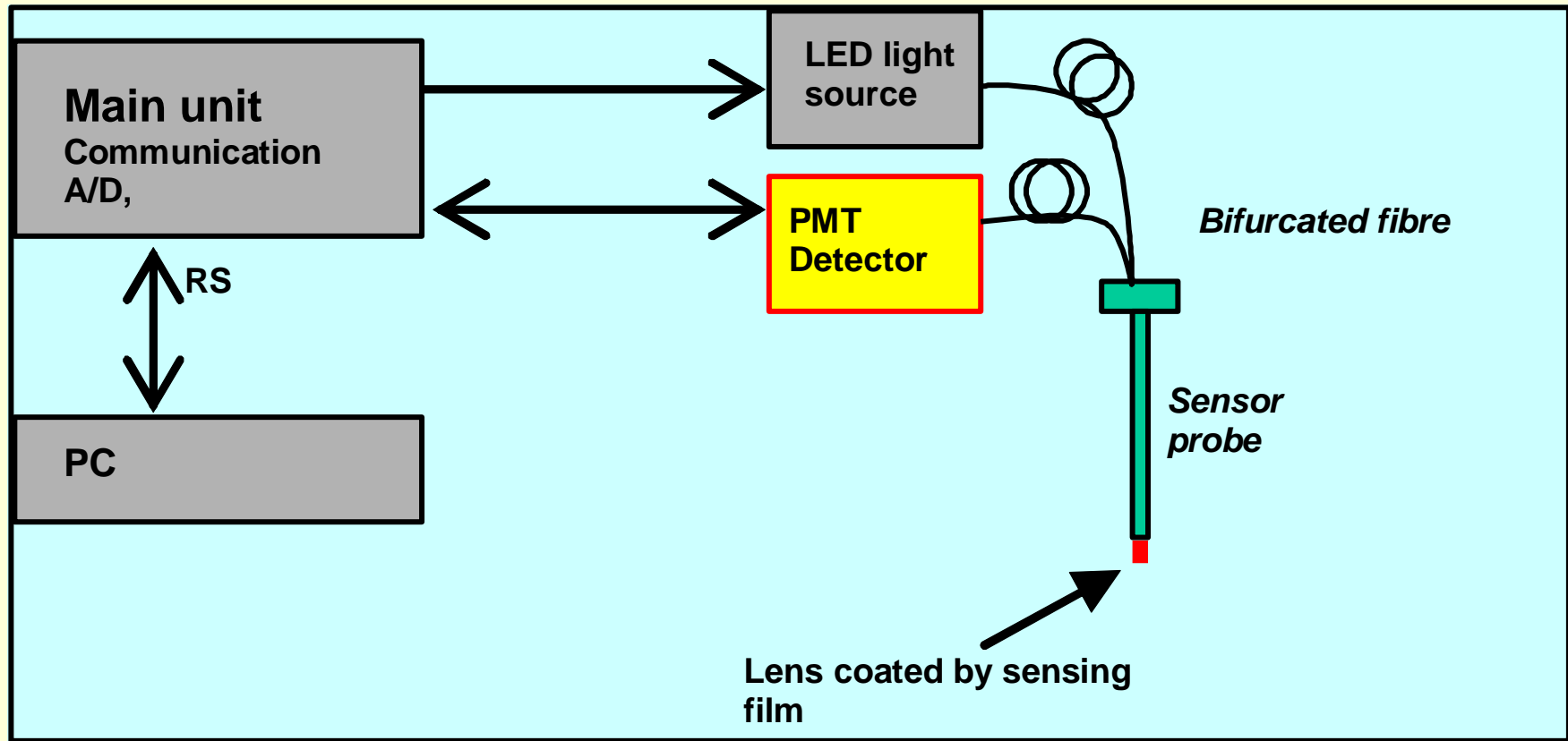
# Reflexní senzor - instrumentace

## Vláknové děliče (X, Y), děliče svazků, konektory



Komerčně dostupné

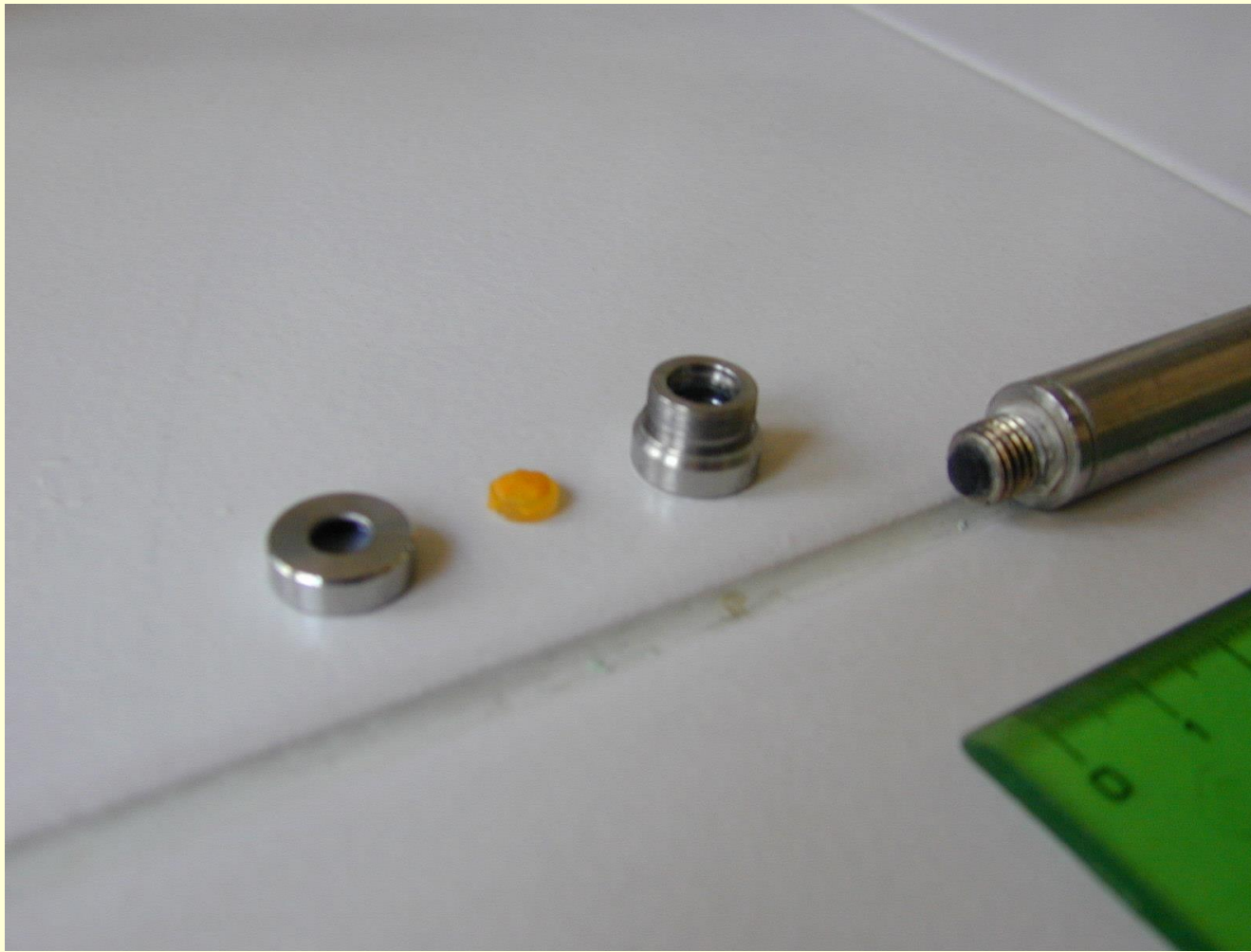
# Reflexní fluorescenční senzor kyslíku a glukozy



Kyslík – zhášení fluorescence Ru komplexu (470 nm excitace, 620 nm emise)

Glukoza – detekce kyslíku v enzymatické reakci

# Senzorová hlava a detekční místo

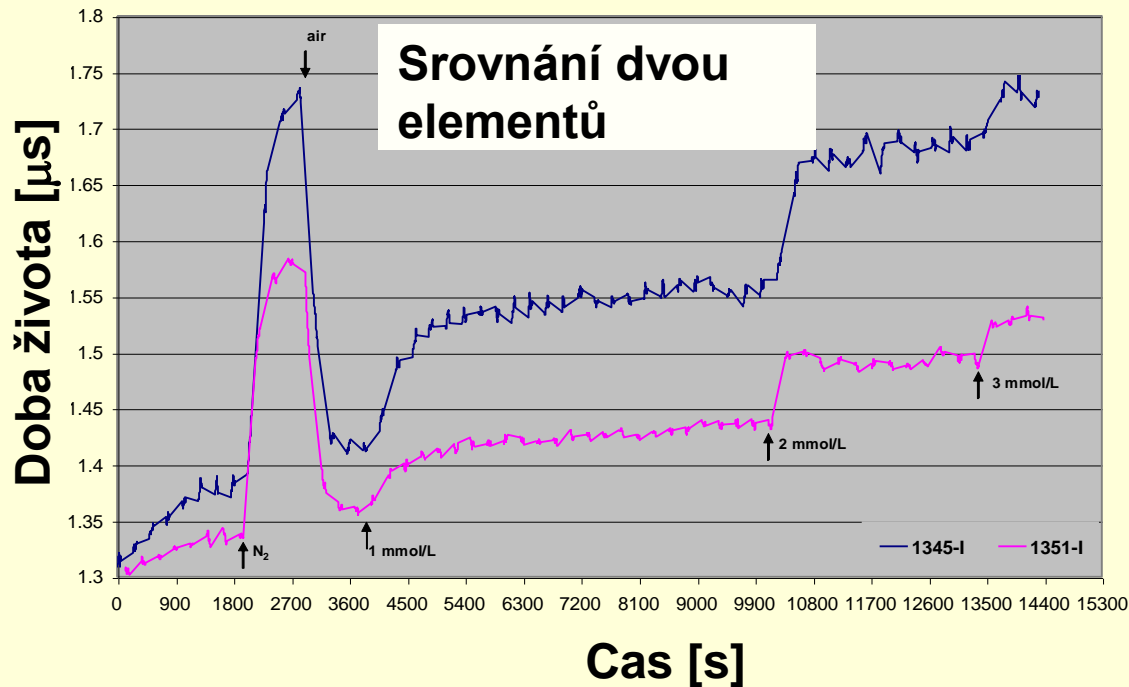


Měření doby života fluorescence Ru komplexu zhášené O<sub>2</sub>

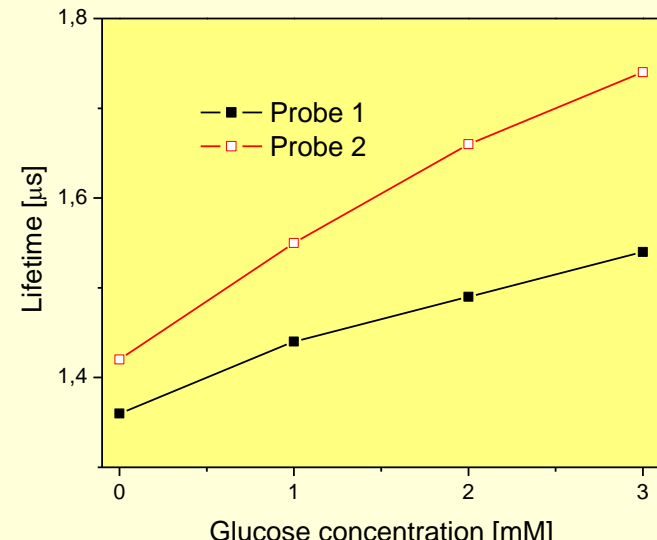
# Časová odezva ke kyslíku a glukoze

## Dvě detekční membrány

### Časová odezva



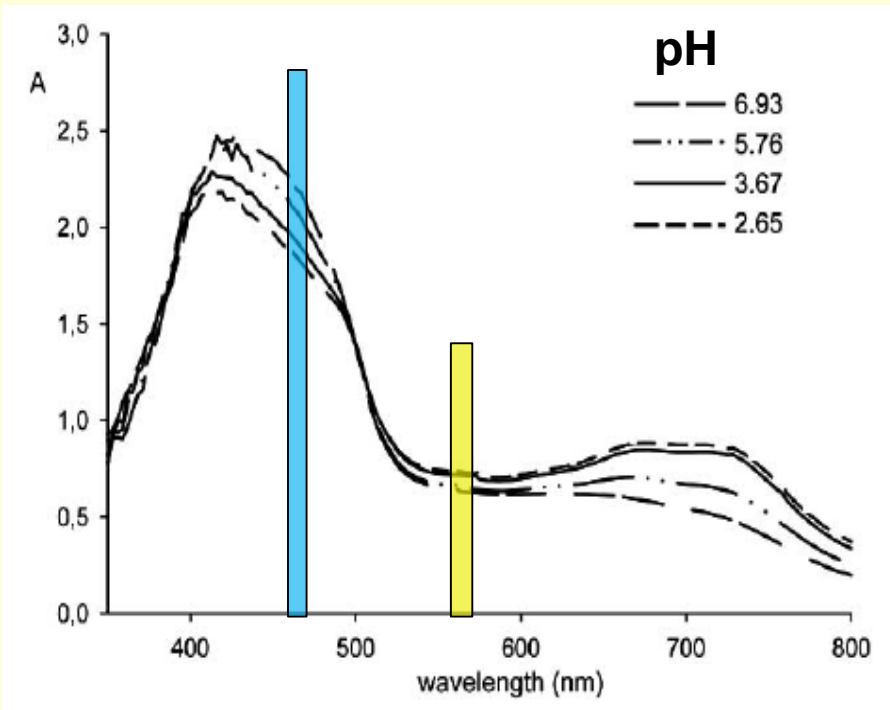
### Kalibrace



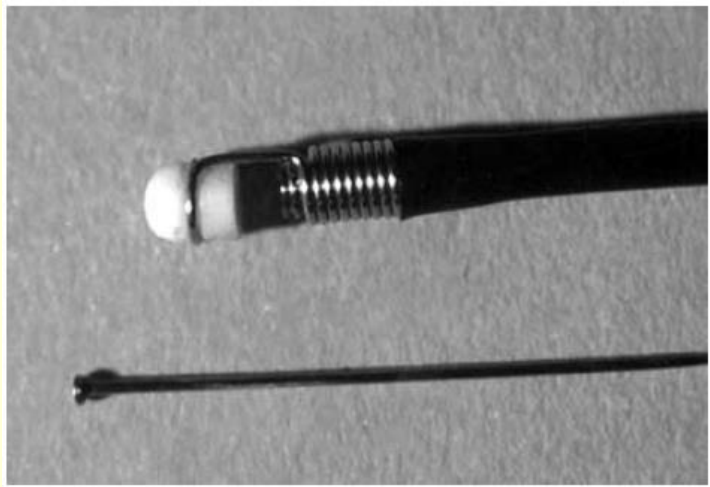
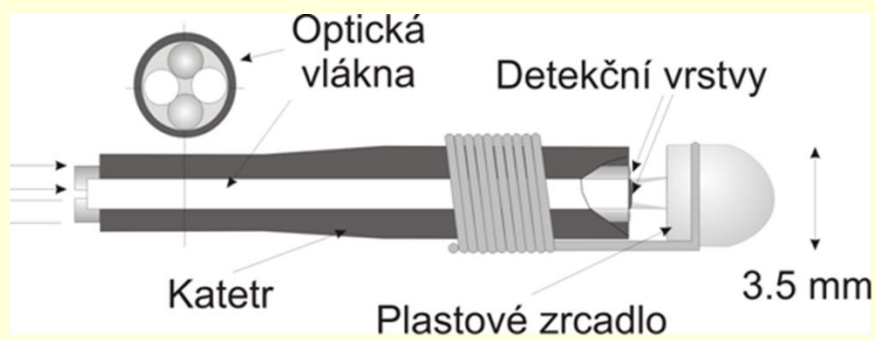
Měření doby života luminiscence Ru komplexu z časové změny intenzity luminiscence

# Reflexní senzor bilirubinu v žaludku

## Spektrální odezva



## Kalibrace



Poměr absorbancí A – 470 (měření) a 565 nm (reference)

# Senzor pro detekci bilirubinu v žaludku

Dvě LED (470 nm a 565 nm)

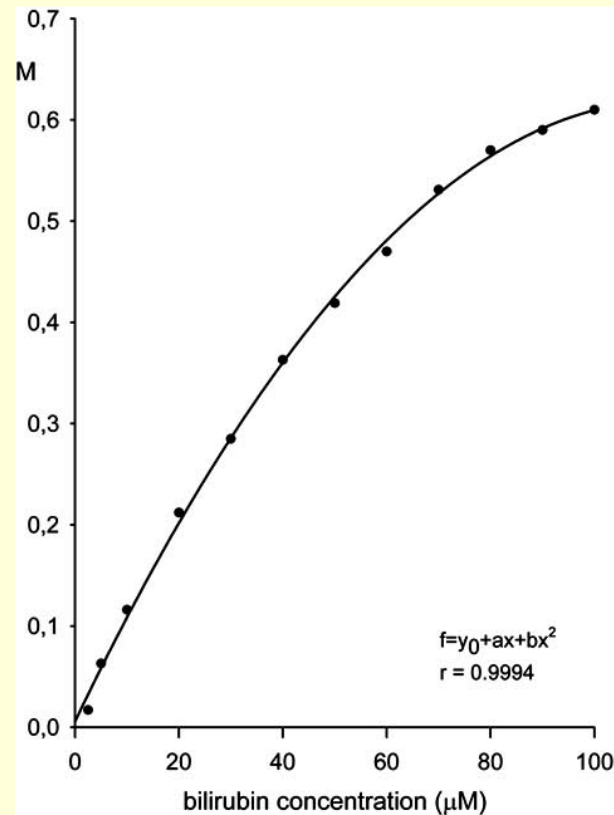
Si fotodetektor

Poměrové měření

$$M = \log \left[ \frac{\int I_{470nm} d\lambda}{\int I_{565nm} d\lambda} \right] - \log \left[ \frac{\int I_{565nm} d\lambda}{\int I_{470nm} d\lambda} \right]$$

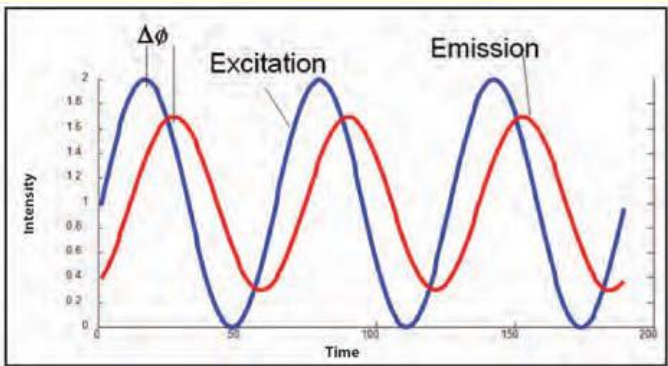
$I_0$  – signal ve vodě

$LD < 1\mu M$



Viz: F. Baldini et al., *Current Analytical Chemistry*, 2008, 4, 378-390  
( i pro detekci oxidu uhličitého v žaludku)

# Senzor kyslíku pro farmacii



**Modulace fáze výstupního signálu z fluorescenčního senzoru kyslíku**

**Ru komplex na špičce senzoru**

[www.oceanoptics.com](http://www.oceanoptics.com)



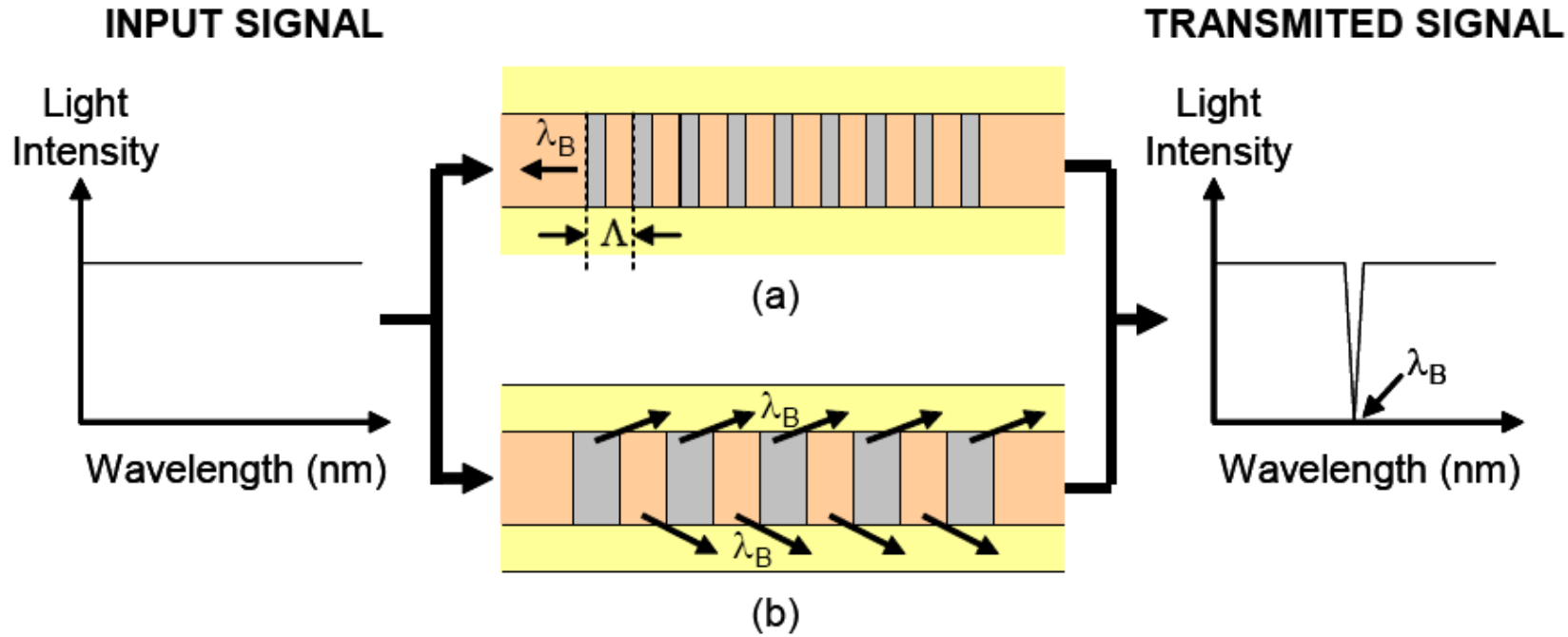
**Sensor –zdroj, sonda,detektor**



**Detekce kyslíku a pH i u rostlin**

# Optické mřížky

periodické změny indexu lomu v jádře vlákna



(a) Braggovské mřížky (FBG)  $\lambda_B = 2n_{\text{eff}}\Lambda_B$  ( $\Lambda_B \ll \lambda$ )

(b) Mřížky s dlouhou periodou – „Long Period Gratings (LPG)“  
 $\lambda_{\text{LPG}} = (n_{\text{co}} - n_{\text{cl}}^m)\Lambda_{\text{LPG}}$  (**perioda stovky μm**)

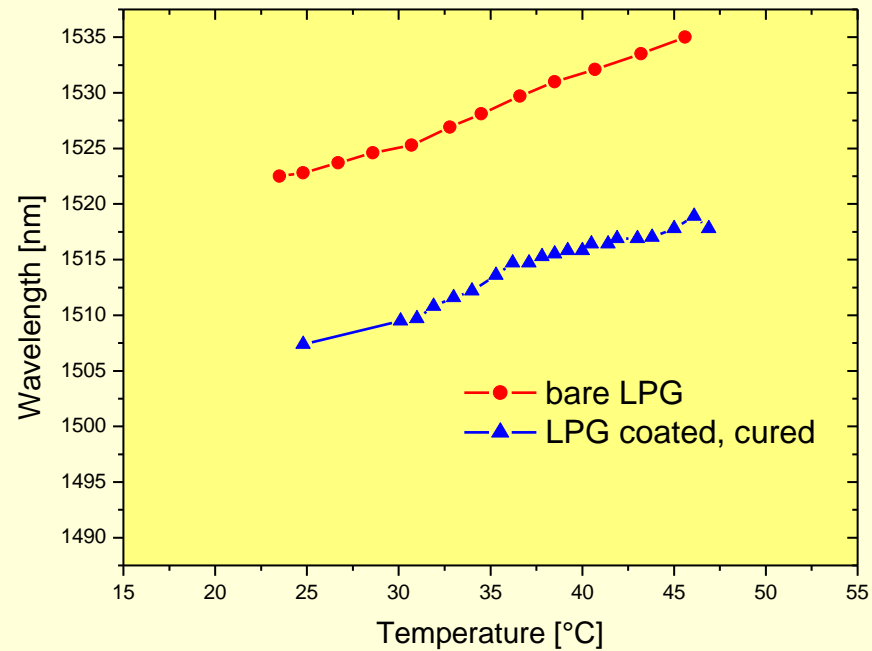
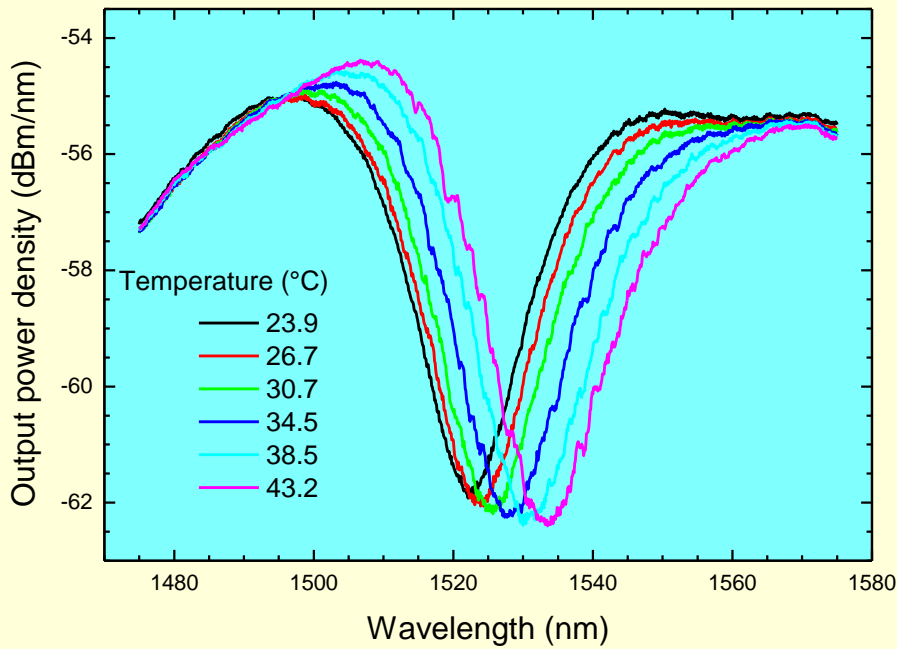


# Mřížky

- FBGs - zapsané UV lasery do vlnovodů sycených vodíkem přes masku  
**Interference vidů šířících se jádrem**  
Citlivé k detekovaným veličinám působícím na jádro - teplota, napětí, deformace
- LPGs zapisované CO<sub>2</sub> laserem přejíždějícím vlákno  
**Interakce vidů šířících se v jádře s plášťovými vidy**  
Citlivé i k veličinám působícím na obal i jádro - teplota, napětí, deformace, chemické látky

K.O. Hill, Gerald Meltz, J. Lightwave Technol. 15, 1263-1276, 1997  
J. Canning, J. Sensors 2009, Article ID 871580, 17 stran - vlákna  
I. J. G. Sparrow, J. Sensors 2009, Article ID 607647, 12 stran - planární

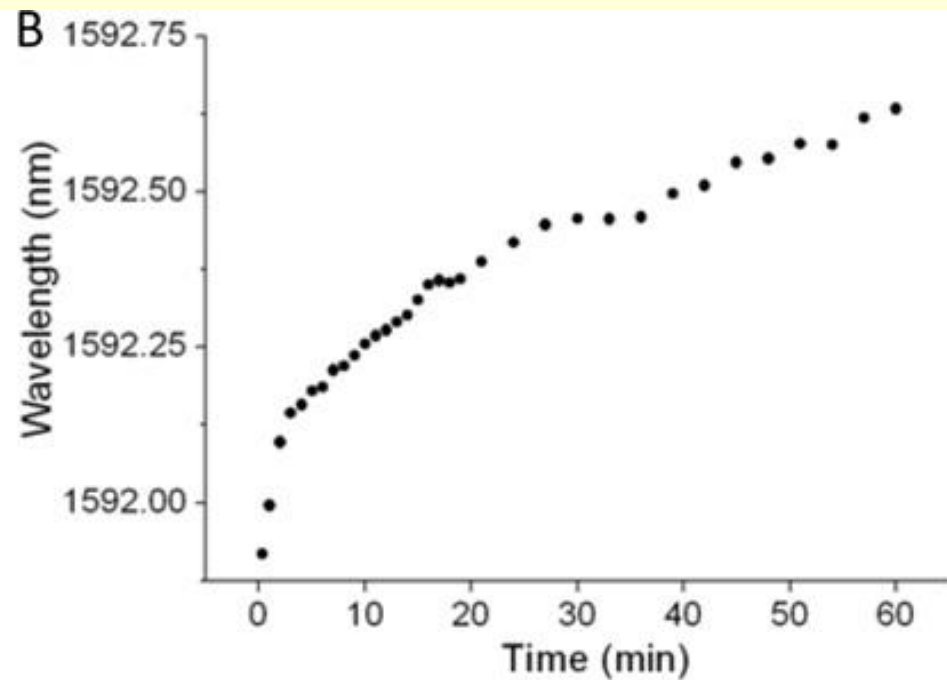
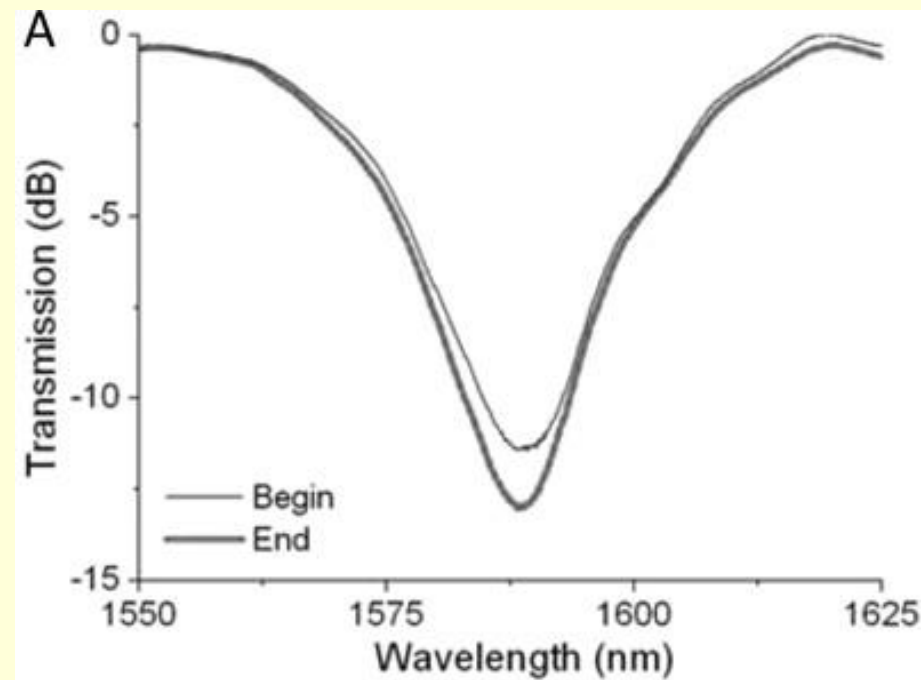
# Citlivost LPGs k teplotě a vnějšímu indexu lomu



**UFE: SM vlákno,  $\Lambda_B=500 \mu\text{m}$ ; silikon pro pokrytí  
Citlivost  $0,5 \text{ nm/}^\circ\text{C}$**

Zdroj: LED 1550 nm, detektor: spektrometr

# LPG mřížka – SM vlákno: DNA zachycení (A) a hybridizace (B)

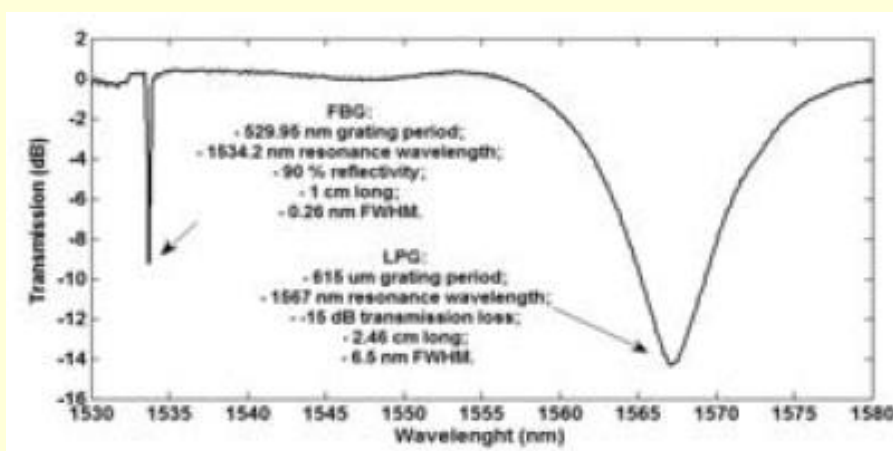
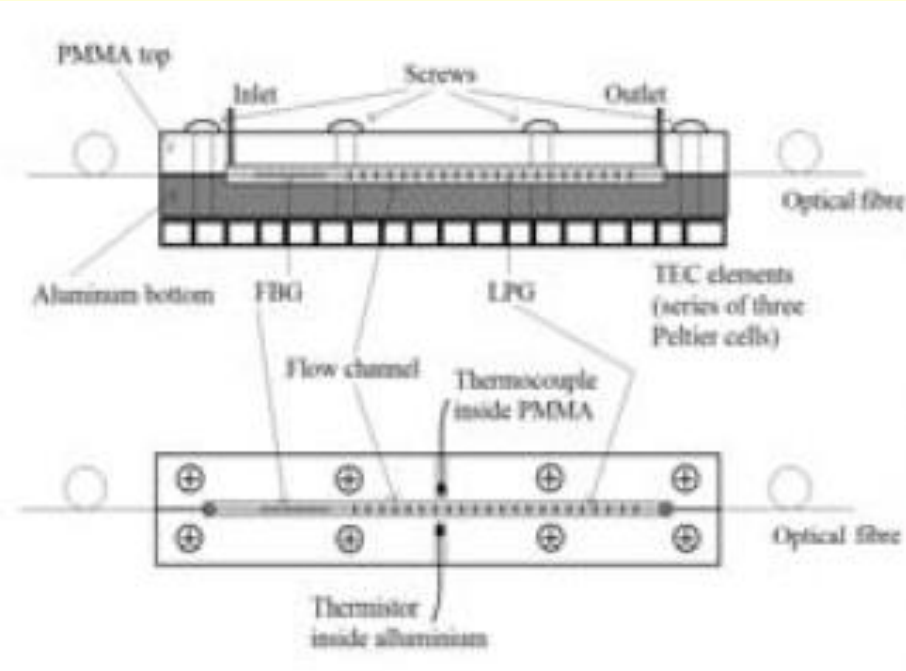


Perioda:  $\Lambda \sim 160 \mu\text{m}$

1  $\mu\text{M}$  ssDNA (5-GCACAGTCAGTCGCC-NH<sub>2</sub>-3) in PBS buffer

A.V. Hine et al., Biochem. Soc. Trans. (2009) 37, 445–449

# Kombinace Braggovských mřížek a mřížek s dlouhou periodou

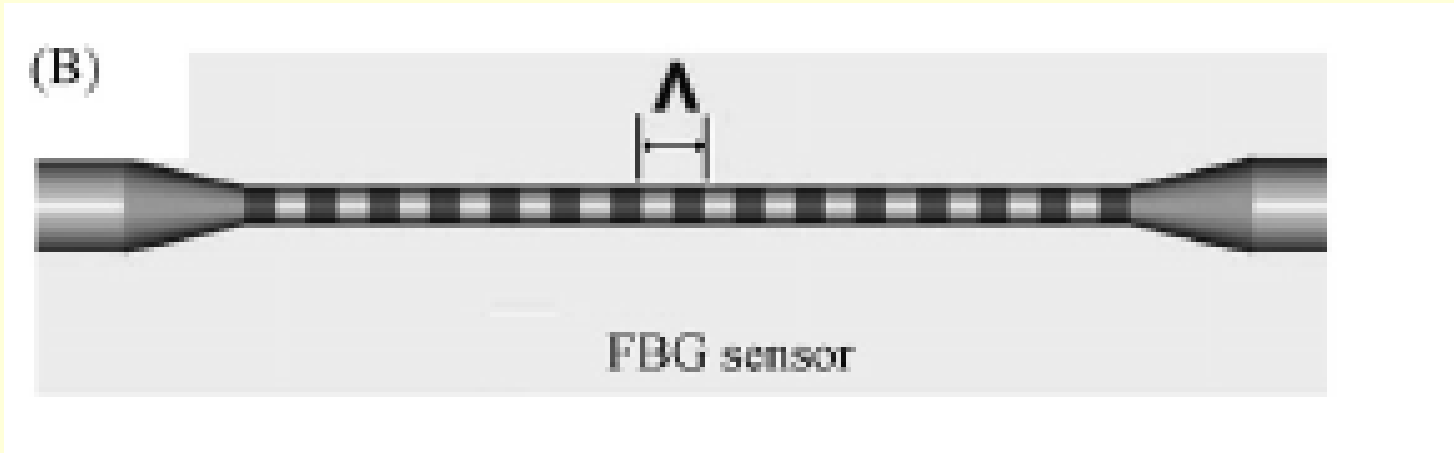


Mřížky vytvořené v jednom vlákně (Fibercore PS1250/1500)

LPG citlivá k napětí, teplotě, indexu lomu; FBG citlivá k napětí a teplotě.

F. Baldini et al., Proc. SPIE Vol. 7941, 7941- 40 (2011)

# Braggovské mřížky pro biosenzory



Lze použít FBG pro chemickou detekci?

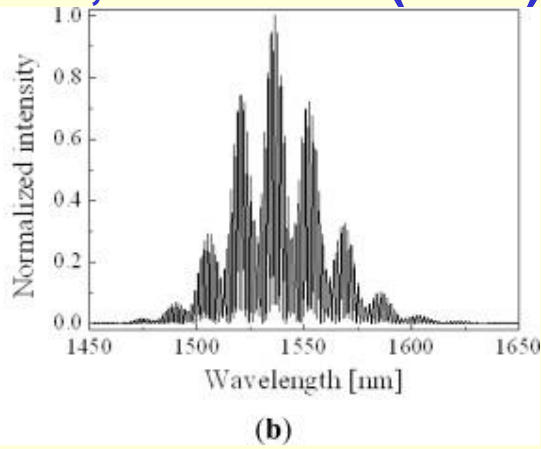
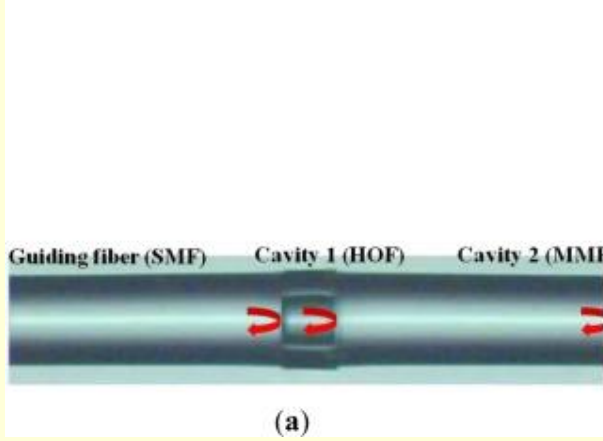
Pro chemické senzory a biosenzory je nutné odleptat plášť a otevřít přístup k evanescentnímu poli v oblasti FBG. Použito např. pro detekci DNA ( $\mu\text{M}$ ).

X. Fan et al., Anal. Chimica Acta 620 (2008) 8–26

# Další přístupy pro zvýšení citlivosti senzorů

Porovnání dvou vedených vln, jedné referenční a druhé s konstantou šíření změněnou interakcí s analytem  $\Rightarrow$   
Interferometrické senzory ( $\Delta n \sim 10^{-6}$  RIU i ve vodných roztocích)

X. Fan et al., *Anal. Chimica Acta* 620 (2008) 8-26 – plan. vlnovody  
Byeong Ha Lee et al., *Sensors* 12, 2467-2486 (2012)-vlákna



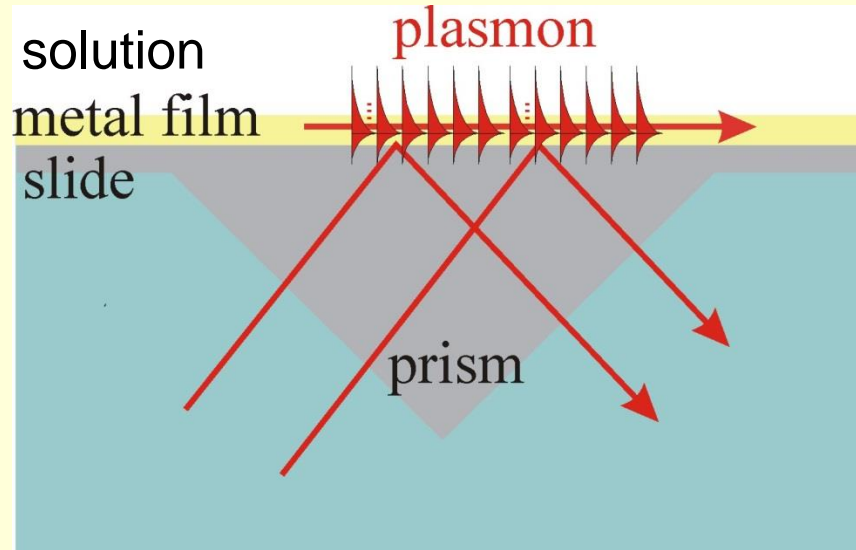
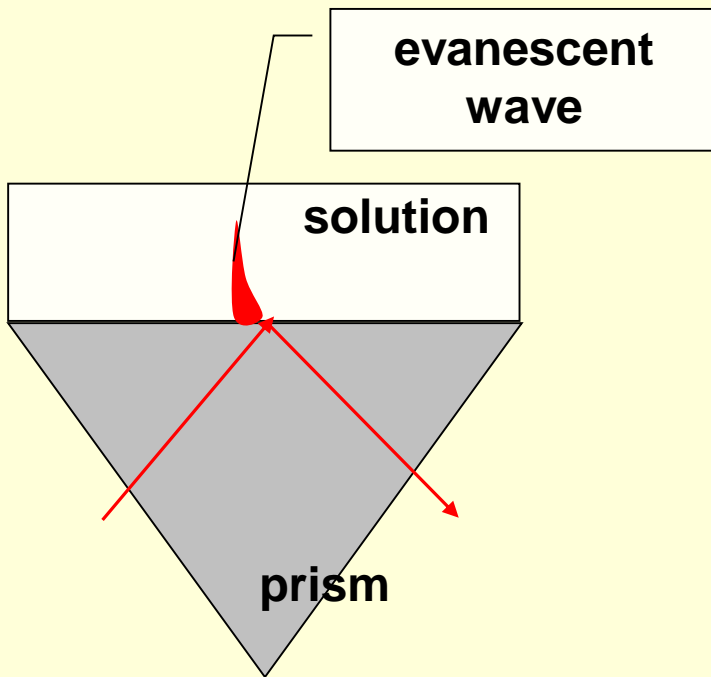
HOF 70 µm  
MMF 360 µm  
MMF ponořeno  
do vzorku

Zvýšení intenzity evanescentního pole na rozhraní jádro/plášt' nanesením vhodných materiálů do pláště

- SPR senzory ( $\Delta n \sim 10^{-5} - 10^{-7}$  RIU i ve vodě)

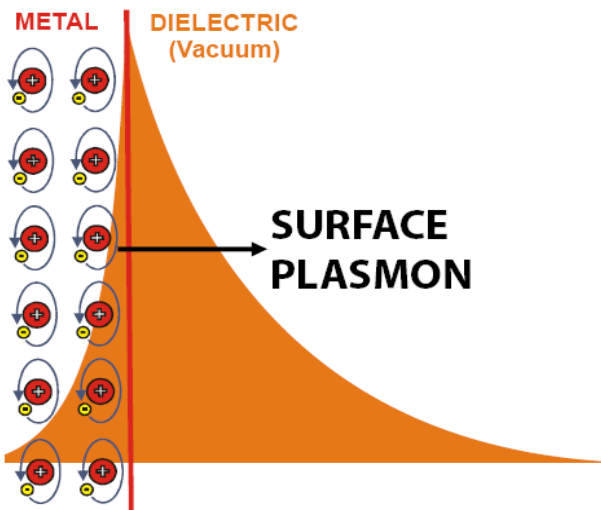


# Senzory s povrchovými plazmony (Surface Plasmon - SP)



Evanescenční vlna na rozhraní hranol/roztok excituje SP,  
tj. předá energii do SP  
SP $\leftrightarrow$  energetická změna volných elektronů –  
elektronová plasma na úrovni asi 10 eV ( $> \sim 124$  nm)  
Intenzivní evanescenční pole SP zasahuje do roztoku

# Senzory s povrchovými plasmony (SPR senzory)



A propagating surface plasmon at a metal–dielectric interface. PSP

## CHARACTERISTICS OF PSP:

**Propagation constant:**

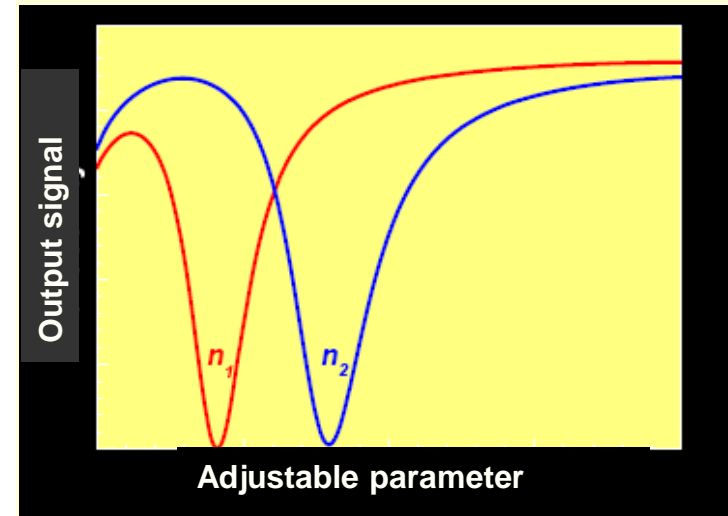
$$\beta = \frac{\omega}{c} \sqrt{\frac{\epsilon_m \epsilon_d}{\epsilon_m + \epsilon_d}}$$

**Field extent:**

$$L_{\text{dielectric}} = 150 - 400 \text{ nm}$$

**Propagation length:**

$$L_{\text{prop}} = 3 - 30 \mu\text{m}$$



Při vhodné hodnotě adjustabilního parametru světla dopadajícího na kovovou vrstvu dojde k přeskoku volných elektronů v kovu na vyšší energetickou hladinu, což je spojeno s pohlcením světla a snížením výstupního signálu senzoru (SPR rezonance). Její poloha závisí na indexu lomu dielektrika

# SPR senzory – způsoby excitace

## I. Angular spectroscopy

Convergent light beam

SPR-active metal

Sample

Prism coupler

$\alpha$

Photodiode array

Reflectivity

$n$

$n + \Delta n$

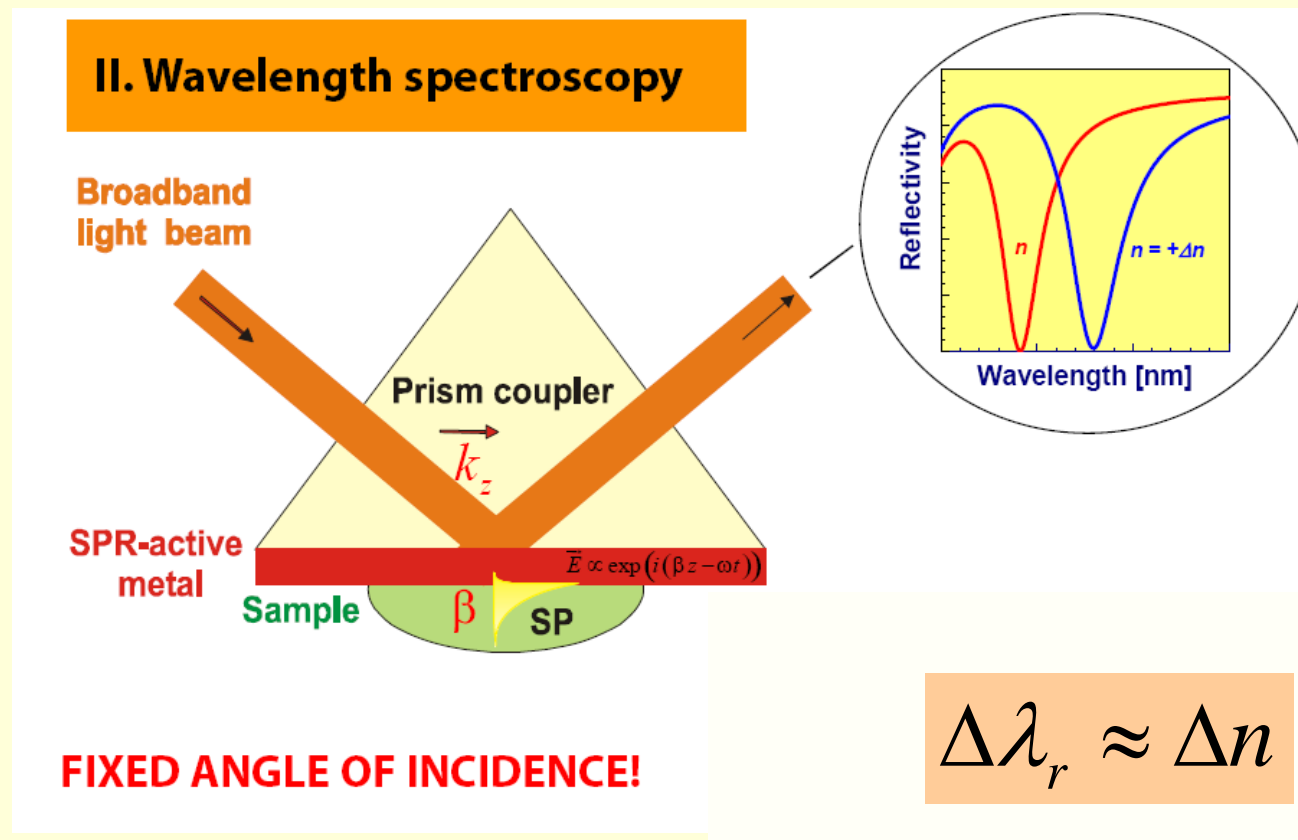
Angle of incidence

FIXED WAVELENGTH!

$$\Delta\alpha_r \approx \Delta n$$

Nastaví se úhel dopadajícího světelného svazku a detekuje se odražené světlo od povrchu kovu. Konstantní vlnová délka  $\lambda$ . Poloha SPR rezonance závisí na úhlu a indexu lomu vzorku  $n$ .

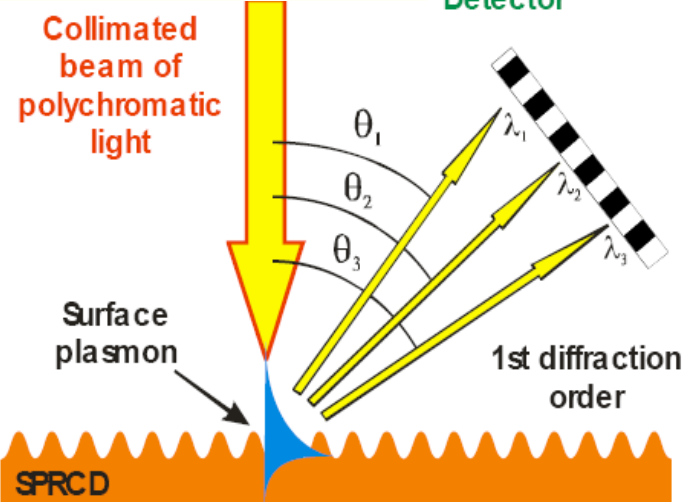
# SPR senzory – způsoby excitace



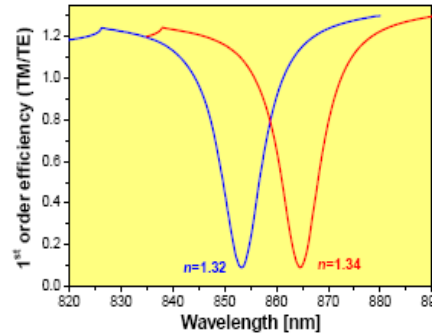
Nastaví se vlnová délka dopadajícího světla a detekuje se odražené světlo od povrchu kovu. Konstantní úhel dopadu. Poloha SPR rezonance závisí na vlnové délce a indexu lomu vzorku  $n$ .

# SPR senzory – způsoby excitace

## III. Diffraction grating



SPRCD: principle of operation.

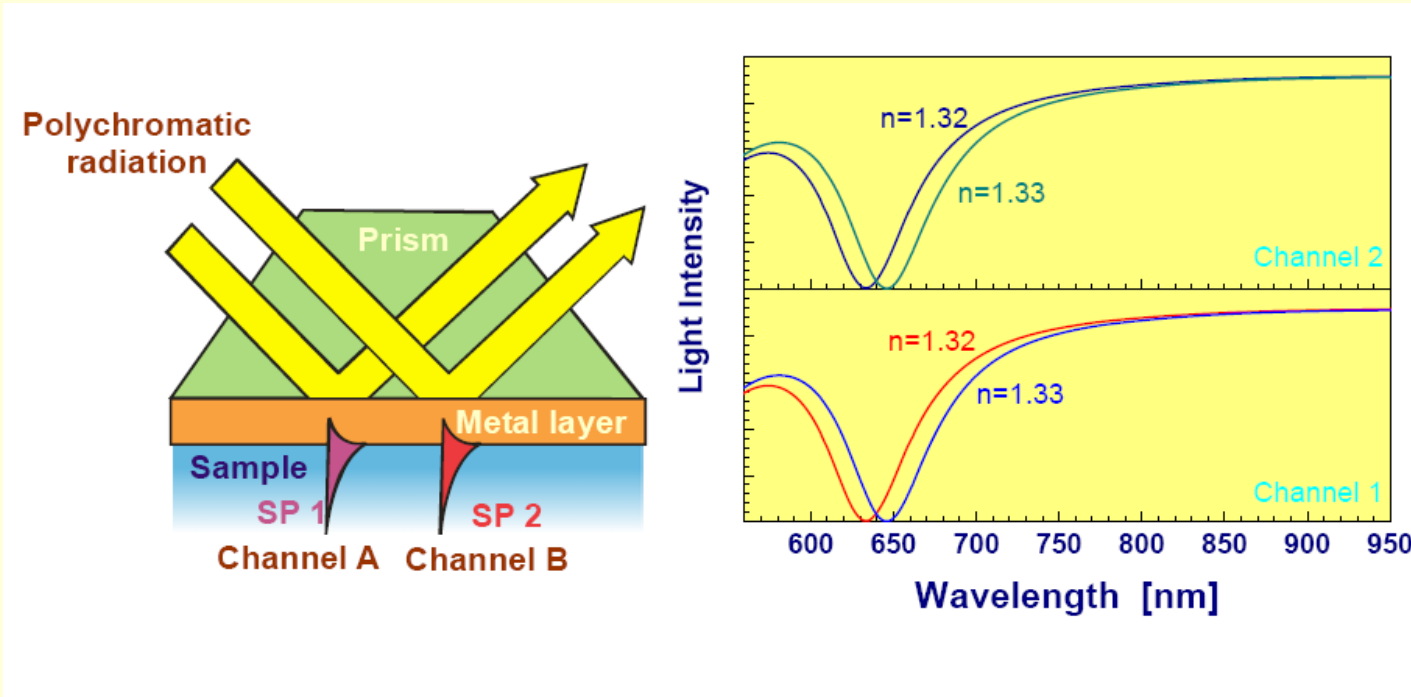


## ADVANTAGES:

- Low-cost (no spectrometer)
- Compact
- Chips compatible with mass production

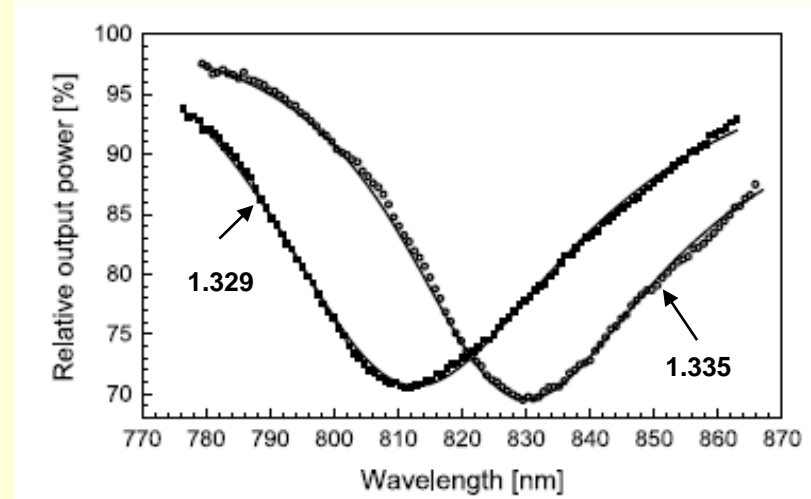
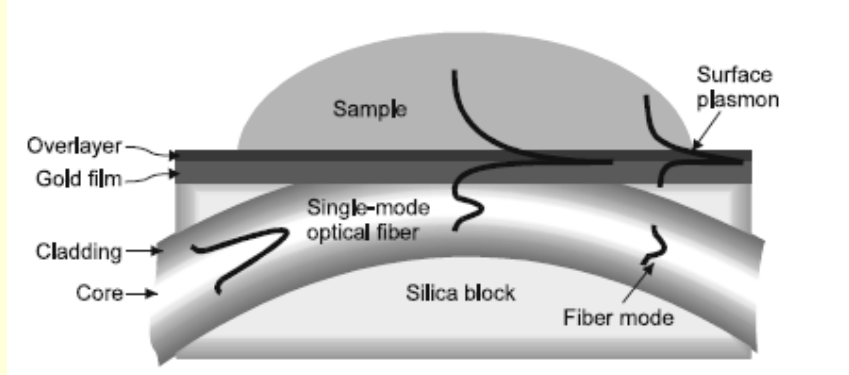
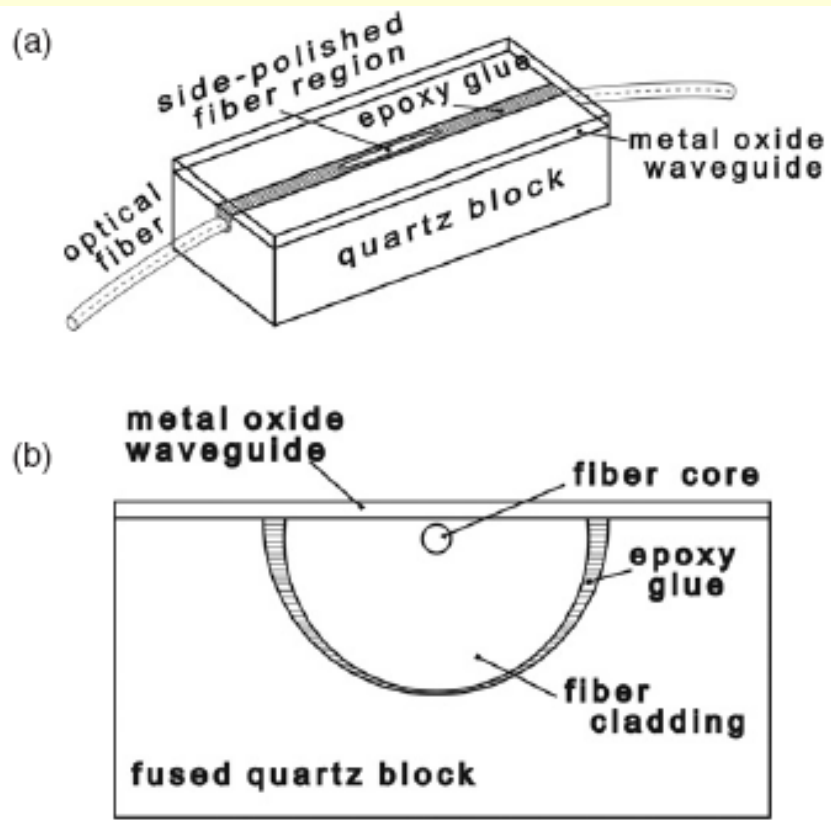
Na kovové vrstvě se vytvoří difrakční mřížka (perioda  $\sim 1250$  nm), na níž dojde k difrakci vstupního kolimovaného polychromatického svazku. Difrakce 2. řádu excituje SP, 1. řád v závislosti na vlnové délce dopadá na pevný CCD detektor. LD $\sim 5 \cdot 10^{-7}$  RIU.

# SPR senzory s více kanály pro detekci - reference



Dva paralelní detekční kanály (A-1 a B-2), odděleně excitované umožňují do jednoho kanálu zavést referenční vzorek (vlnovodně-spektroskopické uspořádání) . Vhodné i při SP excitaci pomocí mřížky.

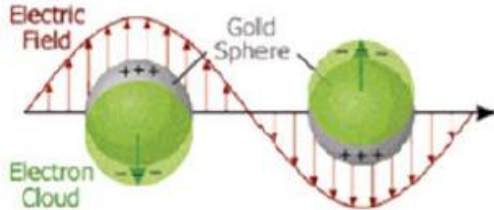
# SPR biosenzor na D-vláknu



R. Slavík et al., Novel spectral fiber optic sensor based on surface plasmon resonance, *Sens. Actuators B* 74, 106-111 (2001)

# Lokalizované plazmony

## I. Nanoparticles

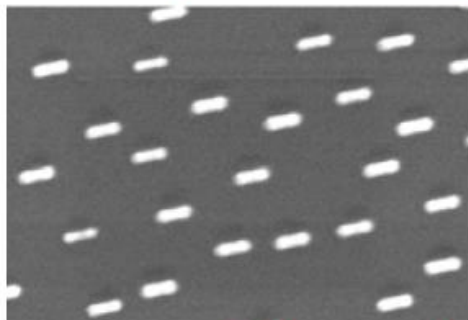


## CHARACTERISTICS OF LSP:

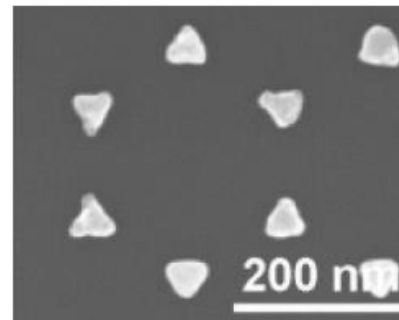
Field extent:

$$L_{\text{diel}} = 10 - 40 \text{ nm}$$

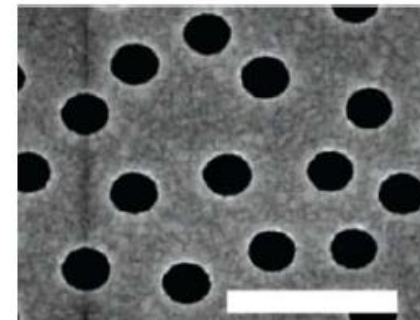
## II. Arrays of nanoobjects



SEM image: Gold nanorods <sup>1</sup>



Nanopyramid array <sup>2</sup>



Nanohole array <sup>3</sup>

Umožňují detekci v menších rozměrech porovnatelných s rozměry proteinů

J. N. Anker et al., *J. Phys. Chem.C* 113, 5891-5894 (2009).

# SPR senzory – požadavky

## Čtyři hlavní prvky

1. Zdroj světla s možností nastavit polarizaci, vlnovou délku, úhel dopadu, intenzitu, tvar svazku. Pouze **p (TM)** polarizované světlo excituje povrchový plasmon (SP). (Bílé světlo – využije se max. 50%)
2. Navazovací prvek vytvářející evanescentní pole pro navázání světla do kovové vrstvy a tím i pro excitaci volných elektronů (optický hranol, mřížka, vlákno)
3. Tenká vrstva kovu (Au, Ag, Al, Cu, Pd, Pt, Ni, Co, Cr, W) nebo polovodiče (Si), s tloušťkou asi 50 nm, kde může světlo excitovat SP. Kovy mají velké ztráty ve viditelné a NIR oblasti.
4. Detektor světla (fotodioda, spektrometr, diodové pole)



# SPR senzory praktická instrumentace



Sensors based on angular spectroscopy of surface plasmons: BIACore S51 (left), BIACore 3000 (middle), Spreeta sensor, TI (right) .



## LIMITATIONS:

- Costly (over 300kEUR)
- Bulky (80 kg)
- Requires trained personnel
- Designed for use in the lab

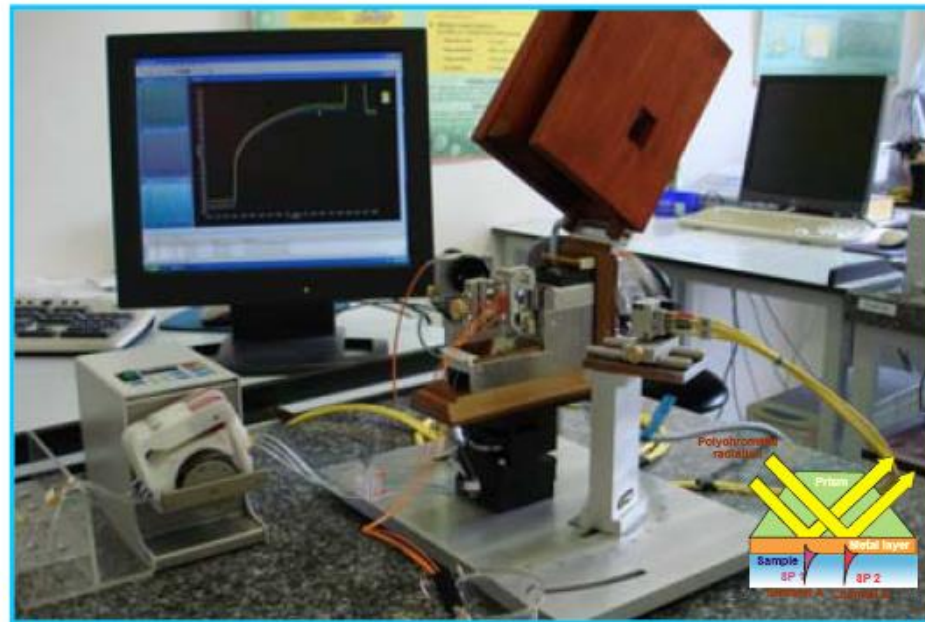
Applications: biomolecular interaction analysis



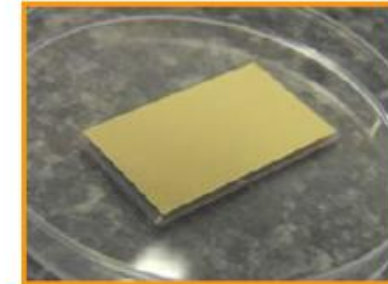
# SPR senzory laboratorní instrumentace – ÚFE AV ČR

- Spectroscopy of surface plasmons.
- Four sensing channels, (flow chamber volume 0.5 µL per channel)
- Temp. stabilization (stability < 0.02°C)

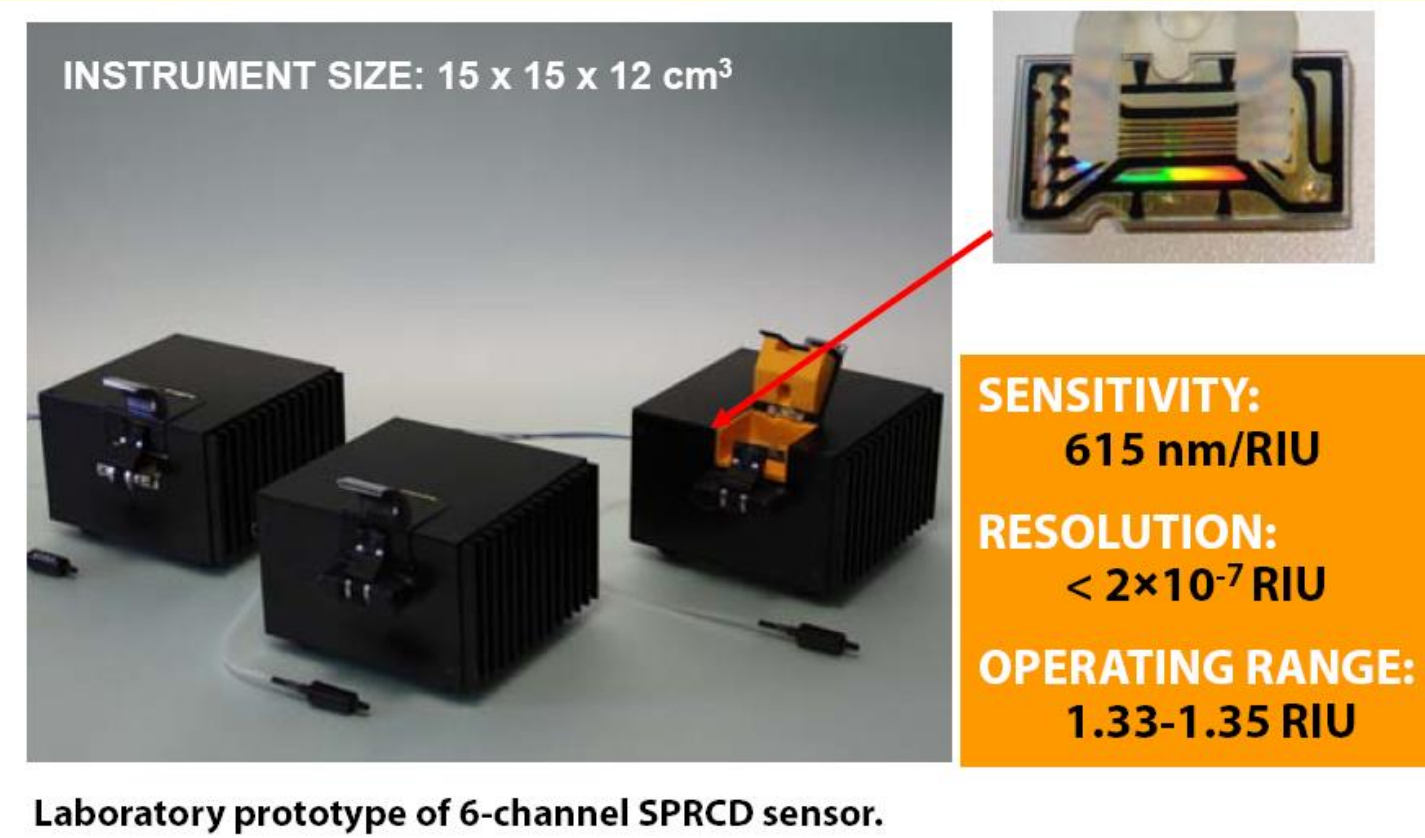
**RI RESOLUTION:**  
 $< 2 \times 10^{-7}$  RIU  
**OPERATING RANGE:**  
1.32-1.45 RIU



Four-channel SPR sensor and (top) and detail of an SPR chip (right).

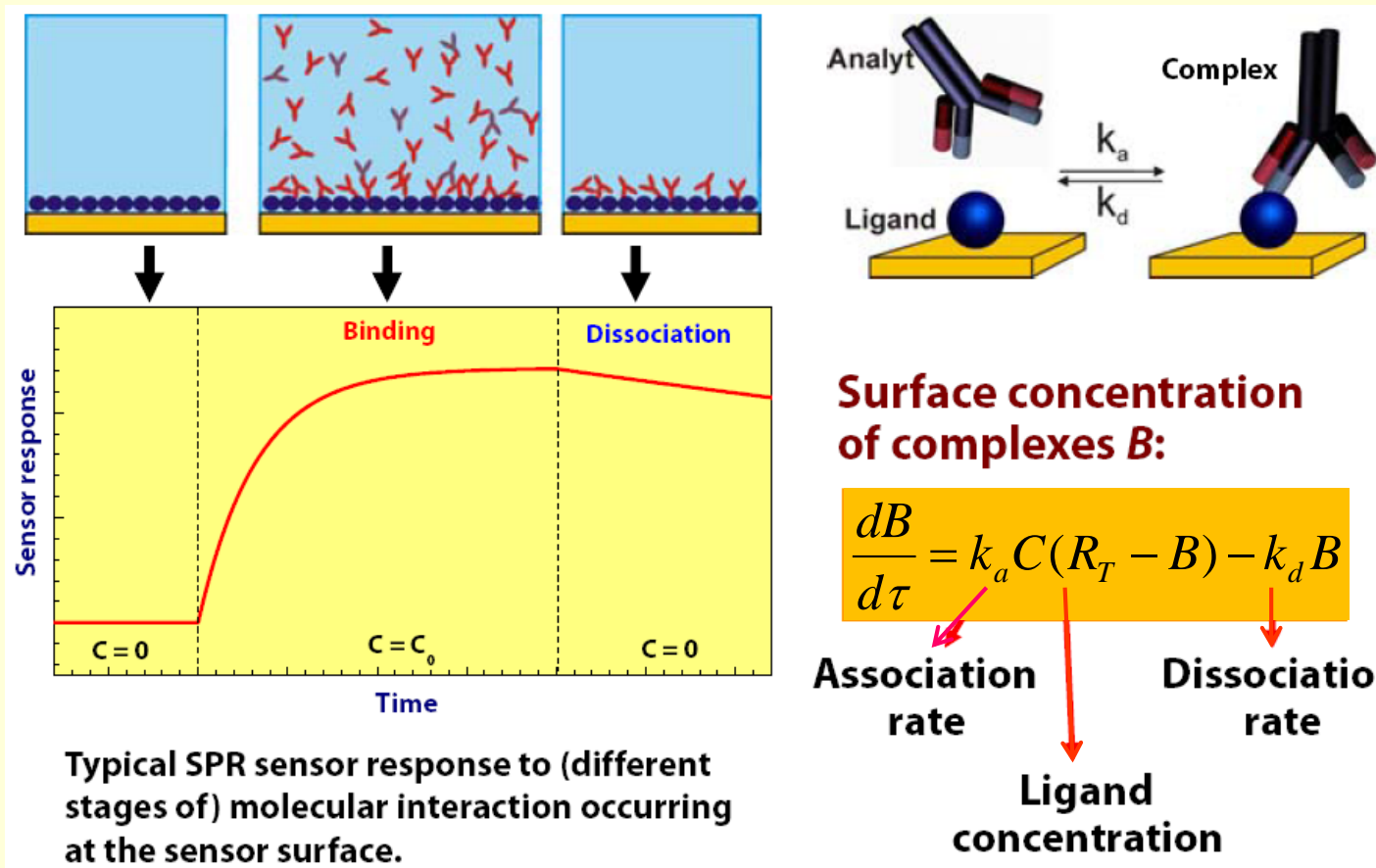


# SPR senzory praktická instrumentace – ÚFE AV ČR využívá excitaci mřížkou



Pracují již ve více než 5 zemích světa, např. ve Federal Drug Agency (USA)  
M. Piliarik, M. Vala, I. Tichý, J. Homola, *Biosens. Bioelectr.* 24, 3430–3435 (2009).

# SPR senzory – Využití Kinetika intermolekulárních interakcí

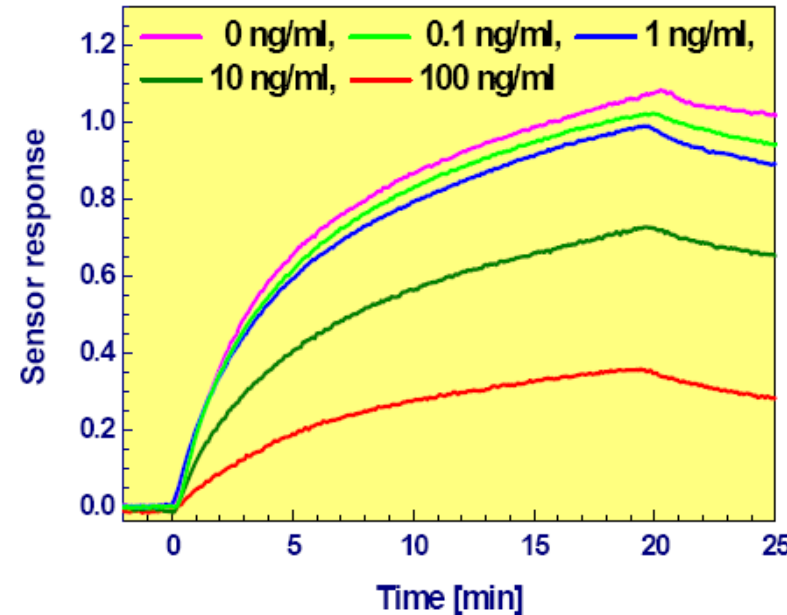
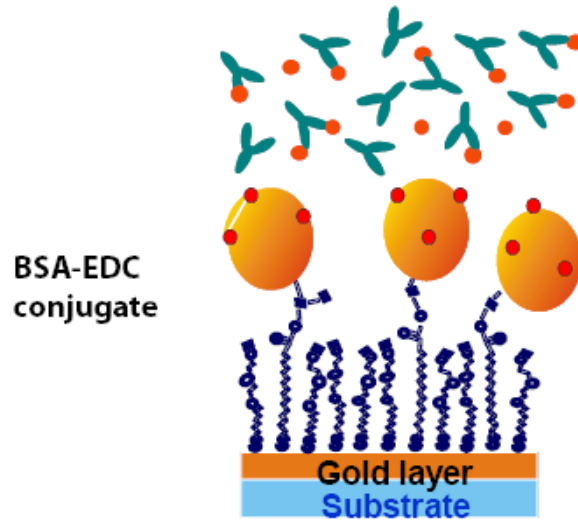


# SPR senzory – Využití Detekce chemických látek-herbicidů

## I. INCUBATION



## II. DETECTION OF FREE ANTIBODY



Detection of atrazine using inhibition assay. Kinetic response to unreacted antibody.

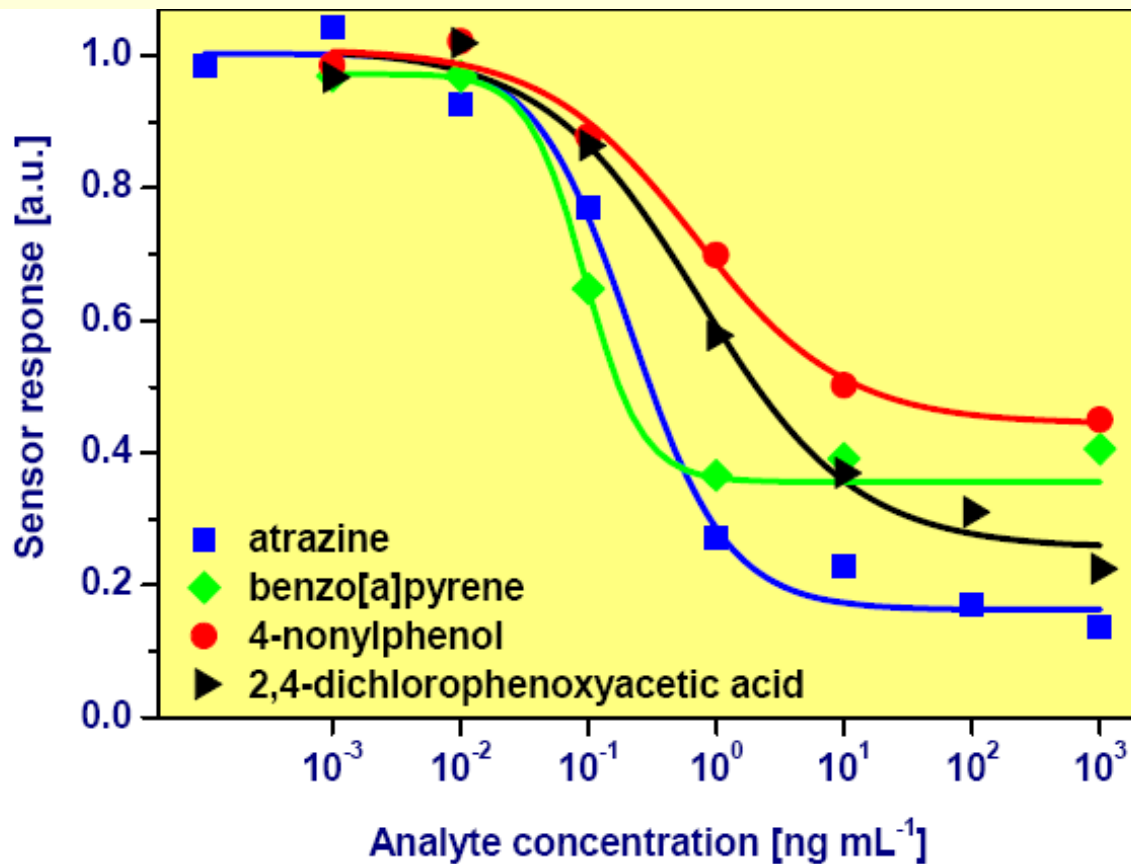
Inhibition assay detection format.

EDC- carboxyl-reactive carbodiimide crosslinker

Protilátky (antibody) k atrazinu

Detekce látek narušující systém žláz s vnitřní sekrecí

# SPR senzory – Využití Detekce chemických látok



**ACHIEVED LODS:**

ATR – 70 pg/ml

BaP – 50 pg/ml

4NP – 260 pg/ml

2,4-D – 160 pg/ml

J. Dostálek, et al., *Anal. and Bioanal. Chemistry* 389, 1841–1847 (2007).

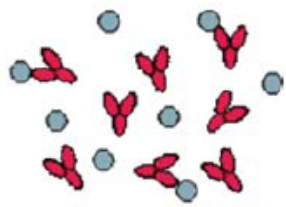
Calibration curves for detection of atrazine (ATR), 2,4-dichlorophenoxyacetic acid (24D), 4-nonylphenol (4NP) and benzo[a]pyrene (BaP).

# SPR senzory – Využití Detekce nebezpečných láték

- Bisphenol A is used to make polycarbonate plastics
- Bisphenol A is endocrine disruptor, dangerous especially in early development stage.

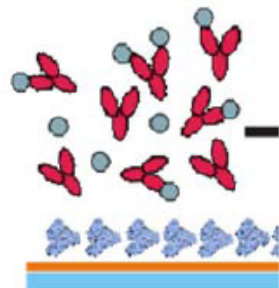


## I. INCUBATION

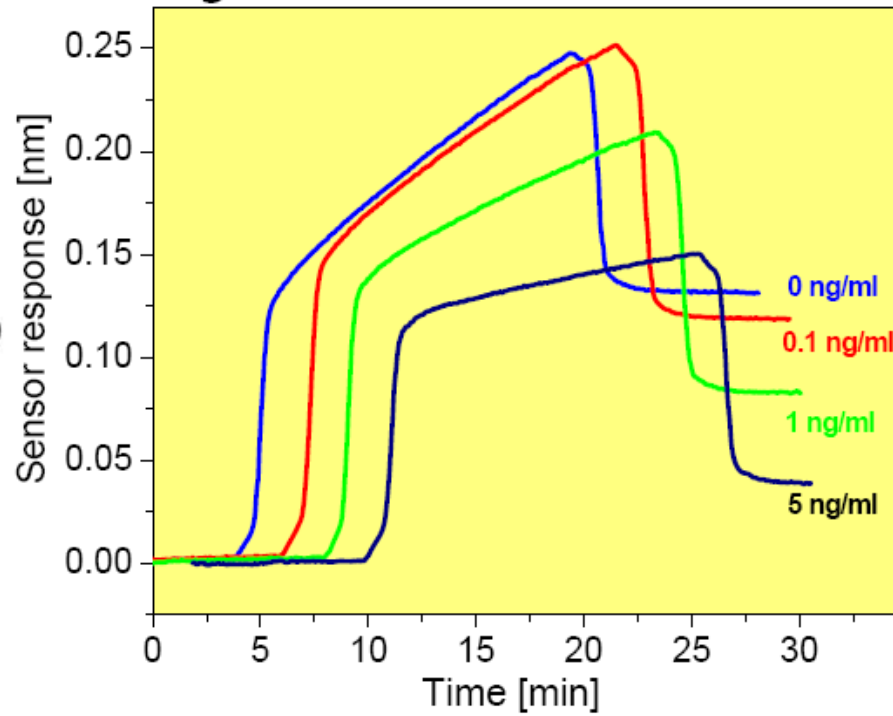


antibody (anti-BpA)  
antigen (BpA)  
conjugate (BSA-BpA)

## II. DETECTION OF ANTIBODY

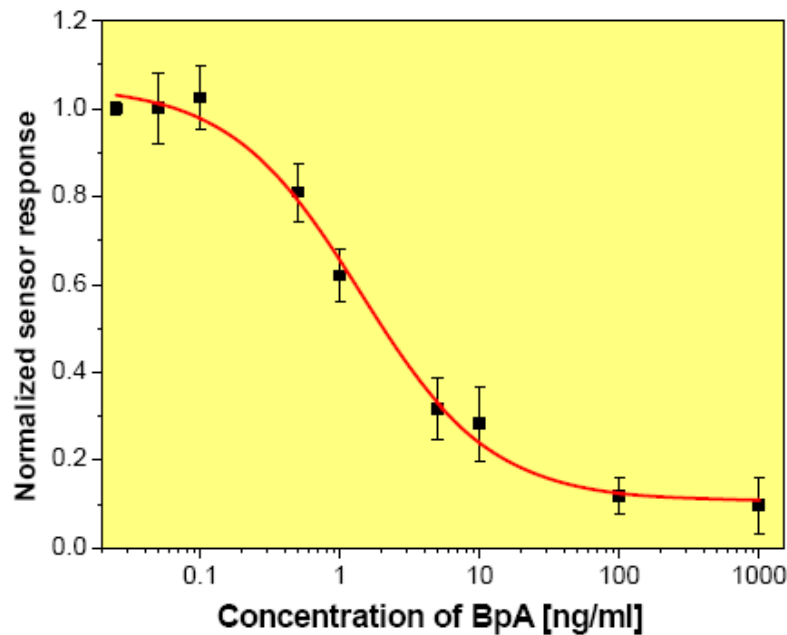


Inhibition binding detection format.

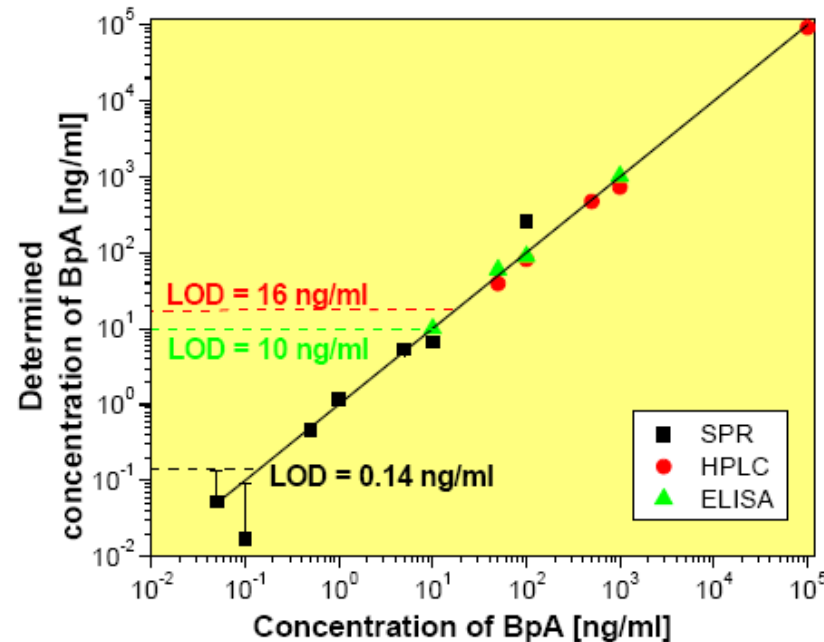


Detection of BpA using inhibition assay.  
Kinetic response to unreacted antibody.

# SPR senzory – Využití Detekce nebezpečných látok



Calibration curve for BpA in wastewater samples.



Determination of BpA in wastewater samples using SPR, HPLC and ELISA.

**Bisphenol A in waste water:**

K. Hegnerová, et al., *Anal. & Bioanal. Chem.*, 398, 1963–1966 (2010).

**LOD: 140 pg/ml**

**Bisphenol A in drinking water:**

K. Hegnerová, J. Homola, *Sens. Act. B*, 151, 177-179 (2010).

**LOD: 40 pg/ml**

# Miniaturizace optických senzorů

## Nové otázky

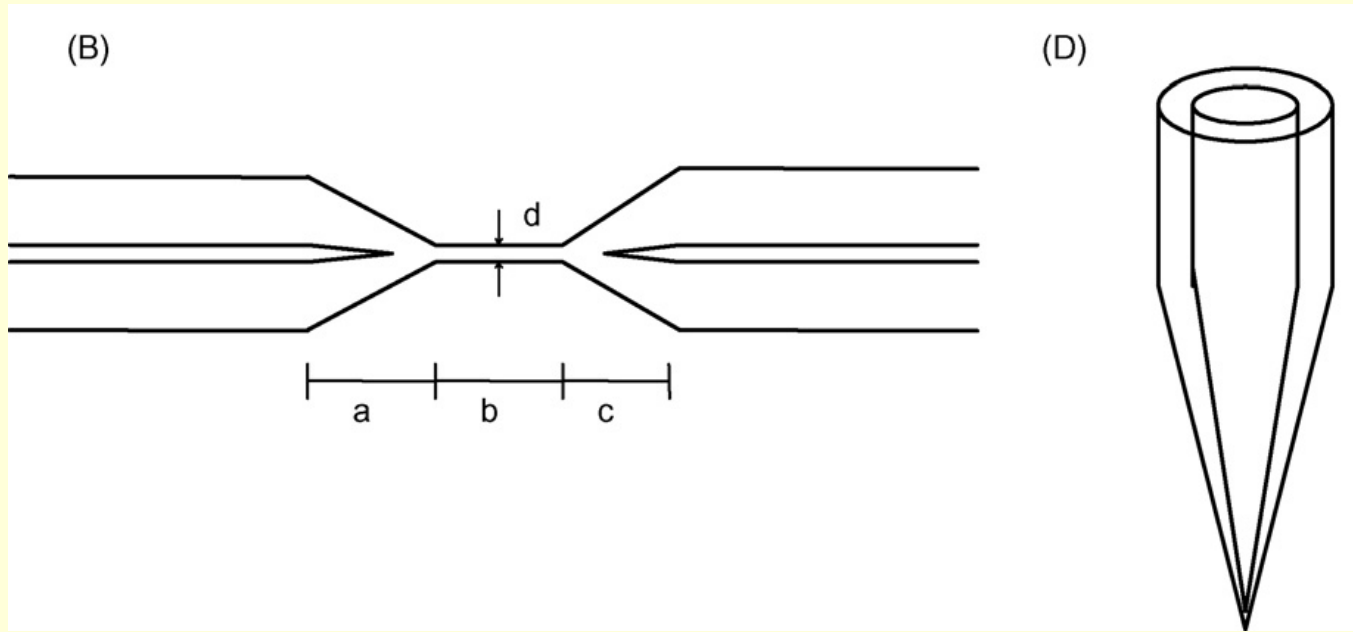
- Detekce v malých objemech vzorků ( $\mu\text{l}$ )
- In situ detekce v živočišných nebo rostlinných buňkách (rozměry  $\sim 1\text{-}100 \mu\text{m}$ )

## Mikro a nanosenzory využívající

- Kónická vlákna – vláknově-optické tapery
- Optické nanočástice – PEBBLE - „probes encapsulated by biologically localized embedding“;



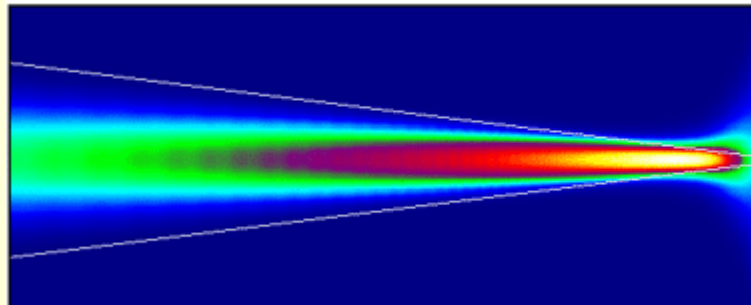
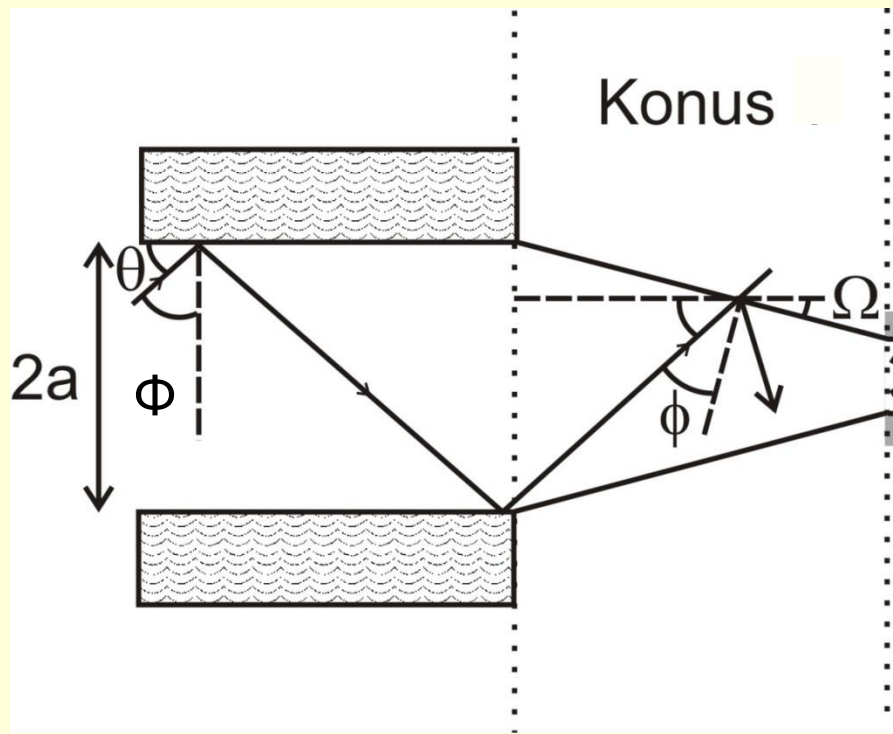
# Kónicky zúžená vlákna -tapyery



**Umožňují zvýšit detekční citlivost ve srovnání s vlákny s konstantním průměrem.**

**Připravují se buď se dvěma kónusy (B) – "biconical"**  
**nebo s jedním jako vláknové špičky (D)- "fiber tips"**

# Kónicky zúžená vlákna - princip

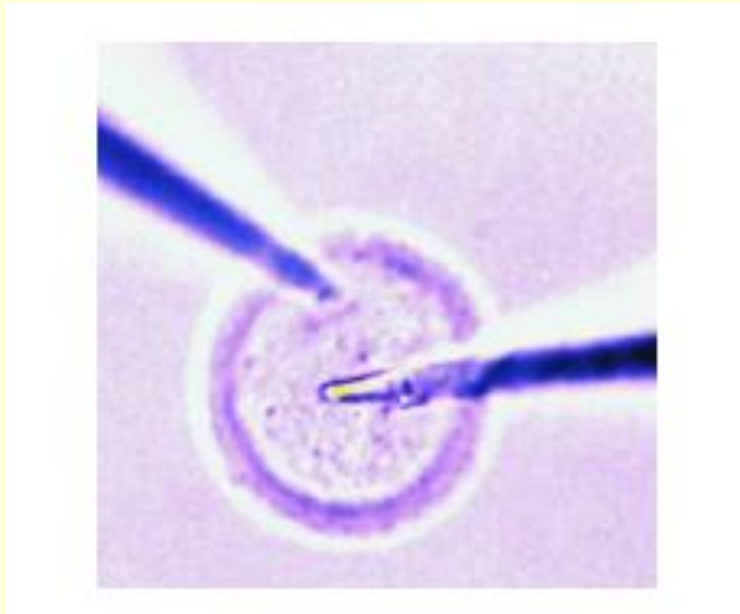
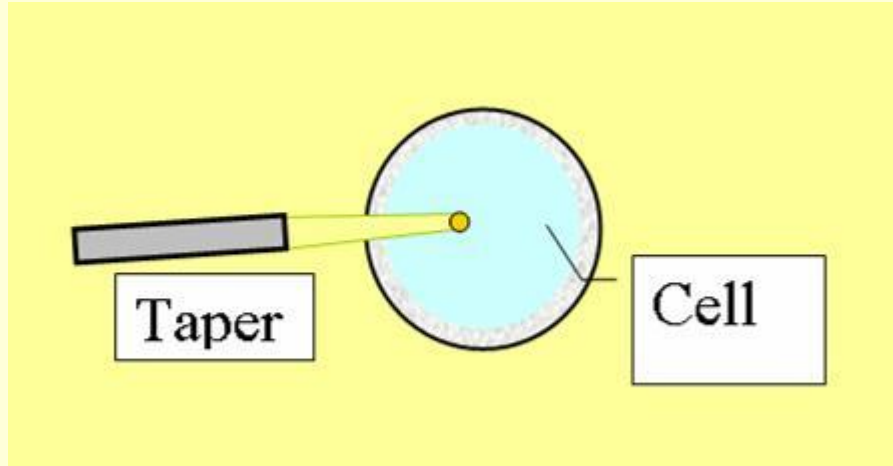


Zmenšuje se poloměr jádra a a reflexní úhel  $\Phi$  na rozhraní jádro-plášt'  $\Rightarrow$  zvyšuje se výkon přenášený v evanescentním poli a tím i odezva a detekční citlivost.



# Senzory na vláknově-optických špičkách

Optické vlákno protažené do špičky, která je modifikována vrstvou s opticko-chemickým převodníkem.



Optické prvky citlivé k draslíku pro detekci pH a K v buňkách myších vajíček- "oocyte" (100 $\mu$ m)

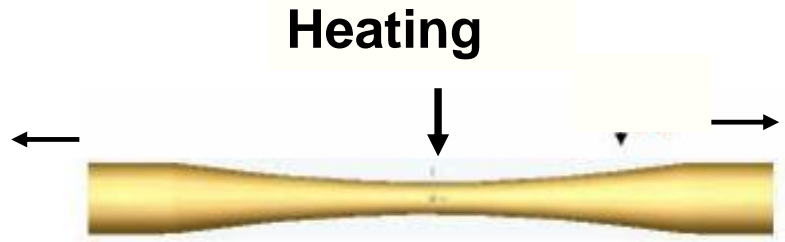
S.M. Buck et al. , Talanta 63 (2004) 41



# Příprava kónických špiček- termicky



Výchozí křemenné vlákno

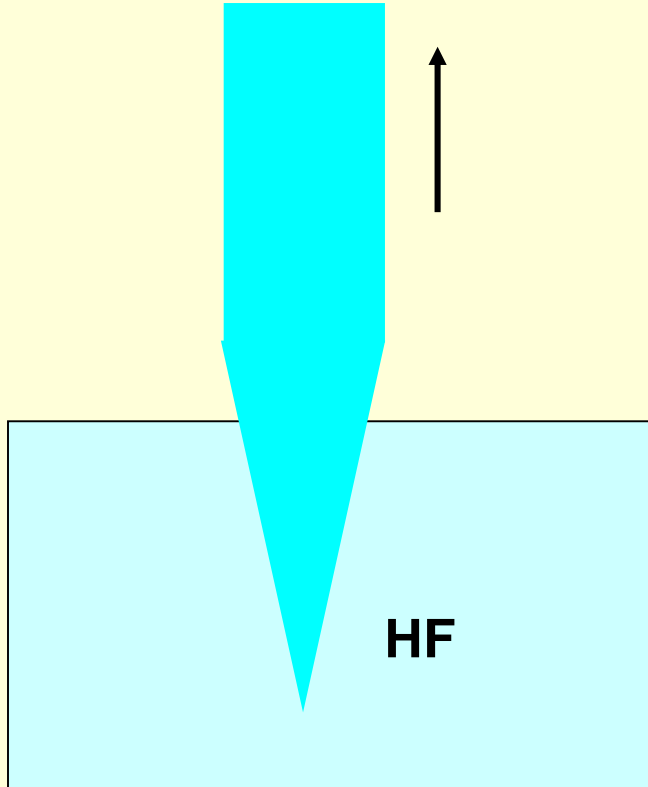


Prodloužení a zúžení vlákna při jeho zahřátí hořákem nebo CO<sub>2</sub> laserem

Pokrytí kovovou nebo keramickou ochrannou vrstvou

Přesné uříznutí

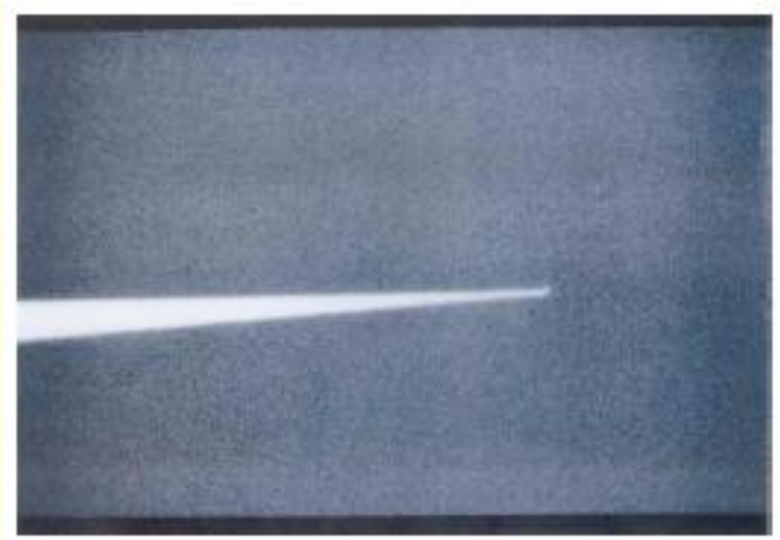
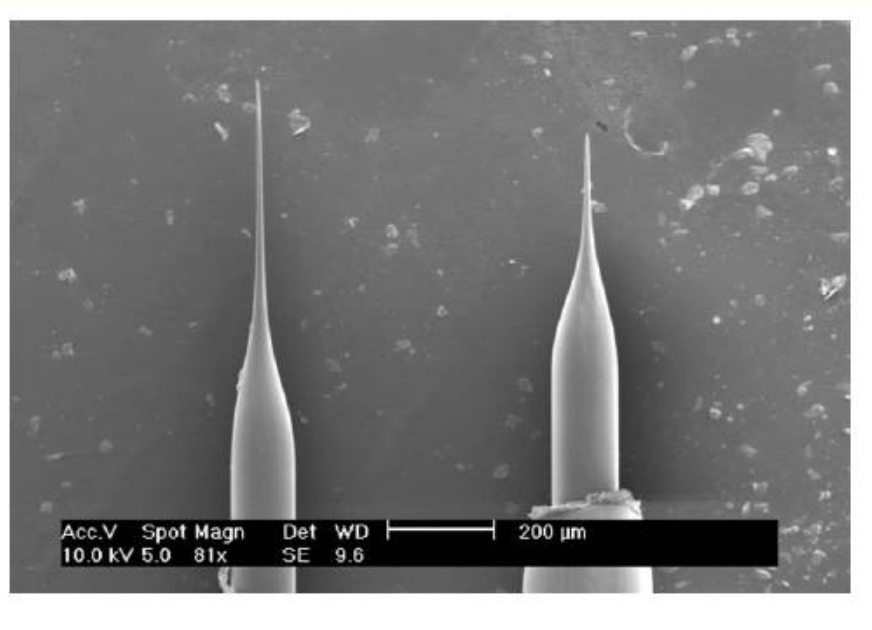
# Příprava kónických špiček - leptání



Ponořením křemenného vlákna do roztoku kyseliny fluorovodíkové a jeho pomalým vytahováním konstantní rychlostí

N. Nath et al., J. Anal. Toxicology 23 (1999) 460-467

# Příklady připravených špiček



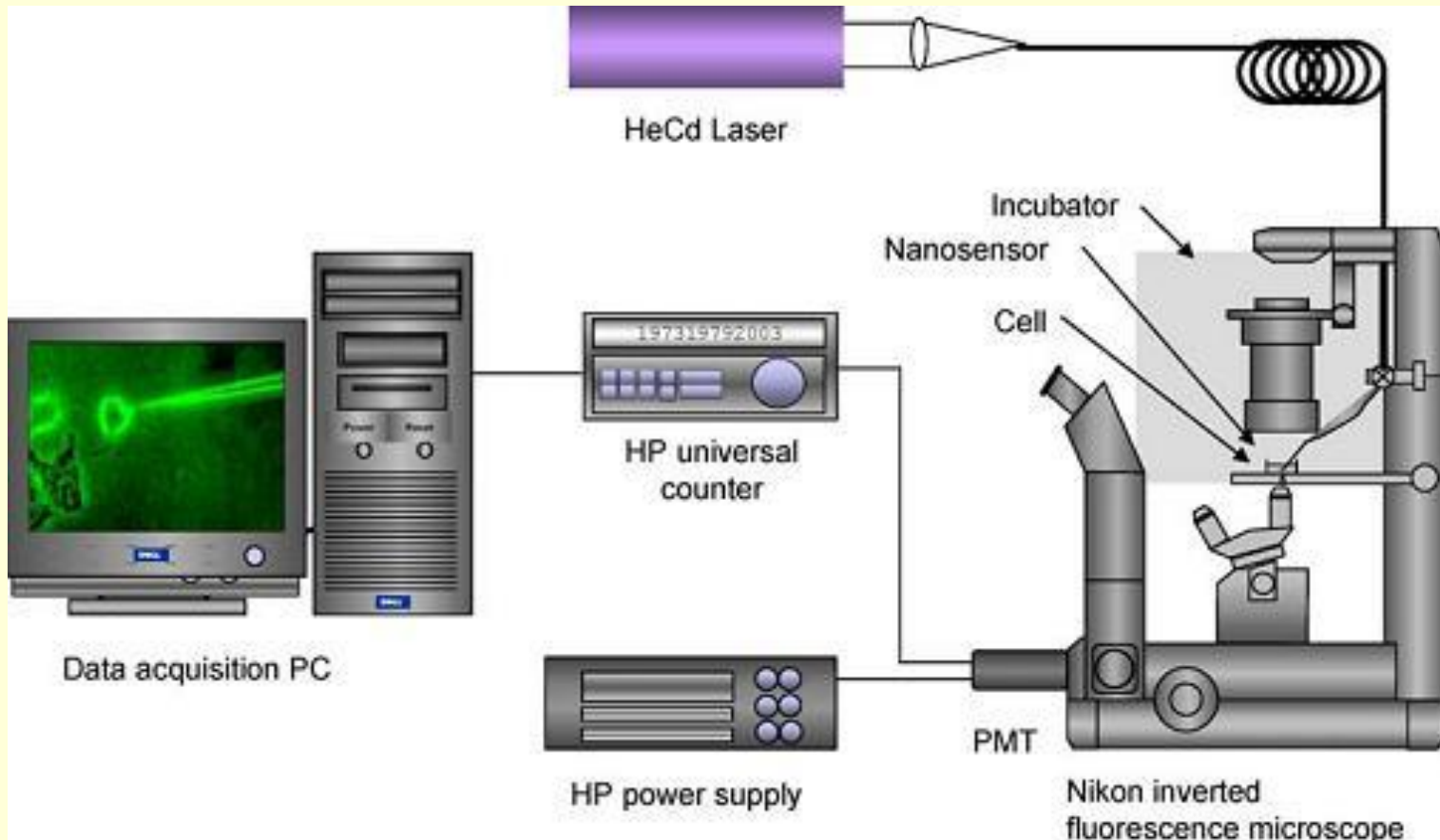
**Průměr špičky 50 nm**

**B. Cullum et al., Tibtech September 18 (2000) 388-review**

**E. J. Park et al., J. Mater. Chem. 15 (2005) 2913 – detekce O<sub>2</sub>**

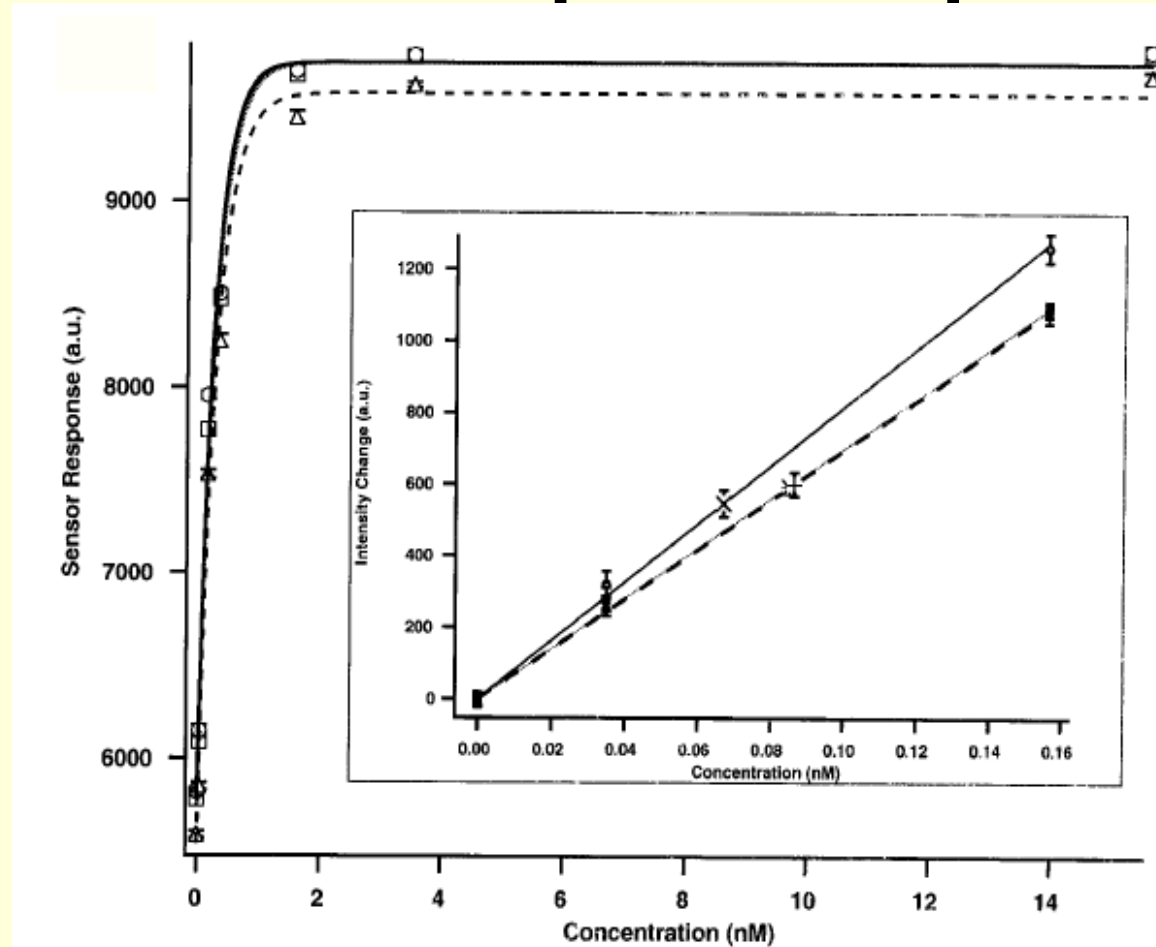
# Senzory na vláknově-optických špičkách fluorescenční měření

## Invertovaný fluorescenční mikroskop



T. Vo-Dinh et al., Anal Bioanal Chem 382 (2005) 918

# Senzory na vláknově-optických špičkách - příklad

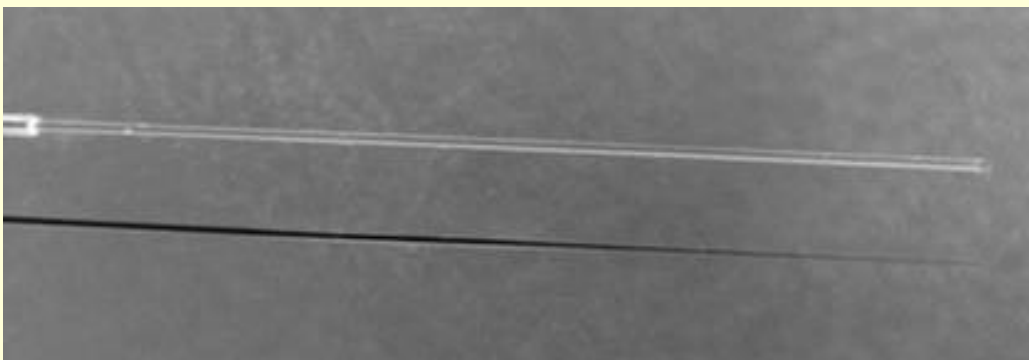


Excitace 325 nm  
Emise nad 400 nm  
(zelena)  
BPT zachycen na  
protilátce ukotvené na  
špičce taperu

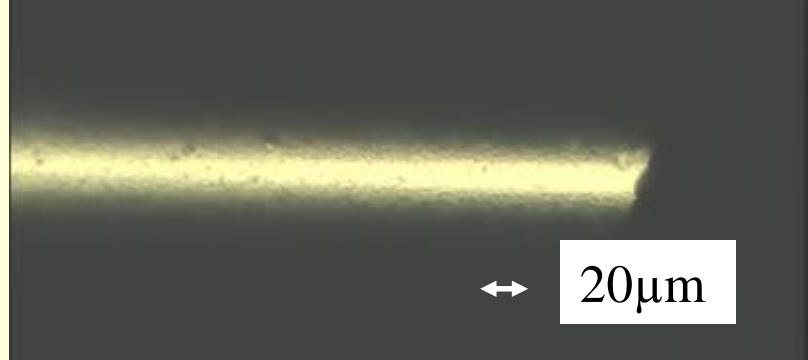
B. M. Cullum et al., Analytical Biochemistry 277 (2000) 25 – Fluorescence benzo[a]pyrene tetrol v buňce z krysích jater – protilátka pro BPT: LD~ 10 pM

# Tapery UFE

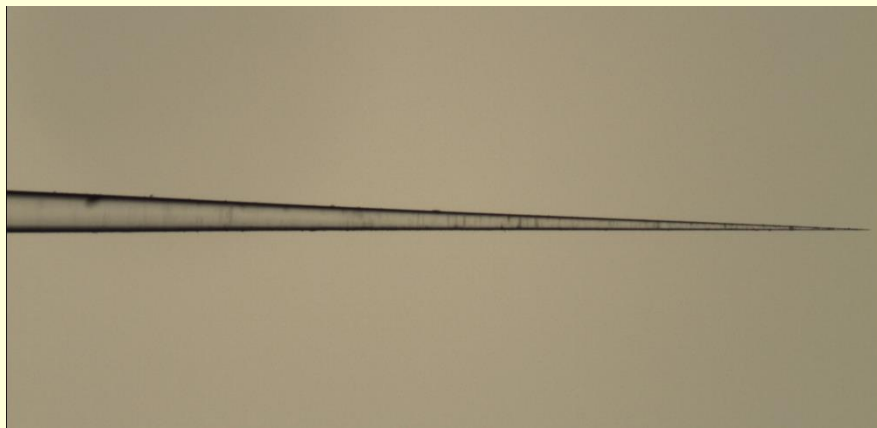
Taper pokrytý ITO a výchozí vlákno



Taper pokrytý Al



Taper pokrytý ITO s průměrem špičky 2  $\mu$ m

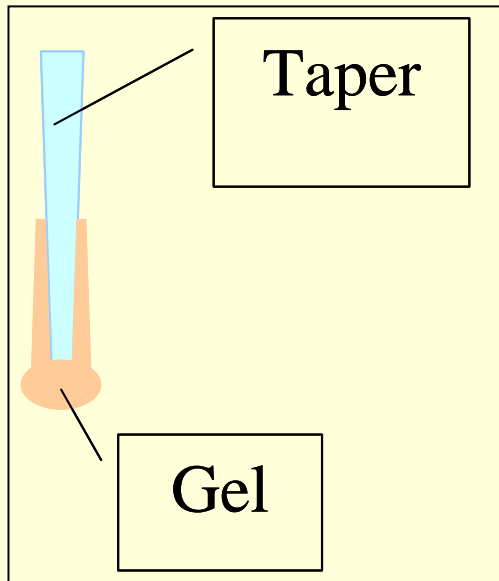


Pokrytí konce špičky polymerní nebo pórézní membranou

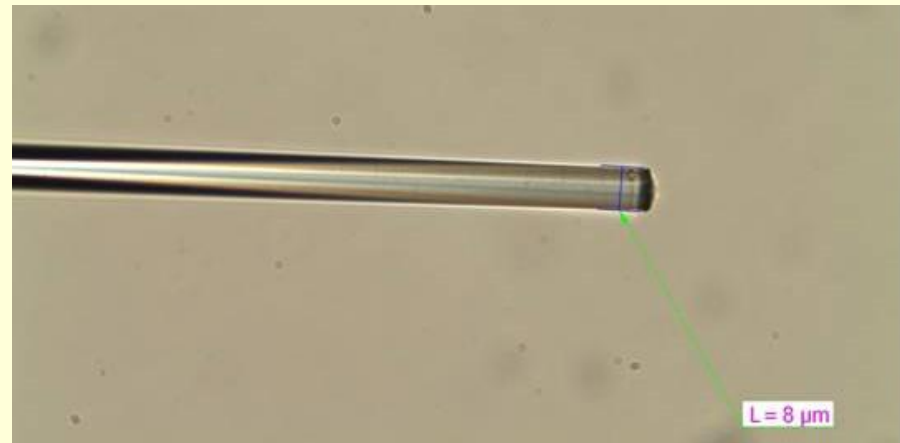
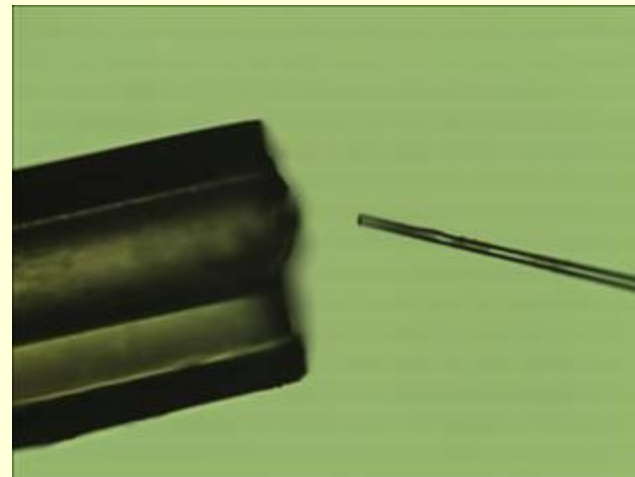


# Detekční vrstvy – Příprava sol-gel

## Namáčení

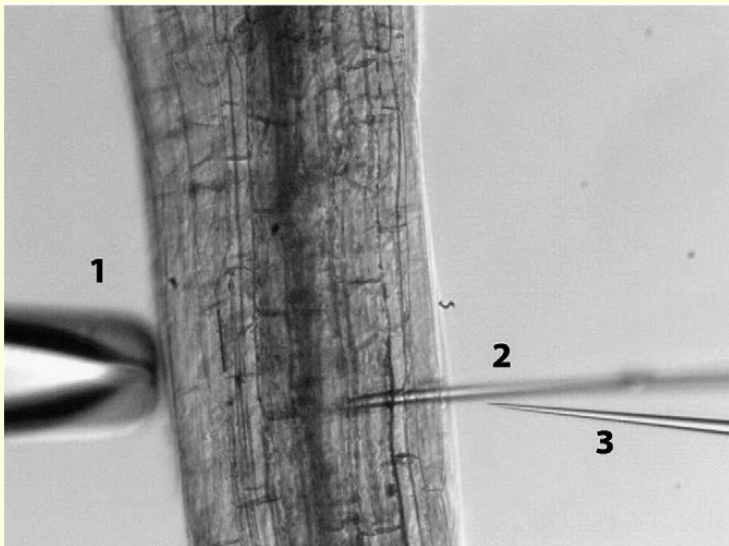


## Z kapky v kapiláře

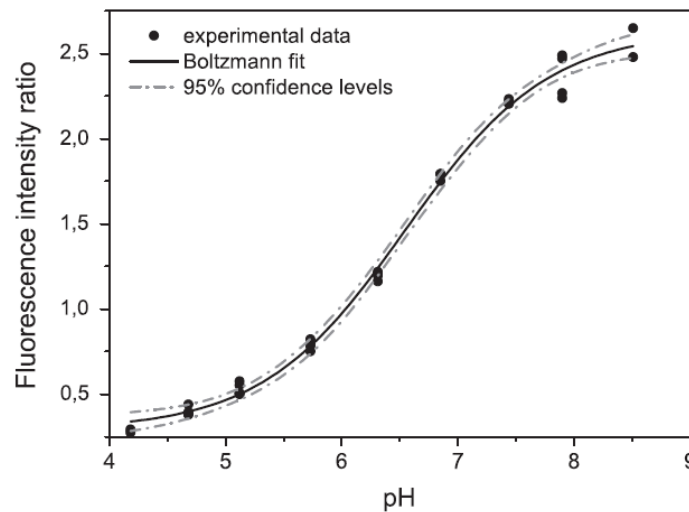
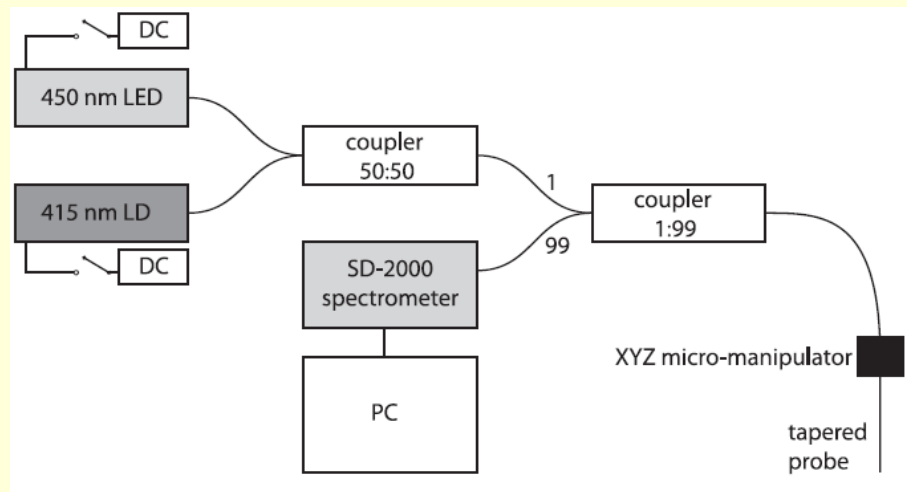
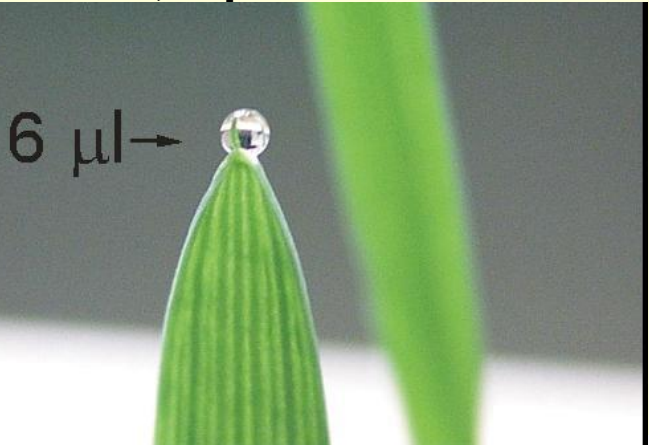


# Reflexní pH sensor

Špička na křemenném vlákně (diam. 1-20 $\mu\text{m}$ ), luminiscenční pH indikátor (BCECF) na špičce – pH in v rostlinách (*Arabidopsis Thaliana*) nebo v exudátu



2-sensor, 3-penetrator



I. Kasik et al.,  
Mat. Sci. Eng. C33,  
4809, 2013

# Detekce pH v exudátech z tabákových listů

	Kapky na špičce listu	Exudát získaný po odříznutí špičky listu	Exudát získaný po odříznutí listu v jeho základně
Střední	5.0	5.6	5.5
St. odchylka	0.3	0.3	0.1
Elektrochem.	5.4	5.4	6.0

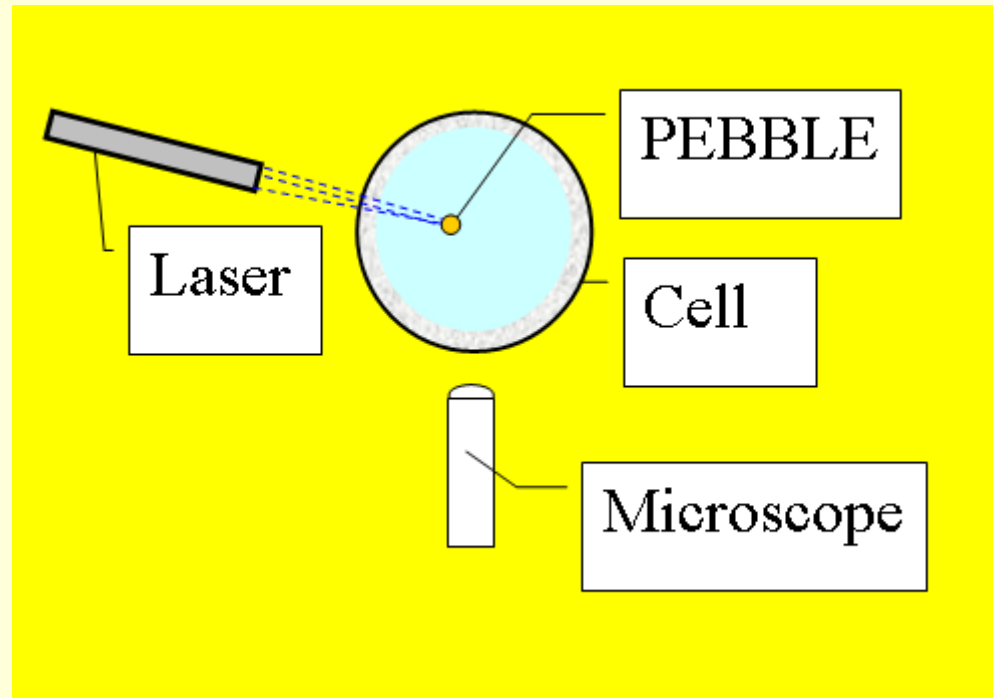
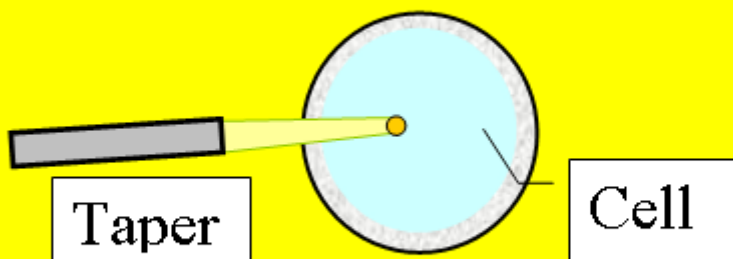
Žádný gradient pH nebyl v rámci statistických chyb prokázán

I. Kašík et al., Anal. Bioanal. Chem. 398 (2010) 1883-1889

# PEBBLES

*„Probes Encapsulated By Biologically Localised Environment“* = nanočástice

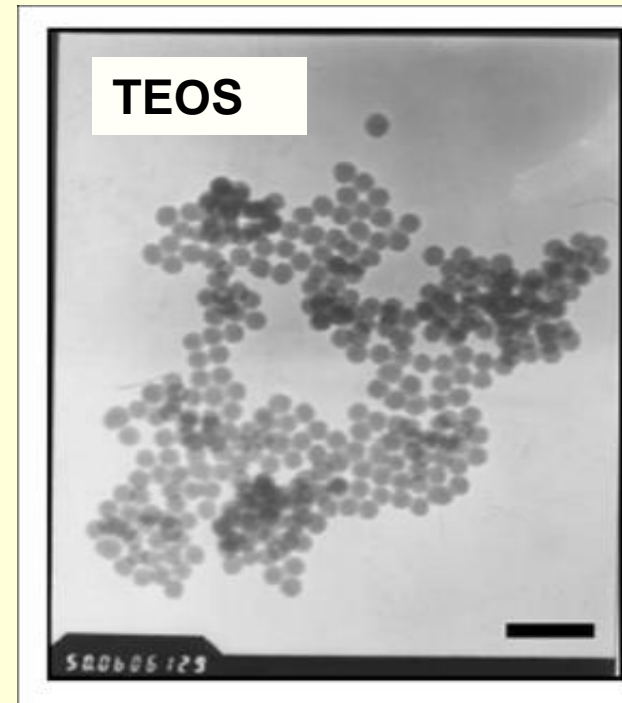
(50-100 nm) obsahující měřící a referenční  
luminiscenční převodníky v inertní matrici



# PEBBLE - PŘÍPRAVA

• Nanočástice 20-100 nm obsahující převodníky jsou připravovány **emulzními technikami** na základě :

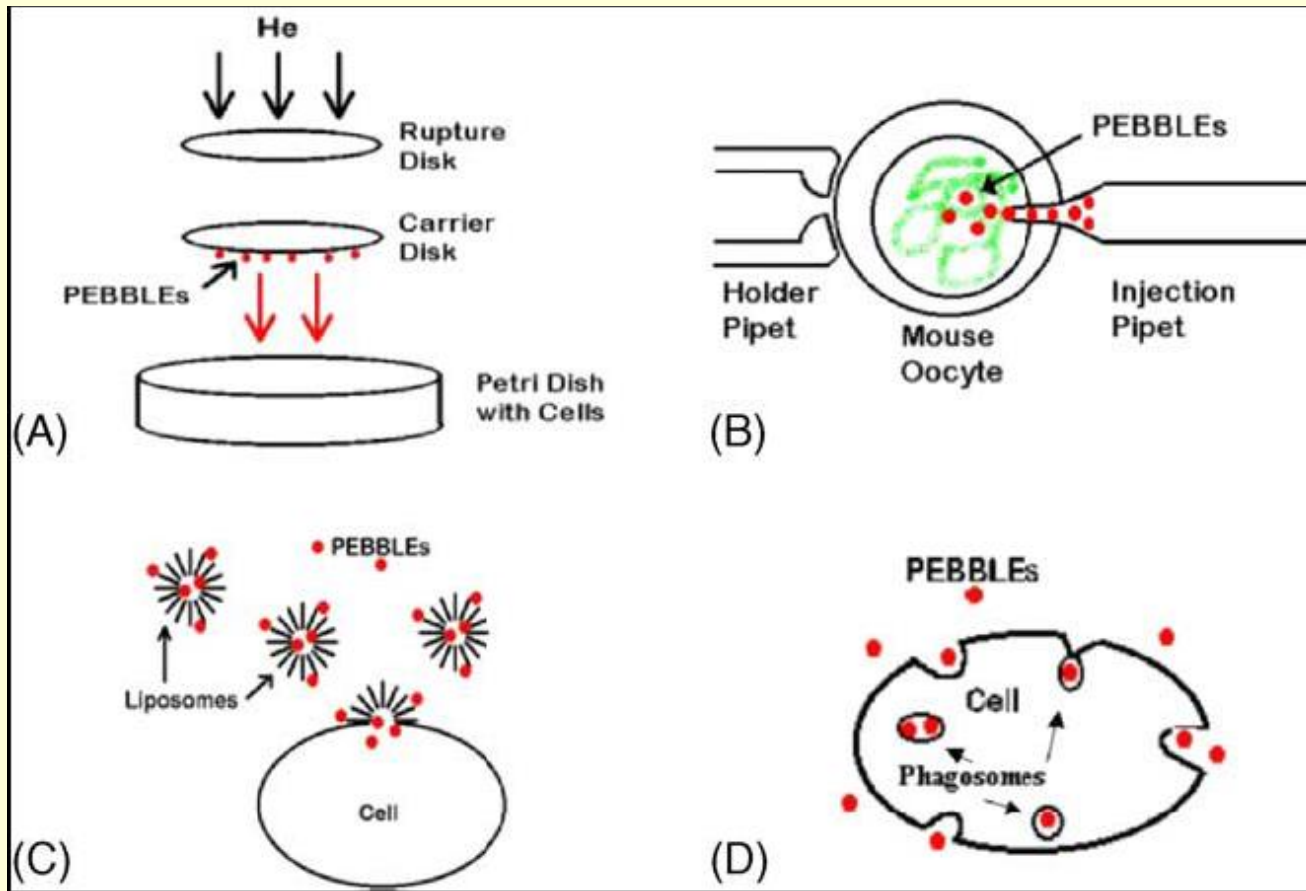
- Polymerů
- Organicky modifikovaných silikátů
- Alkoxidů -TEOS



W.Tang et al., Biochem. Biophys. Res. Commun. 369 (2008) 579 - polymery

X. Hun et al., Microchim Acta 159 (2007) 255, TEOS

# Implementace PEBBLE do buňky

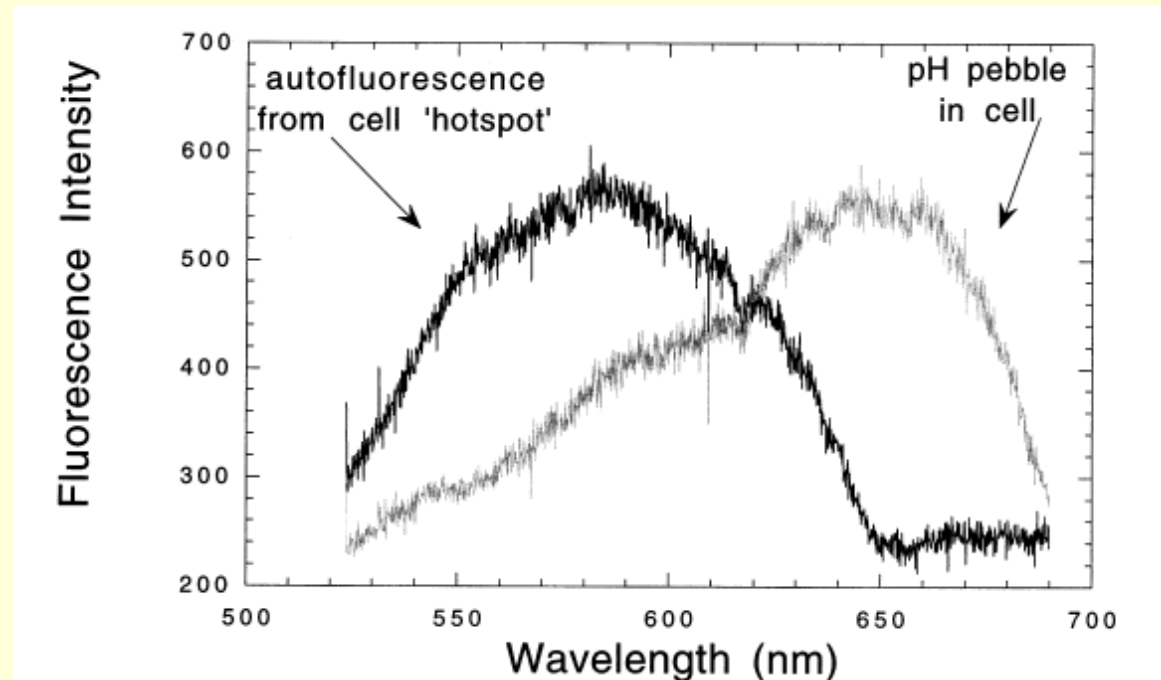
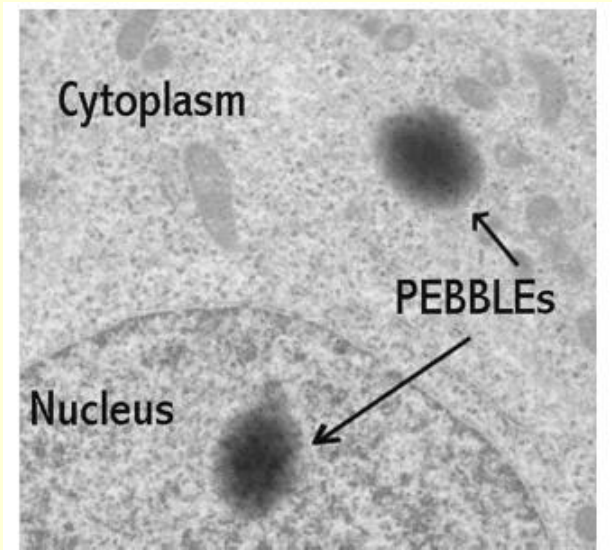


A) Genové dělo, B) Injektování, C) Liposomální přenos, D) Fagocytosa

S.M. Buck et al., Talanta 63 (2004) 41

# Měření s PEBBLEs

1. Konfokální mikroskop
2. Invertovaný fluorescenční mikroskop



H.A. Clark et al., Sensors and Actuators B 51 (1998) 12 – pH, Ca, Mg, K, kyslík

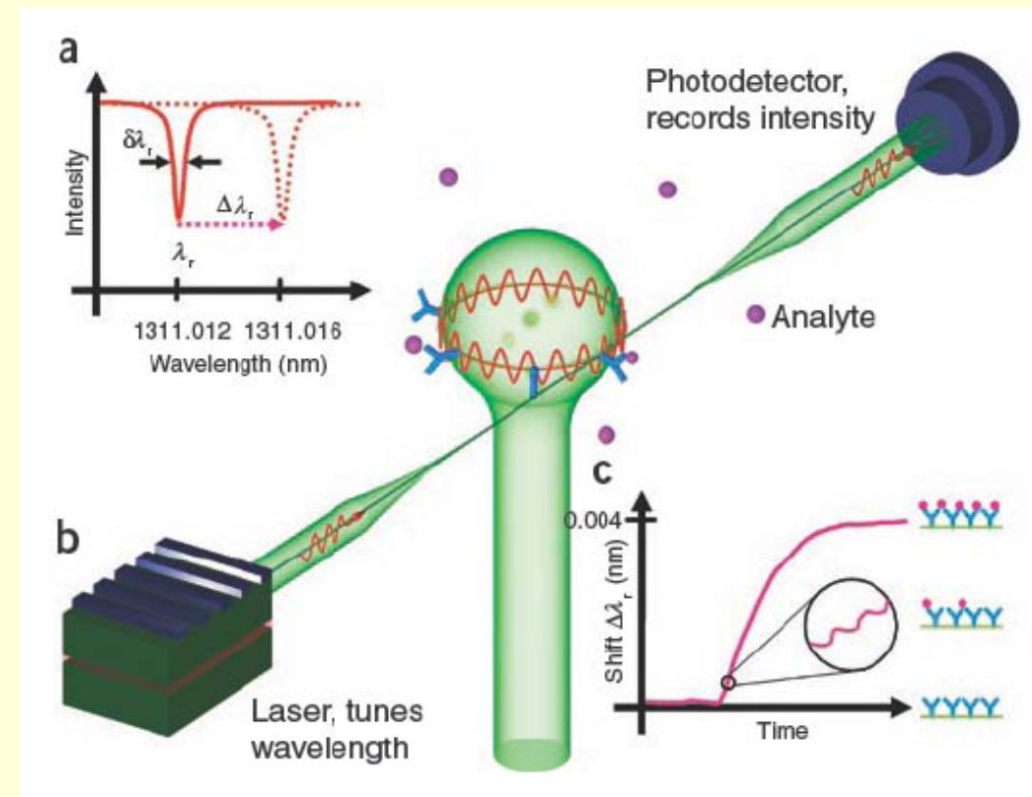
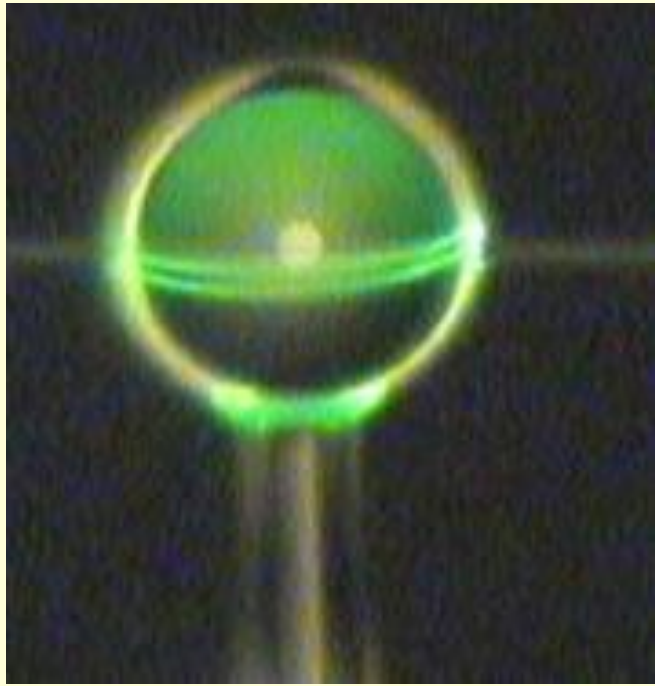
# Nové směry ve vývoji senzorů

- **WGM mikroresonátory**
- **Zobrazovací (imaging) senzory**
- **Fotonické krystaly**
- **Další možnosti**



# WGM MIKROREZONÁTORY

WGM= „Whispering Gallery Mode“ (módy šeptající galerie)

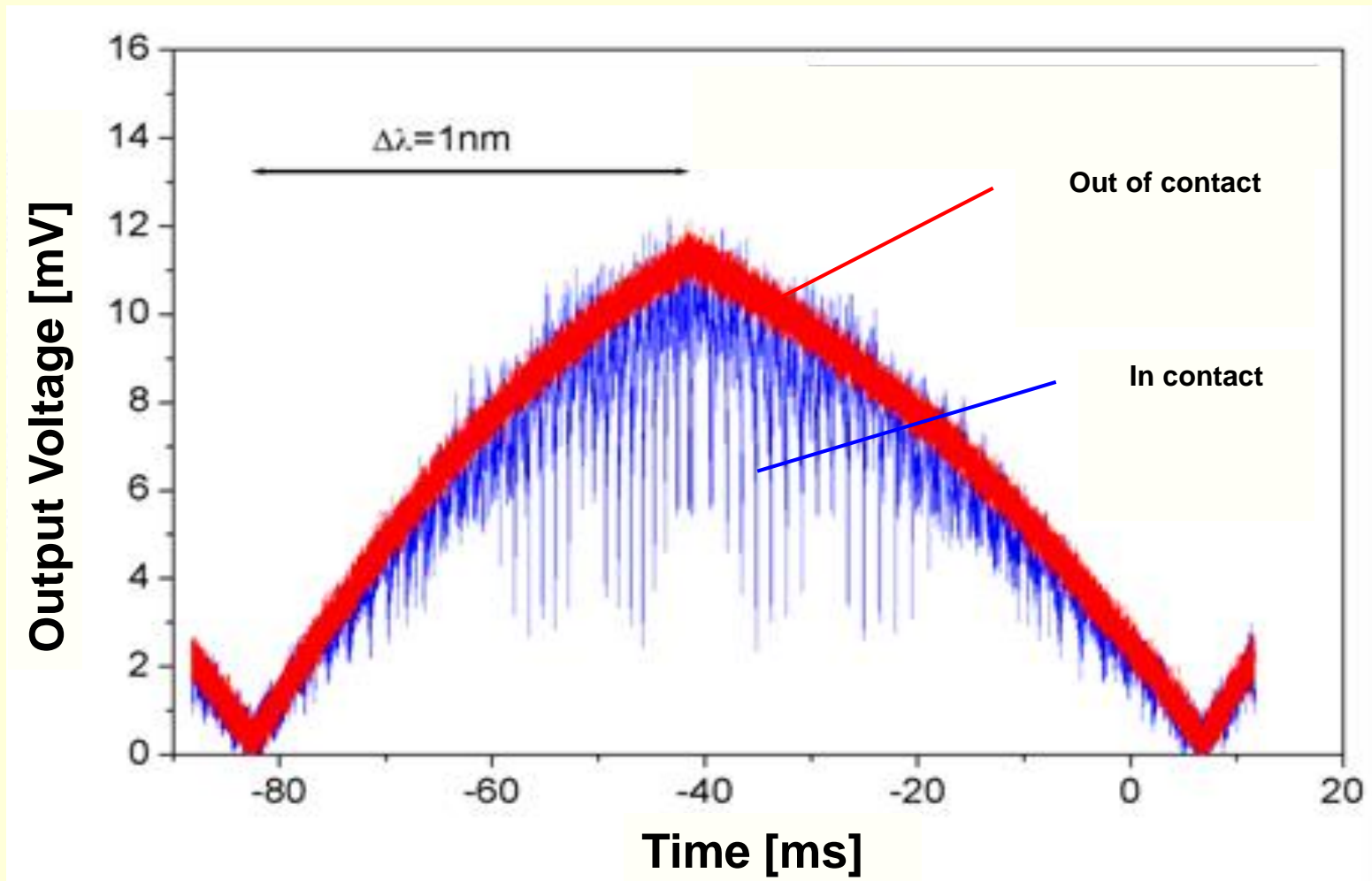


Světlo navázané do mikrokuličky obíhá kolem rozhraní kulička/okolí ve formě WGMs.

Změny polohy WGM rezonancí s koncentrací analytů a časem



# WGM – Rezonanční spektra



Velmi úzké rezonanční pásy – pološířky pm

# WGM – Rezonanční spektra

Šířka rezonančních pásů je charakterizována faktorem kvality       $Q \sim \lambda / \Delta \lambda$

**U mikrokuliček Q udává, kolikrát paprsek oběhne kolem rozhraní než je jeho energie pohlcena .**

$$Q \sim 10^3 - 10^9$$

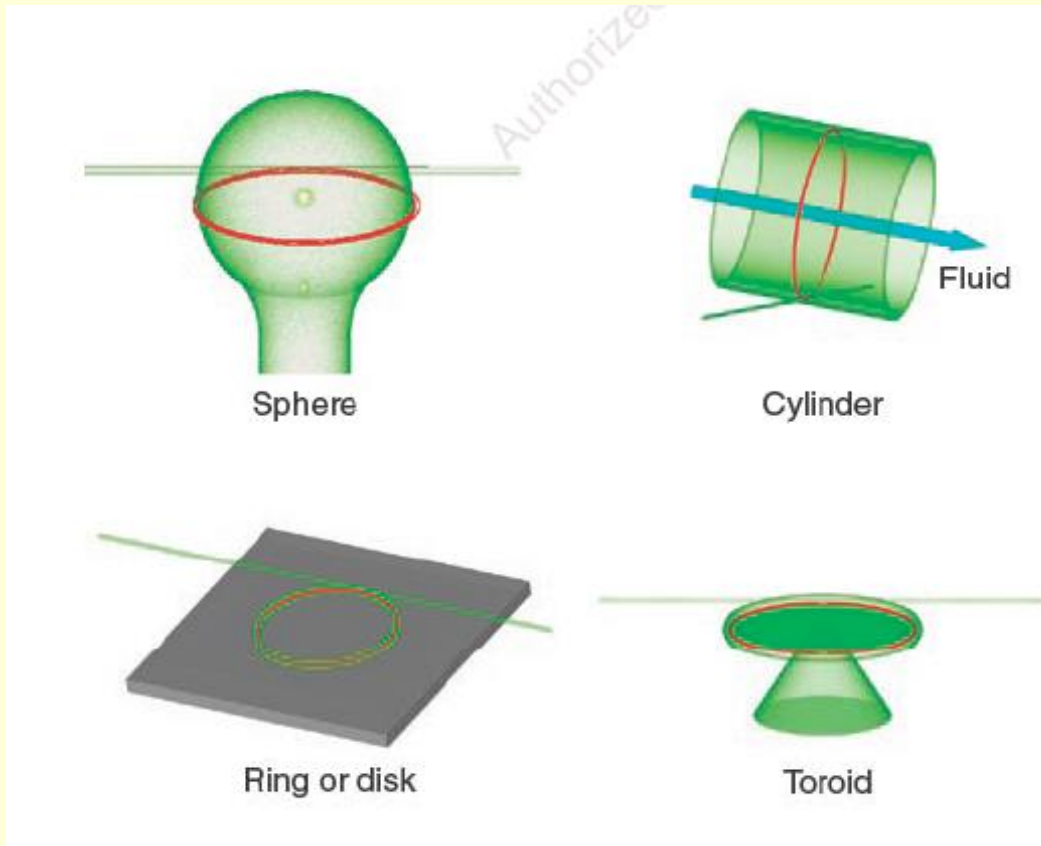
**Kulička průměr 200  $\mu\text{m}$ :  $L \sim 0.6 \text{ m} - 6 \cdot 10^5 \text{ m}$**

Poloha rezonančních pásů se mění se změnami indexu lomu okolí – detekce indexu lomu s přesností  $10^{-8}$  RIU.

WGMs pronikají jen málo do okolí (50-100 nm)

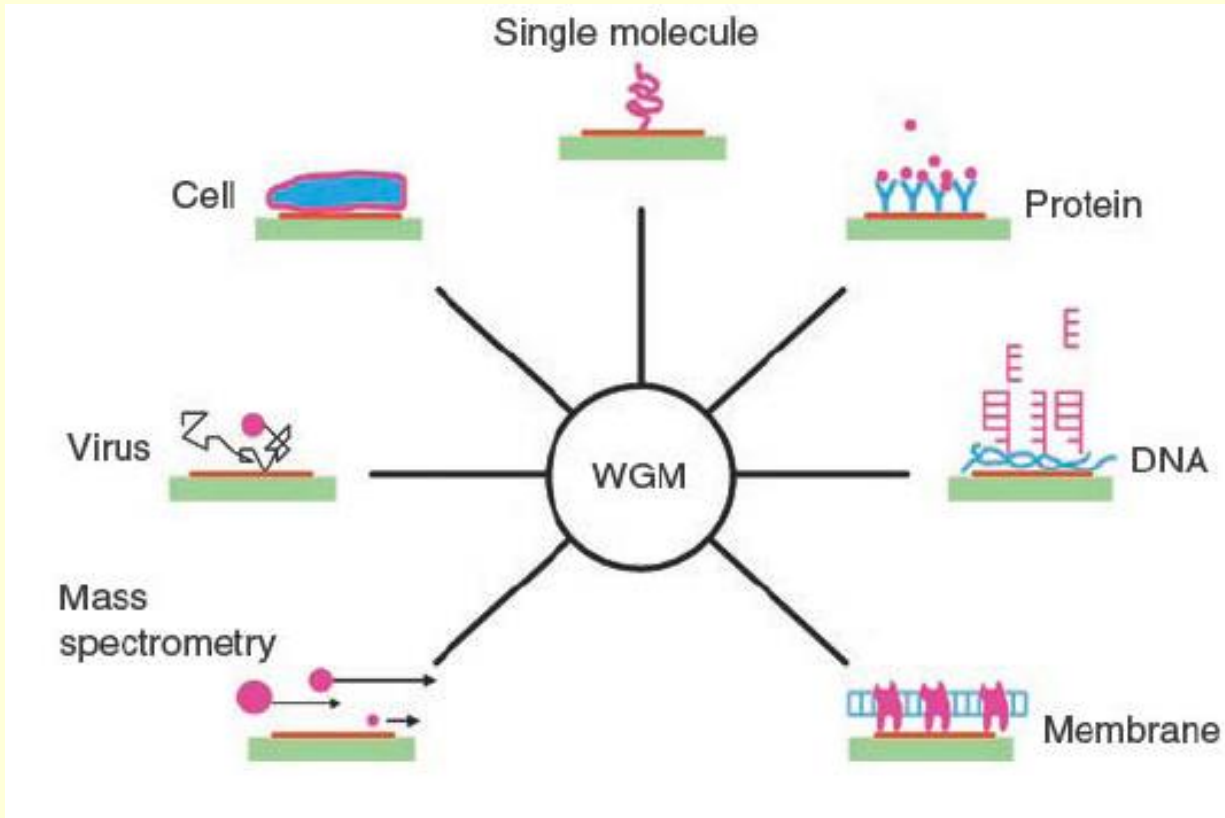


# Typy WGM mikrorezonátorů



Nejvyšší  $Q \sim 10^6$  bylo dosaženo s mikrokuličkami  
(průměry 10-500  $\mu\text{m}$ )

# WGM Senzory – možnosti



F. Vollmer, S. Arnold, Nature Methods 5, 591-596 (2009)

# WGM Imunosenzory

Nutné upravit povrch pro zachycení proteinů  
silanizací nebo použitím polymerů

**3-Aminopropyltriethoxysilane**

F. Vollmer et al., Appl. Phys. Lett. **80** (2002) 4057 – detekce proteinů

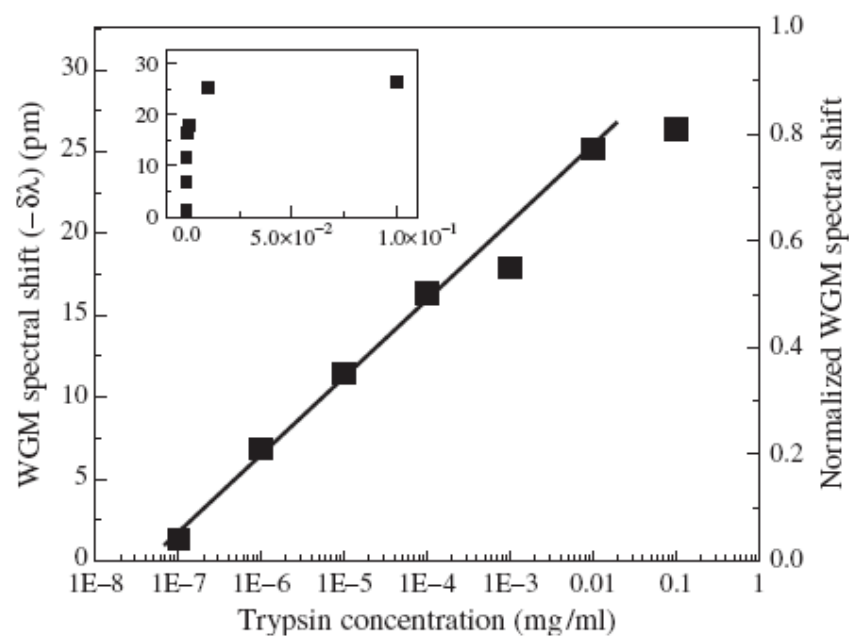
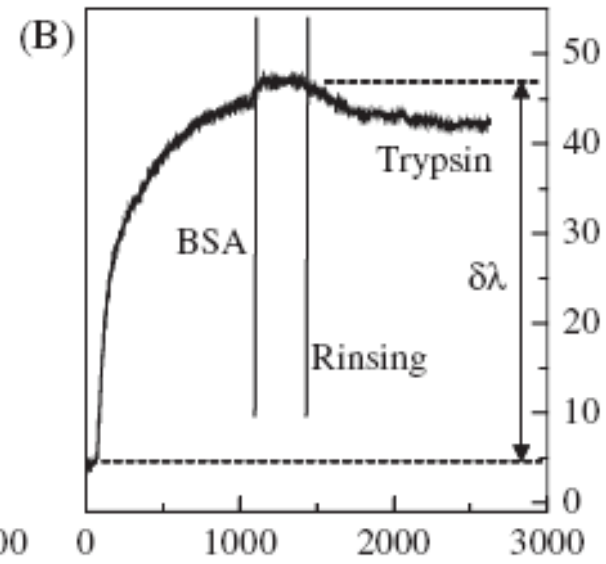
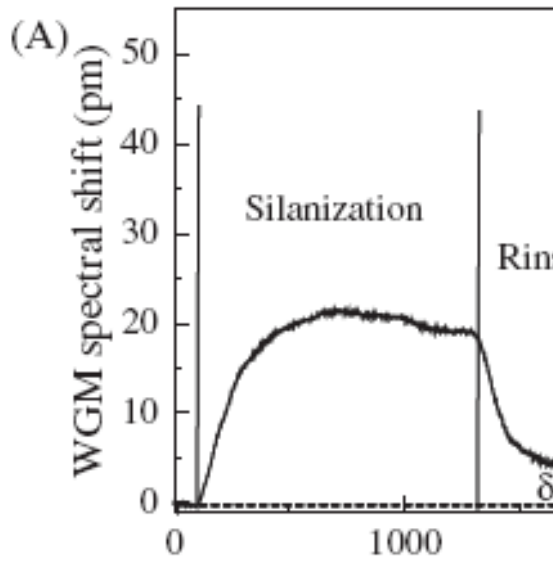
**3-Mercaptopropyltrimethoxysilane**

N. Hanumegowda et al., Sensor Lett. **3** (2005) 315 – sensor proteázy

**Polymerní vrstva - Eudragit® L100 (Degussa, n = 1.39)**  
anionický kopolymer kys. metacrylové a methylmetakrylátu

**S. Soria et al., Opt. Express 17, 14694-14699 (2009)**

# WGM Imunosenzor



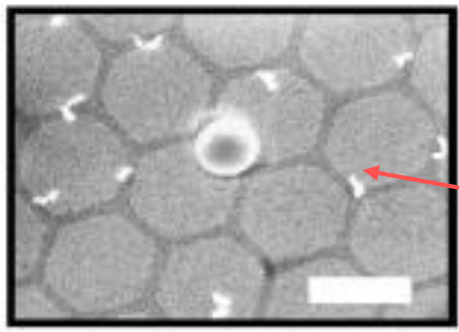
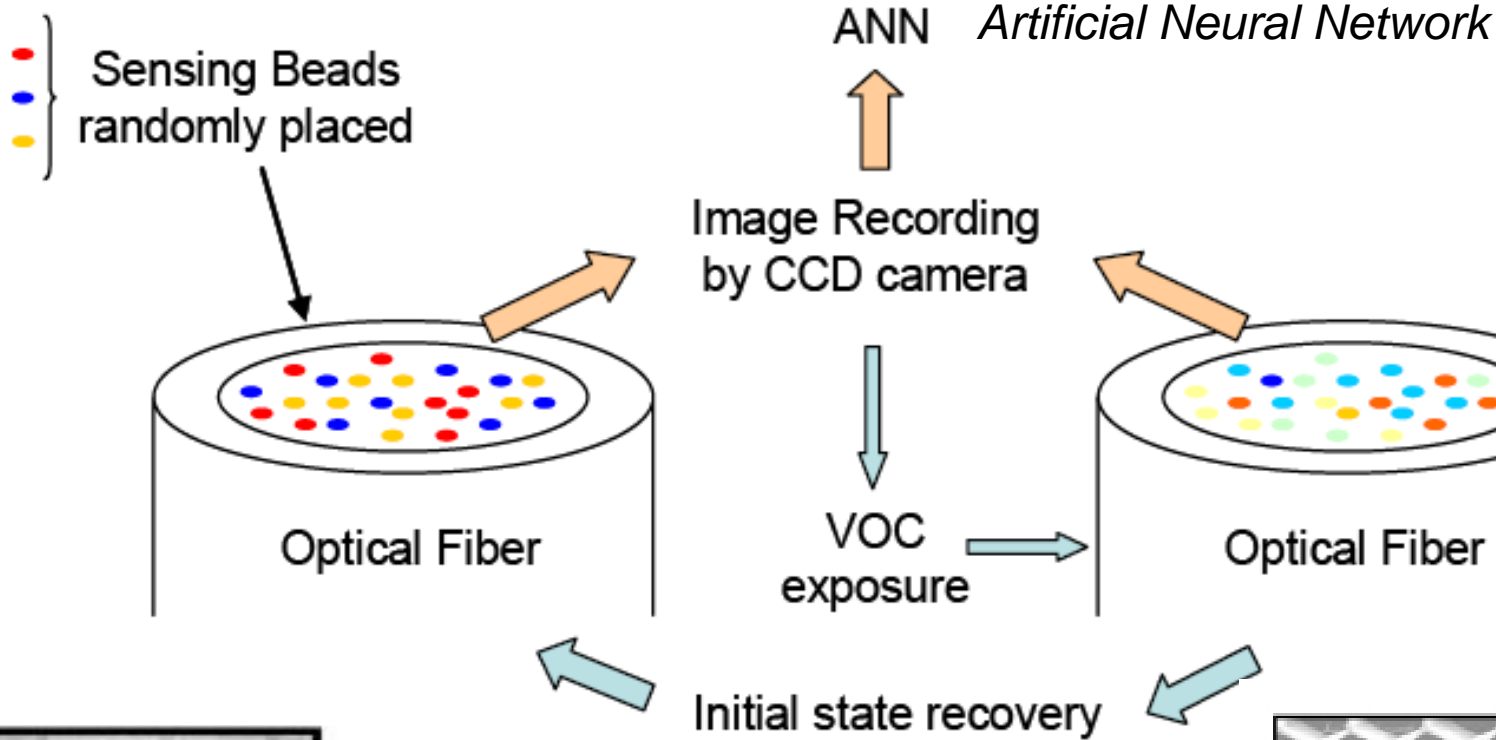
N. Hanumegowda et al.,  
Sensor Lett. 3 (2005) 315

# RI detekce – „Label Free“ Imunosenzory

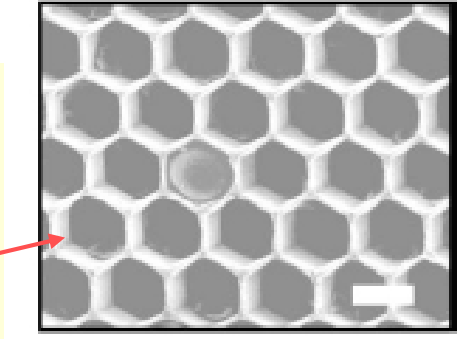
Typ senzoru	LD
Mikrokulička	$10^{-7}$ RIU - roztok $1 \text{ pg/mm}^2$ - DNA
LPG ve vlákně	$10^{-4}$ RIU – roztok $4 \text{ pg/mm}^2$ - DNA
SPR	$10^{-5} - 10^{-8}$ RIU – roztok $10 \text{ pg/mm}^2$
Interferometr (Mach Zehnder)	$10^{-7}$ RIU - roztok $20 \text{ pg/mm}^2$ - protein

X. Fan et al., Analytica Chimica Acta 620 (2008) 8-26

# Zobrazovací (Imaging) senzory

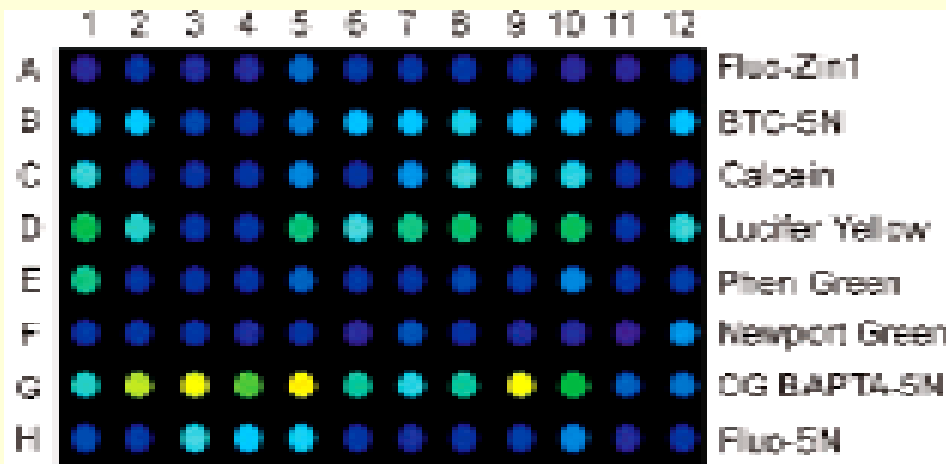
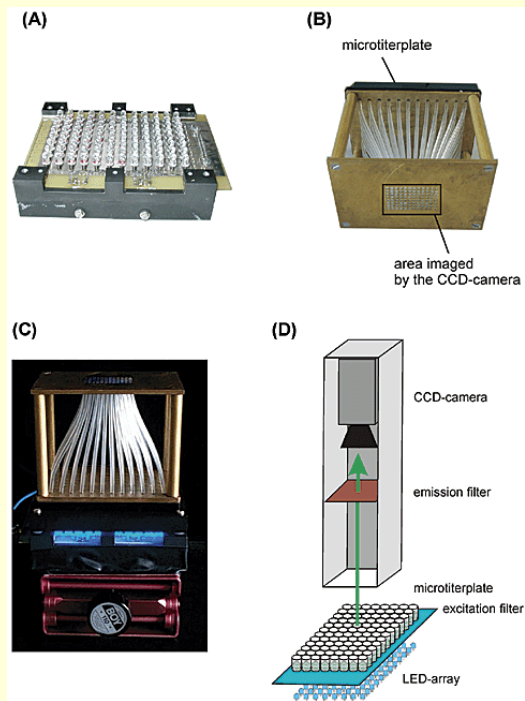


Fluorescenční částice  
konec vlákna  
do vyleptaného jádra



K.L. Danowski et al., Microchemical Journal 70(2001), 51-61

# Senzorová pole



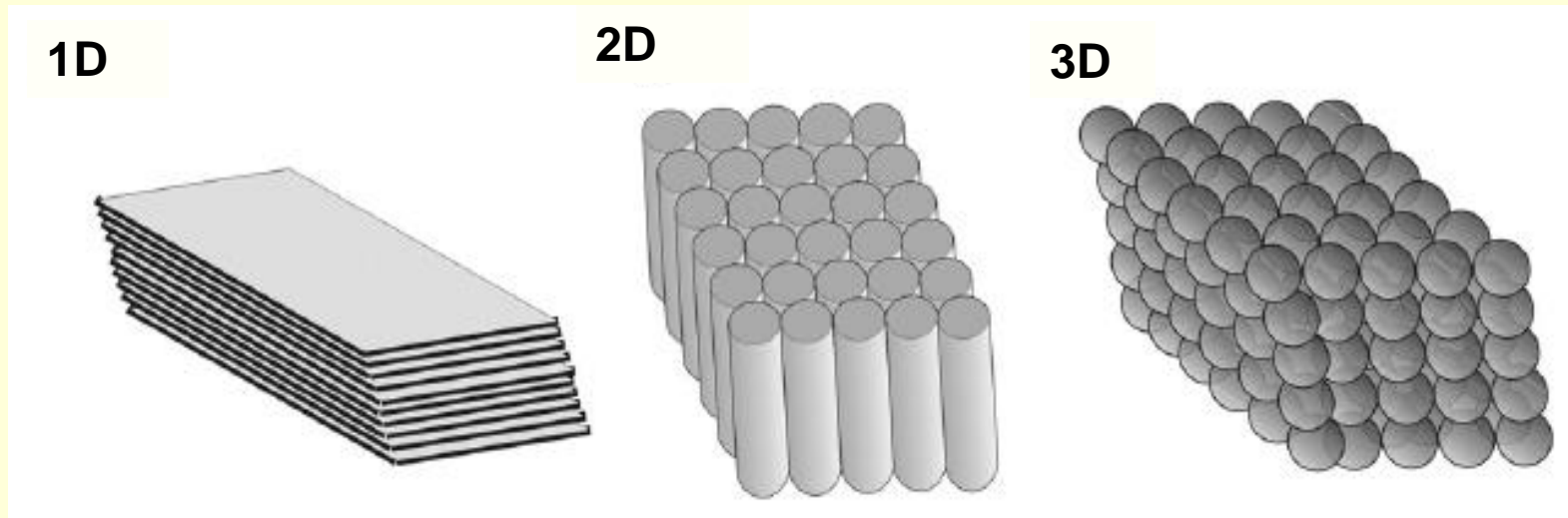
**Fluo-Zin1- Zn; BTC-5N - Ca/Zn;  
Calcein- Ca; Lucifer Yellow – Cu**

**Phen Green-Cu; Newport Green-Ni;  
OG BAPT4-5N (OG 5N)-Ca; Fluo-5N-Ca**

Column No.	Ca <sup>2+</sup> [μM]	Cu <sup>2+</sup> [μM]	Ni <sup>2+</sup> [μM]	Zn <sup>2+</sup> [μM]	Co <sup>2+</sup> [μM]
1	0	0	0	0	0
2	1	1	1	1	1
3	10	10	10	10	10
4	100	100	100	100	100
5	1	0	0	0	0
6	0	1	0	0	0
7	0	0	1	0	0
8	0	0	0	1	0
9	0	0	0	0	1
10	10	0	0	0	0
11	0	10	0	0	0
12	0	0	10	0	0

**Využito pro určení selektivity ve vícesložkových analytech  
T. Mayr et al., Anal. Chem. 75 (2003) 4389**

# Fotonické krystaly (PC)



PC=strukturny u nichž se dielektrická konstanta (index lomu) periodicky mění v jednom (1D) až třech (3D) směrech.

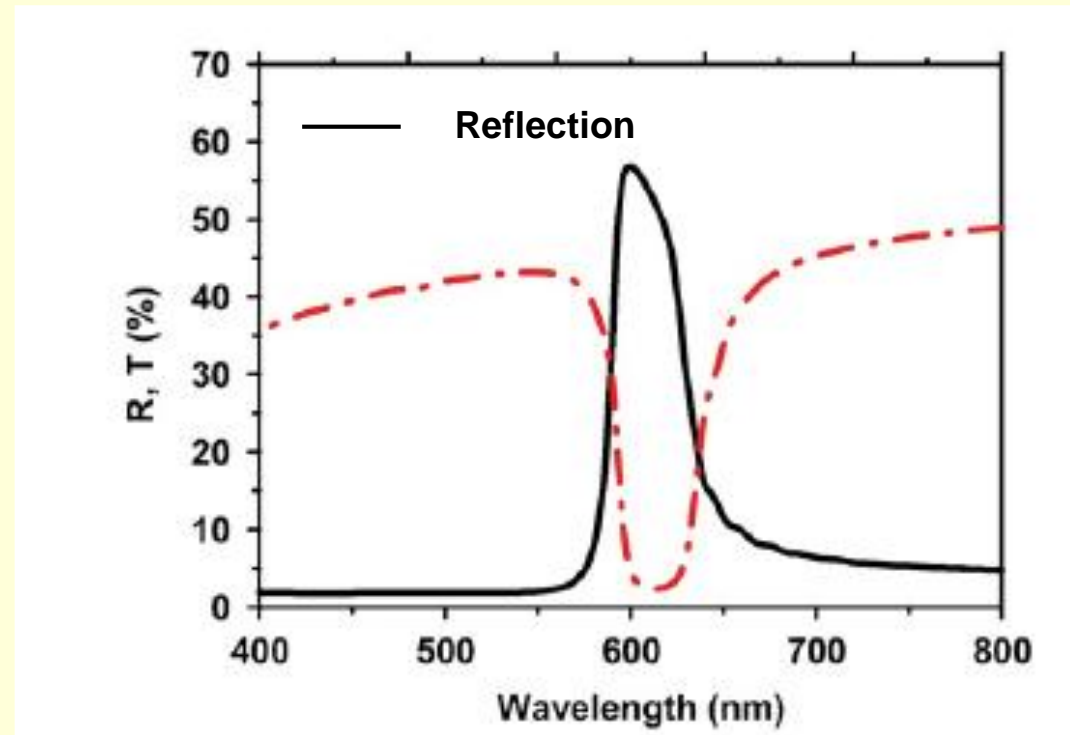
Světlo dopadající na strukturu se odráží od každé hranice a odražené vlny při vhodných podmínkách spolu interferují a nejsou vedeny strukturou

$$m\lambda = 2n_{eff}d$$

Fotonický zakázaný pás



# Fotonické krystaly 3D



**Polystyrenové kulíčky 280 nm samoorganizující se v koloidní suspenzi**

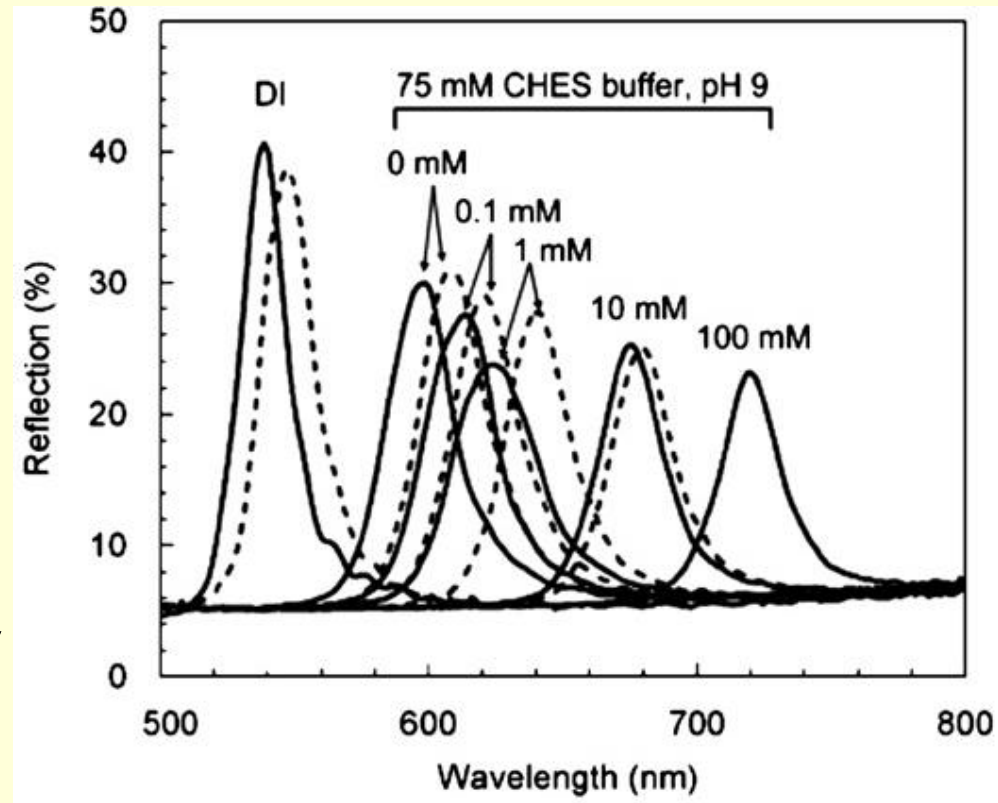
**Poloha transmisního dipu závisí na indexu lomu v porech**

**R.V. Nair, R. Vijaya, Progress in Quantum Electronics 34 (2010) 89–134**



# Fotonické krystaly - senzory

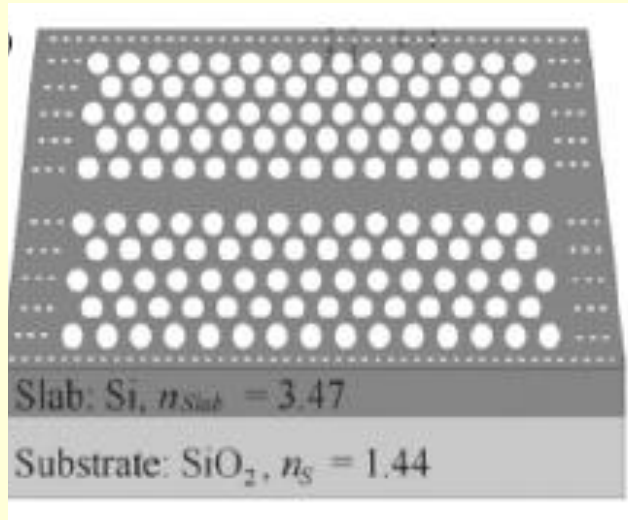
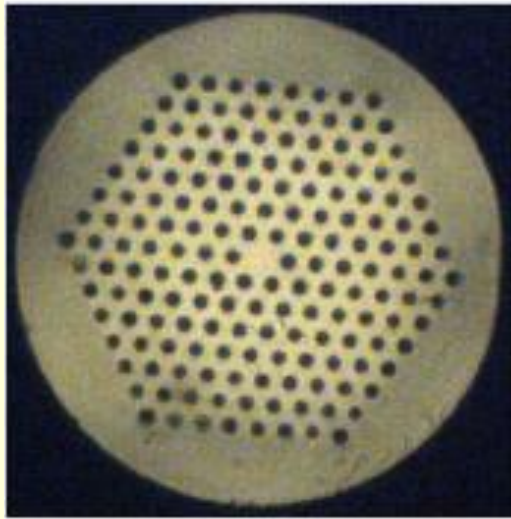
Detekce glukosy na 3D kryštalech připravených kopolimerizací 3-acrylamidophenylboronic acid (APBA) a 2-hydroxyethylmethacrylate (HEMA) v porech mezi polystyrenovými kuličkami. Měření reflexe v důsledku změn vzdálenosti v mřížce



Posun reflexního pásu od modré do červené

R.V. Nair, R. Vijaya : Progress in Quantum Electronics 34 (2010) 89–134

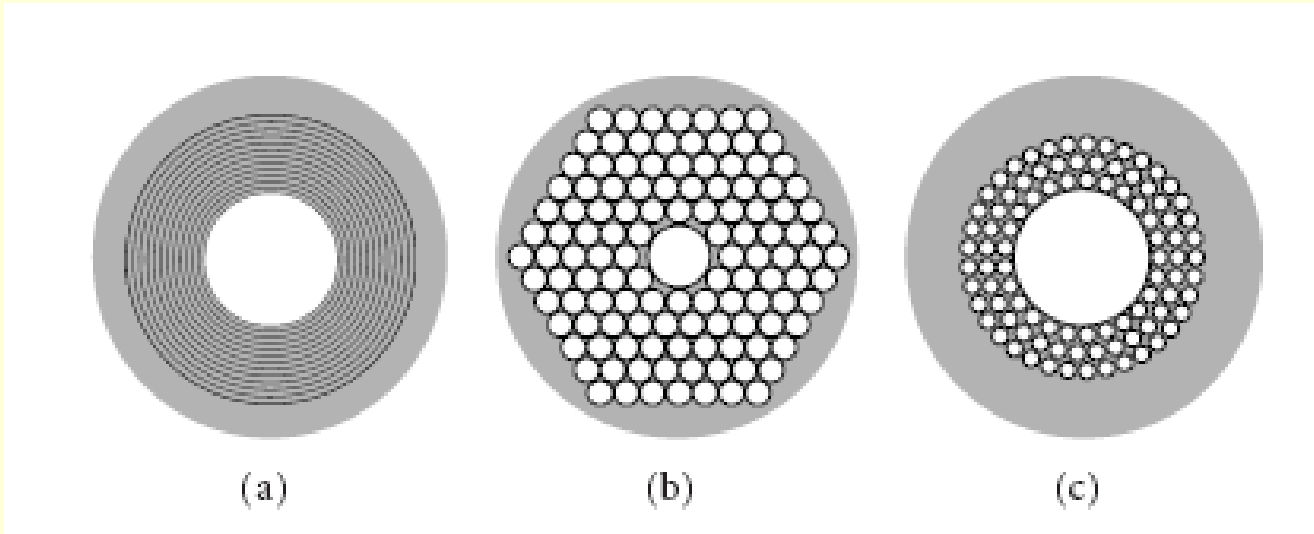
# Fotonické vlnovody se vzduchovými děrami v plášti



Vedou světlo v důsledku úplného odrazu světla na plášti s nižším indexem lomu (mikrostrukturní vlákna) + Braggovského odrazu na periodické struktuře. Pro druhý způsob se do jádra zavádí *porucha ve struktuře*. Ta způsobí narušení zakázaného pásu



# Fotonická vlákna s poruchou



**Centrální porucha struktury vytvoří transmisi v oblasti fotonického zakázaného pásu, která je citlivá na změnu optických vlastností v poruše (kavita, vzduchová díra). Toho se využije v senzorech**



# Nové směry - Materiály

## 1) Nanomateriály

Kvantové tečky (**InP@ZnSe**)

Zlaté nanočástice

Uhlík 70, uhlíkové nanotrubice, grafeny

**W. Yang et al.; *Angew. Chem.* 49(12) (2010), 2115-2133.**



# Nové směry - Materiály

## 1) „Ekologické „Green“ materiály

Vodorozpustné barevné spreje pro současnou detekci teploty a tlaku na letadlech nebo automobilech

L. H. Fischer, ...., O. S. Wolfbeis, *Analyst* 135 (2010), 1224-1229  
DOI: 10.1039/B927255K

## 2) Biomateriály

Polymerní membrány např. bource morušového mající vysokou biokompatibilitu

## 3) Kombinatorické metody pro hledání senzorových materiálů

*Combinatorial Methods for Chemical and Biological Sensors.* R. A. Potyrailo, V. M. Mirsky (eds.), Springer, 2009

# Nové směry - Optoelektronika

## 1) Integrované senzory

Všechny komponenty senzoru integrované v jedné jednotce. Často využívají elektricky vodivé polymery jako je polypyrrole, polythiophenes

[R. Shinar and J. Shinar; DOI: 10.1117/2.1200602.0121](#)

## 2) Optická vlákna

Komerčně dostupný systém pro detekci kyslíku využívající luminiscenční doby života

Vláknově-optické multiplexy (pole)

[F. J. Steemers et al.; Nature Biotechnology \(2000\) 18: 91 – 94  
DOI:10.1038/72006](#)

Možné rozšíření na imunosensory.

[T.M. Blicharz et al., Anal Chem. \(2009\) 81: 2106–2114.DOI:  
10.1021/ac802181j.](#)



# Nové směry-spektroskopie

## 1) Chemická fotografie

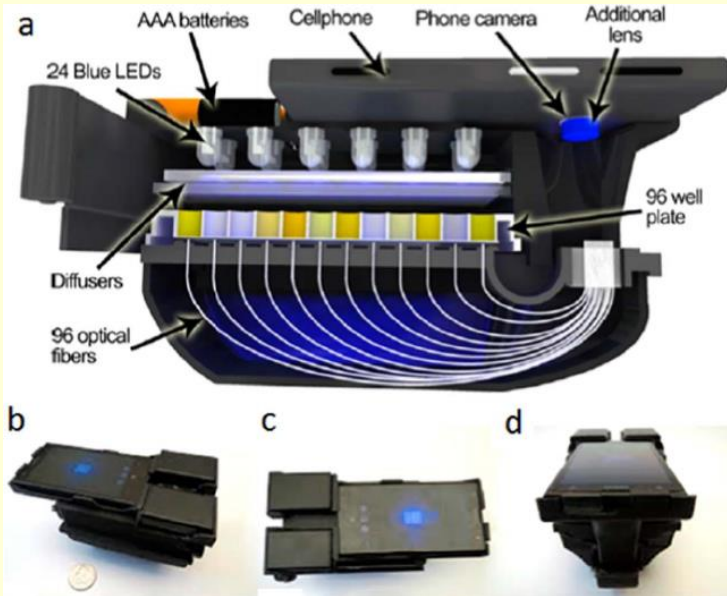
Digitální kamery mají 3 kanály : červený, zelený, modrý (RGB) – 3 spektrometry

## 2) Vícenásobná detekce – multiplexy, pole

M. I. J. Stich et al.; *Chem. Soc. Rev.* 39, 3102 (2010)

## 3) Senzory využívající mobilní telefony

D. Quesada-Gonzales et al., *Biosens. Biolectr.* 92, 549 (2017)



# Nové směry - aplikace

- 1) Senzor glukosy pro umělou slinivku**
- 2) Detekce v buňkách**
- 3) Optický nos a jazyk,**
- 4) Kombinatorické techniky hledání nových senzorových materiálů**
- 4) Nové metody zpracování signálů;  
„Artificial Neural Networks; Principal Component Analysis“**
- 5) Miniaturizace & Mikrofluidika**



# Příklady optických senzorů pro farmacii

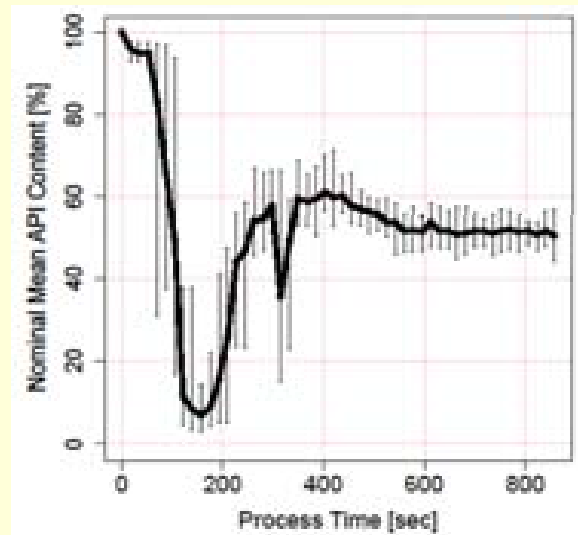
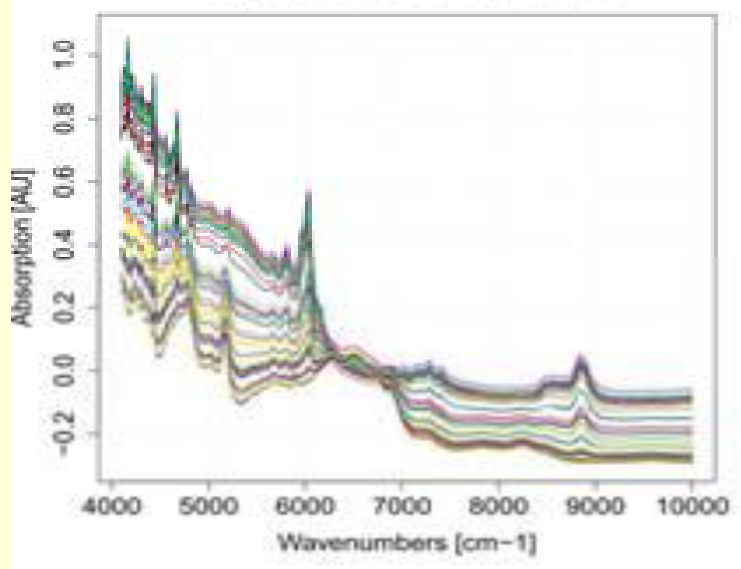


- Sledování tvrzení laminátů (optické vlákno – změna RI)
- Detekce rozpouštědel ve vodě – chlorované uhlovodíky (FTIR, AgIBr vlákna. Střední IČ oblast)
- Homogenita prášků (spektrální posun při suchém míšení)
- Analýza proteinů a enzymů (FTIR, AgIBr vlákna)
- Kontrola kvality přípravy tablet (měření NIR na tabletách)
- Osobní dosimetr benzenu (optické vlákno s detekční membránou)
- Sledování mikrobiologických fermentorů (kyslík, CO<sub>2</sub>)

E.D.S. Kerslake et al., Adv. Drug Delivery Rev. 21 (1996) 205-213

D. Meadows, Adv. Drug Delivery Rev. 21 (1996) 179-189

# Suché míšení



**Acetylsalicylova kyselina + monohydrat lakozy**  
**Reflexní spektra v rozmezí 1-2,5  $\mu\text{m}$**

C. Voura et. al., AIChE 2009 Annual Meeting, Nov. 9-13, Nashville , TN

# Příklady detekčních prvků pro farmacii

Analyt	Metoda	Uspořádání/odkaz
Propranol (vysoký tlak)	Fluorescence adsorbovaného analytu (Amberlite XAD-7), excitace 300 nm, emise 338 nm	Spektrometr, průtočná kyveta/[1]
Aspirin	pH fluorescenční indikátor s lipofylním nosičem salicilátů v PVC folii, excitace 550 nm, emise 640 nm	Spektrometr, folie/[2]
Digoxin, Oxytocin aj.	Immunosensory	Afinitní biosensory, fluorescenční biosenzory/[3]

[1] J.F. Fernandez-Sanchez, J. Pharm. Biomed. Analysis, 31 (2003) 859-865

[2] H. He et al., Fresenius J. Anal. Chem. 343 (1992) 313-318

[3] I.A. Darwish, J. Biomed. Sci. 2 (2006) 217-235

# Příklady komerčních senzorů

Senzor	Výrobce	www
<b>chemický</b>		
pH	GeoCenters	
pH, O <sub>2</sub>	Presens	presens.de
CO <sub>2</sub>	Yellow Springs	ysi.com
pH, O <sub>2</sub>	OceanOptics	oceanoptics.com
O <sub>2</sub>	SMSI	s4ms.com
O <sub>2</sub>	Photosense	photosense.com
<b>medicinální</b>		
pH, CO <sub>2</sub> , O <sub>2</sub>	CDI (3M)	terumo.com
Žluč	Cecchi	medtronic.com
O <sub>2</sub>	Abbott	abbott.com
O <sub>2</sub>	Optex Biomedical, Inc.	Alacrastore.com

**ČR: SAFIBRA s.r.o – Říčany u Prahy, SQS a.s. – Nová Paka.**



# Optické senzory - souhrn

- Nabízejí možnosti detekce řady molekul s využitím optických vlastností v senzorech přímých a nepřímých
- Umožňují miniaturizovanou detekci a detekci v nepřístupných místech
- Lze u nich řídit citlivost a selektivitu detekce v širokém rozsahu
- Nepotřebují elektrické vlastnosti molekul



